

INSTITUTUL POLITEHNIC "TRAIAN VUIA"
TIMISOARA
FACULTATEA DE MECANICA

EMILIAN MAZILU

TEZA DE DOCTORAT

ANALIZA FIABILISTA A REZISTENȚEI TEHNICE
DE DURATA A OTELURILOR TERMOREZISTENTE

CONDUCATOR STIINTIFIC

BIBLIOTECA CENTRALĂ
UNIVERSITATEA "POLITEHNICA"
TIMIȘOARA

- 1970 -

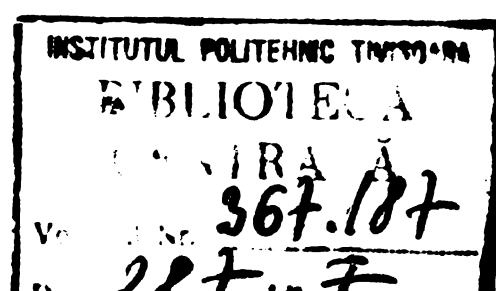


TABLA DE MATERII

	Pag.
NOTATII	1
INTRODUCERE	3
CAPITOLUL I. CONSIDERATII PRIVIND FLUAJUL METALELOR SI COMPORTAREA PRODUSELOR DIN OTEL SOLICITATE MECANIC LA TEMPERATURI RIDICATE . . .	10
1.1. Factori de solicitare	11
1.1.1. Tensiunea	13
1.1.2. Temperatura	14
1.1.3. Timpul	15
1.2. Factori de material	17
1.2.1. Gradul de aliere	17
1.2.2. Tehnologia de elaborare	19
1.2.3. Mărimea granulației	19
1.2.4. Deformarea plastică	20
1.2.5. Tratamentul termic	21
1.3. Teorii referitoare la mecanismele ruperii prin fluaj a metalelor	21
1.3.1. Mecanismul de germinare și propagare a microfisurilor . . .	22
1.3.2. Teoria fluajului intra și intergranular	24
1.3.3. Fluajul și teoria dislocuțiilor	25
1.4. Modificări structurale în condiții de fluaj	27
1.5. Caracteristicile de fluaj ale oțelurilor	30
1.5.1. Metode de extrapolare a datelor experimentale de fluaj .	31
1.5.2. Tunjul la stări complexe de tensiuni	33
CAPITOLUL II. ELEMENTE DE TEORIA FIABILITATII CU APPLICATII IN PROIECTAREA STRUCTURILOR MECANICE	35
2.1. Probleme ale proiectării structurilor rociunice	35

2.2. Elemente de teoria fiabilității	38
2.2.1. Conceptul de fiabilitate	38
2.2.2. Indicatori de fiabilitate	40
2.2.3. Previziunea fiabilității în baza legilor de repartiție	43
2.3. Criteriile fundamentale ale proiectării elementelor și structurilor în baza teoriei fiabilității	46
2.3.1. Conceptul de variație	46
2.3.2. Criterii de dimensionare	46
2.4. Proiectarea structurilor mecanice în baza conceptului de fiabilitate	47
2.4.1. Calculul fiabilității preliminare	48
2.4.2. Elaborarea programului de testare	49
2.4.3. Schema logică de funcționare a structurii	50

CAPITOLUL III. PROPUNEREA UNUI NOU CRITERIU DE EVALUARE

A REZISTENȚEI LA RUPERE PRIN FLUAJ BAZAT PE CONCEPTUL DE FIABILITATE	51
3.1. Considerații privind interpretarea datelor experimentale de fluaj prin metodele parametrice de extrapolare existente	51
3.2. Caracterul aleator al ruperii prin fluaj la produsele din oteluri pentru temperaturi ridicate	56
3.3. Propunerea unui nou criteriu de evaluare a rezistenței la rupere prin fluaj	58
3.4. Valoarea indicatorului de fiabilitate al elementelor sau structurilor mecanice	65
3.5. Logica de repartiție a mărimilor caracteristice de material	66
3.5.1. Metoda grafică	70

	Pag.
3.5.2. Metoda analitică	72
3.6. Metoda propusă de autor pentru calculul parametrilor repartiției Weibull: . .	74
3.6.1. Parametrii repartiției Weibull .	74
3.6.2. Schema logică a programului de calcul	77
CAPITOLUL IV. ESTIMAREA FIABILITATII PRODUSELOR DIN DOUA OTELURI TERMOREZISTENTE ROMANEȘTI . . .	80
4.1. Materialul cercetat	80
4.2. Metodica de cercetare	82
4.3. Rezultatele obținute	84
4.3.1. Prelucrarea datelor experimentale prin metoda clasică . ..	84
4.3.2. Prelucrarea datelor experimentale prin metoda propusă . ..	86
4.4. Analiza rezultatelor	89
4.5. Fiabilitatea produselor siderurgice. Diagramme caracteristice de fiabilitate ale mărcilor de oțel OLT45K și 14CrMo4.	93
CAPITOLUL V. UTILIZAREA INDICATORILOR DE FIABILITATE AI PRODUSELOR SIDERURGICE LA ALLEGAREA MARCII DE OTEL SI VERIFICAREA COMPORTARII DE DURATA A INSTALATIILOR SOLICITATE LA FLUAJ . . .	98
5.1. Proiectarea instalațiilor care lucrază la temperaturi ridicate	98
5.2. Verificarea capacitatei de rezistență a instalațiilor sub presiune care și-au epuizat durata de viață calulatorii	102
5.2.1. Interpretarea rezultatelor experimentale prin metoda clasică	103
5.2.2. Evaluarea indicatorului de fiabilitate a elementelor instalațiilor care și-au epuizat durata de utilizare precizat prin calculul de proiectare	106
CONCLUZII	110

Pag.

PRINCIPALELE CONTRIBUTII ALE LUCRARII	116
BIBLIOGRAFIE	118
ANEXA I	- Rela ^y ii de calcul pentru indicatorii de fiabilitate și parametrii statistici ai reparti ^y iilor utilizate în teoria fiabilității
ANEXA II	- Otelurile folosite pentru experimentări
ANEXA III	- Rezultatele ob ^y inute pentru cele două mîrci de oțel analizate
ANEXA IV	- Rezultatele ob ^y inute la verificarea comportării în exploatare a instala ^y iilor solicitate la fluaj

Notatii

A _f	-	factor de frecvență a fenomenelor de difuzie, alunecare și deplasare elementară
B	-	mărime dependentă de material și de condițiile de încercare la fluaj
b	-	vectorul lui Burgers
c	Å	distanța între două particole de carburi
E	J/mm	energie superficială
e	Å	distanță interatomică
F(x)	%	funcția de repartiție a unei variabile aleatorii X
F(t)	%	probabilitatea de apariție a rupelei prin fluaj, după o durată t precizată (funcția de defiabilitate)
f(x)	%	funcția de densitate a repartiției variabilei aleatorii X
G	N/mm	modul de elasticitate transversal
ΔH _i	ergi.	energia de activare pentru un proces de ordinul i

n	-	numărul de date pentru fiecare condiție de încercare la fluaj
P	°K	parametrul Manson - Haferd
R(t)	%	probabilitatea de funcționare fără defectare pentru o durată t precizată (funcția de fiabilitate)
T	°K	temperatura de încercare la fluaj
t	h	timpul de rupere prin fluaj
Z(t)	h ⁻¹	funcția de intensitate de defectare
Y	-	factor de sarcină
α	h	parametrul de scară al repartiției Weibull
β	-	parametrul de formă al repartiției Weibull
γ	h	parametrul de origine al repartiției Weibull
η	h	parametrul de scară reală al repartiției Weibull
ε	-	deformația specifică la fluaj
ɛ	%h ⁻¹	viteza de fluaj
σ	N/mm ²	tensiunea nominală
σ _a	N/mm ²	rezistența admisibilă a unui material
σ _{r/t}	N/mm ²	rezistența tehnică de durată la fluaj
σ _{ɛ/t}	N/mm ²	limita tehnică de fluaj
τ	h	timpul de funcționare fără defectare
ζ	N/mm ²	tensiune tangentială

INTRODUCERE

Revoluția tehnico-științifică contemporană se caracterizează prin creșterea gradului de complexitate și automatizare a sistemelor tehnice în general și în particular a celor mecanice, precum și a importanței funcțiilor pe care acestea le realizează. Defecțiunea unei componente determină de cele mai multe ori scoaterea din funcțiune a întregului sistem sau reducerea capacitatii de funcționare a acestuia, ceea ce în final conduce la pierderi materiale și de timp. Astfel, de exemplu [81], în cazul unei coloane de sinteză a amoniacului, s-a calculat că o defectare care produce oprirea instalației, conduce la pierderi de producție în valoare de 500 - 1200 ruble la o productivitate de 2,8 t/h și de 1300-2000 ruble la productivitate de 8 t/h.

In multe cazuri, elementele structurilor mecanice sunt supuse, durate mari de timp, la acțiunea simultană a tensiunilor și temperaturii ridicate, solicitări întâlnite de regulă la agregatele de forță din industria termo și nucleuro-energetică, la recipientii și vasele de reacție din industria chimică și petro-chimică, la motoarele clasice și cu reacție etc. Aceste condiții de solicitare sunt specifice apărării și dezvoltării fenomenului de fluaj în elementele de oțel din care sunt realizate instalațiile și agregatele respective (țevi, table și bare din oțeluri rezistente la temperaturi ridicate).

Odată cu progresele înregistrate în ceea ce privește concepția constructivă și soluțiile tehnologice de execuție a instalațiilor și agregatelor destinate practic tuturor domeniilor de activitate, cunoașterea comportării materialelor la solicitările de durată de natură mecanică, termică sau chimică are o importanță decisivă pentru utilizarea intensivă și în condiții de siguranță a acestora. Se poate arăta că, de exemplu, în industria energetică, evoluția pe plan mondial a

centralelor termoelectrice cu combustibili convenționali este caracterizată prin creșterea continuă a puterii unitare a blocului cazan-turbină, bazată pe promovarea unor materiale care să permită ridicarea progresivă a presiunii și temperaturii de lucru a fluidelor energetice. Astfel, în ultimii douăzeci de ani, puterea unită instalață a blocurilor energetice a crescut de la 60 MW la 660 MW [7, 8]. În prezent în Republica Socialistă România, centralele termoelectrice de condensație au atins puteri instalate de 800 MW și sunt în curs de realizare centrale cu putere instalată de 1720 MW și respectiv 2640 MW [8, 41]. Acestea sunt echipate cu grupuri de 330 MW și cazane cu debit unitar de 1035 t abur/h, la presiunea de 195 ata și temperatura de 813°K de (540°C). Asocierea marilor puteri unitare ciclurilor termice ridicate răspunde nevoilor de creștere a randamentului termic al centralelor care se traduce prin reducerea consumului de combustibil și a costului pentru fiecare kWh produs.

O evoluție similară se înregistrează și în domeniul energeticii nucleare, aflată în plină ascensiune, atât ca pondere în totalul producției de energie electrică, cât și din punct de vedere al capacitații vaselor de reacție [13, 41, 89].

Funcționarea la o fiabilitate scăzută a unităților de producere a energiei electrice și termice are implicații deosebit de grave de ordin social și economic. Pagubele ce se produc în cazul unor întrerupori accidentale în alimentarea cu energie electrică, abur tehnologic sau căldură pot fi deosebit de mari. Astfel, defectarea protecției prin relee a sistemului energetic din nord-estul S.U.A. a întrerupt alimentarea cu energie electrică a cîtorva state ceea ce a avut drept urmare pagube de aproximativ 500 mil. dolari, iar o defectare în funcționarea ecranului termic, a condus la o avurie în valoare de 20 mil. dolari [8]. În țara noastră defectarea de numai 10 minute a grupului termoenergetic de alimentare a instalațiilor de producere a benzinei are ca efect nerealizarea unei producții de 133,0 - 561,0 t benzină în valoare de 53,4-233,6 mii lei, iar în cazul instalațiilor pentru producerea polietilenei, se pierde o producție de 63-175 t în valoare de 9,4 - 578,2 mii lei [96].

Datele prezentate justifică efortul cercetătorilor din industria energetică, precum și a celor din organismele de supraveghere și control a instalațiilor pentru producerea energiei electrice și termice de a evalua fiabilitatea elementelor componente vitale ale instalațiilor în vederea înlăuirii acestora înainte de a se produce o avarie, precum și de a utiliza aceste date la proiectarea și realizarea centralelor noi cu combustibili conventionali sau nucleari [24, 80, 83, 96, 120].

Cu toate eforturile depuse pînă în prezent în întreaga lume, ansamblul problemelor legate de apariția și dezvoltarea fenomenului de fluaj al produselor din oțel nu este încă pe deplin cunoscut. Aceasta face ca în activitatea de concepție-proiectare, problemele legate de dimensionarea elementelor, de alegere a oțelurilor și de prescriere a condițiilor de execuție și exploatare a instalațiilor și agregatelor care lucrează în condiții de fluaj din diferite domenii ale tehnicii să nu aibă o concepție unitară.

Astfel, în toate cazurile în care ruperea este condiția limită de proiectare, dimensionarea elementelor din oțeluri rezistente la cald se face în baza rezistenței admisibile σ_a , definită ca raport între rezistența de rupere la fluaj a materialului după 100.000 h de funcționare la temperatură de calcul și un coeficient de siguranță [97, 98]. Căruacteristica de rezistență a materialului se obține prin încercări de laborator pe instalații specializate, principala informație obținută prin încercare fiind valoarea încărcării de care este cupabil materialul fără a se deforma excesiv sau a se rupe la o temperatură și durată de încărcare dată. Deoarece încercările cu durată mare (de exemplu 100.000 h sau 200.000 h), nu sunt economic justificate, căracteristicile de material la durările respective se determină prin extrapolare [16, 36, 43, 50, 77].

De regulă, se admite o variație a caracteristicii de material de $\pm 20\%$, ceea ce face dificilă valorificarea avansată a proprietăților oțelului și conduce, în multe cazuri, la creșterea înălțării a costurilor de investiții. În alte cazuri, dopotrivă de redorite prin consoințele pe care

le pot avea, este posibilă apariția unor situații opuse de suprăestimare a capacitatei de rezistență a oțelului și deci de expunere a instalației sau agregatelor la pericolul de cavarie [96].

Preocupat de ineficacitatea metodelor existente de apreciere a siguranței față de ruperea prin fluaj, autorul a încercat, în lucrarea de față, să sintetizeze trăsăturile principale ale comportării la fluaj a oțelurilor pentru temperaturi ridicate și a modului de evaluare a caracteristicilor de material practicat în prezent, și pe această bază, să definiască un nou criteriu de evaluare a rezistenței la rupere prin fluaj a oțelurilor pentru temperaturi ridicate, pornind de la metodici puse la dispoziție de teoria fiabilității.

Scopul principal urmărit a fost de a explicita influența factorilor care concură la degradarea în timp a produselor din oțel din instalațiile sub presiune care lucrează la temperaturi ridicate și de a defini un indicator probabilistic cantitativ care să constituie o mărime fundamentală de calcul în faza de concepție-proiectare. Soluția propusă vizează depășirea dificultăților legate de cunoașterea comportării materialului în rezolvarea problemei de o deosebită importanță economică, aceea de a realiza echilibrul dorit între costul instalației solicitate la fluaj și siguranța acestia în exploatare.

Definirea în formă analitică a indicatorului de fiabilitate-probabilitate de apariție a ruperii prin fluaj - deschide perspectiva de îmbunătățire a modului de utilizare a oțelurilor pentru temperaturi ridicate în comparație cu posibilitățile oferite de metodele de lucru aplicate în prezent și anume :

- oferă posibilitatea de interpretare a rezultatelor încercărilor de rupere prin fluaj în sensul estimării nivelului de calitate a produselor din oțeluri pentru temperaturi ridicate și a comportării acestora în exploatare ;

- oferă posibilitatea rezolvării la un nivel superior a problemei de eliberare a oțelurilor pentru temperaturi ridicate prin realizarea unor nivele de siguranță optime în

funcție de performanțele oțelului și de condițiile de solicitare la care acesta trebuie să facă față în instalațiile și agregatele sub presiune care lucrează la temperaturi ridicate;

- permite formularea unor direcții de lucru pe linia valorificării caracteristicilor de rezistență la fluaj de care dispun oțelurile pentru temperaturi ridicate în scopul realizării unor instalații și agregate cu un nivel corespunzător de fiabilitate, gaburit și volum de investiții mai redus.

Aplicarea de către autor a noii metodologii la prelucrarea și interpretarea datelor experimentale de fluaj ale conductelor cu pereti groși din două instalații termoenergetice exploataate o durată egală și respectiv mai mare decât durata de utilizare precizată prin proiect (100.000 h), a oferit față de metodologia clasică un criteriu valoric de estimare a riscului existent de apariție a ruperii prin fluaj la aceste conducte în cazul utilizării lor în continuare. Rezultatele obținute au permis să se admită utilizarea în continuare a sistemelor de conducte analizate, ceea ce a condus la realizarea unor importante economii în sistemul energetic național.

Complexitatea deosebită a problemei și existența a numeroase opinii ale specialistilor l-au determinat pe autor să formuleze, încă de la începutul lucrării, o serie de ipoteze care să permită o abordare eficientă a problemei. Documentația consultată și rezultatole experimentărilor proprii confirmă faptul că ipotezele formulate sintetizează concepții bine verificate, care pot să stă la baza unor programe de corectare de durată. Pe scurt, ipotezele formulate sunt următoarele

1. Fluajul este un fenomen de degradare în timp a proprietăților de rezistență ale produselor din oțel care poate fi tratat ca un fenomen de activare termică. Aceasta permite aplicarea relațiilor parametrice de exploatare existente la prelucrarea și interpretarea rezultatelor experimentale în vederea evaluării caracteristicilor de rezistență ale produselor [16, 34, 36, 62, 72].

2. Un lot de produse dintr-o marcă de oțel sollicitate în aceleasi condiții prezintă curbe de degradare diferite, durata pînă la rupere diferind de la un element al lotului la altul. Rezultă că rezistența de rupere prin fluaj este o proprietate a materialului deosebit de complexă și sensibilă la influența unor factori constructivi, tehnologici și de exploatare. Ea nu este o proprietate specifică unui anumit produs ci reprezintă valoarea probabilă a produselor realizate dintr-o aceeași marcă de oțel [12, 17, 32, 66, 68, 105].

3. Durata și tensiunea de rupere prin fluaj sunt mărimi aleatorii care pot fi definite prin legi de repartitie specifice, dependente de gradul de solicitare în condiții de fluaj [2, 10, 69, 73, 76].

Lucrarea a fost organizată pe cinci capitoile.

In primul capitol se prezintă în special pe baza materialului documentar fenomenul și mecanismele procesului de fluaj a metalelor, factorii de solicitare și de material care determină fluajul produselor din oțel, mecanismele ruperii prin fluaj, caracteristicile de fluaj ale oțelurilor și metodele utilizate pentru evaluarea acestora.

In al doilea capitol se discută unele aspecte legate de proiectarea structurilor mecanice și se prezintă elemente de teoria fiabilității și instrumentul ei matematic. Sunt prezentate indicatorii folosiți de teoria fiabilității și modul de aplicare a acestora în faza de concepție-proiectare a structurilor mecanice.

Capitolul al treilea analizează semnificăția rezultatelor obținute prin evaluarea rezistenței la rupere prin fluaj în baza metodologiei existente și precizouă regimul de solicitare a produselor din oțel din instalațiile și agregatele sub presiune care lucrează la temperaturi ridicate. Pe această bază se stabilesc principiile unei noi metode, cui completă decât cele existente, pentru evaluarea rezistenței la rupere prin fluaj. Metoda propusă conduce la obținerea unui indicator cantitativ - probabilitatea de apariție a ruperii prin fluaj - care permite evaluarea riscului de colaps a

construcției după o durată de utilizare dată în condiții precizate de solicitare (tensiune, temperatură).

Verificarea experimentală a metodei propuse se face în capitolul patru. Prelucrările efectuate evidențiază avantajele oferite de noua metodă comparativ cu metodele clasice existente. De asemenea, se reține determinarea indicutorului de fiabilitate care reprezintă un element original în ceea ce privește caracterizarea calității produselor din oțeluri pentru temperaturi ridicate.

In ultimul capitol, al V-lea, se prezintă posibilitățile de valorificare a rezultatelor obținute și se formulează direcții de lucru în probleme de mare importanță tehnică și economică, vizând îmbunătățirea modului de utilizare a oțelurilor carbon și slab aliata pentru temperaturi ridicate și creșterea siguranței în exploatare a instalațiilor și agregatelor realizate din aceste oțeluri.

CAPITOLUL I

CONSIDERATII PRIVIND FLUAJUL METALELOR SI COMPORTAREA PRODUSELOR DIN OTEL SOLICITATE MECANIC LA TEMPERATURI RIDICATE

Fenomenul de fluaj se manifestă ca un proces de deformare plastică care apare în timp atunci când metalul este subiect simultan acțiunii unor tensiuni și temperaturi ridicate. El a fost studiat pentru prima dată de Edward Noville de Costa Andrade [16, 34].

Gradul ridicat de complexitate al fenomenului și importanța asigurării unor proprietăți corespunzătoare metalelor și aliajelor solicitate la temperaturi ridicate, a determinat pe o serie de cercetători [15, 34, 50, 62, 112, 119], să analizeze factorii care participă la apariția și dezvoltarea fluajului. Una din formulările cele mai cuprinzătoare a fost propusă de F. Garofalo [34], după care dependența dintre factorii care definesc fluajul metalelor este dată de o relație de tipul :

$$\dot{\epsilon} = \sum \sigma_i(T;S) \cdot A_i(T;S) \cdot \exp\left[\frac{\Delta H_i(T;S)}{RT}\right] \quad (1.1)$$

în care :

$\dot{\epsilon}$ - este viteza de fluaj definită de derivata în raport cu timpul (t) a deformării de fluaj (ϵ) ;

σ_i - tensiunea a cărei influență depinde de temperatură (T) și de structura metalului (S). Termenul (i) înglobă parametrii microstructurali ai metalului cum ar fi mărimea grăuntelui, forma și dimensiunile precipitatelor, dispersia uneia sau a mai multor faze, densitatea dislocațiilor ;

A_1 - termen care materializează frecvența fenomenelor de difuzie, alunecare și deplasare elementală ;

ΔH_i - energia de activare pentru procesul de ordinul "i" care controlează viteza de fluaj ;

R - constanta gazelor perfecte ;

T - temperatura de solicitare.

Factorii de care depinde apariția și dezvoltarea fenomenului de fluaj pot fi grupați în două categorii și anume : factori de solicitare și factori de material.

1.1. Factori de solicitare

In studiul fenomenului de fluaj apar, pe lîngă principalele mărimi din rezistența materialelor - tensiunea (σ) și deformarea (ϵ) - și mărimi specifice - temperatură (T) și timpul (t). Pentru descrierea procesului se utilizează și o mărime ajutătoare - viteza de fluaj ($\dot{\epsilon}$) - care este derivată în raport cu timpul a deformării de fluaj. Rezultă că cercetarea unui metal din punct de vedere al fenomenului de fluaj constă în examinarea legii de dependență dintre aceste mărimi fizice și anume :

$$\Phi(\sigma; \epsilon; T; t; \dot{\epsilon}) = 0 \quad (1.2)$$

Analiza comportării metalului cînd toți factorii enumerate sunt variabili este dificilă. De aceea, studiul experimental al fenomenului de fluaj se realizează în ipoteza că unii dintre aceștiă sunt constanți. Metoda cea mai utilizată este aceea care definește variația deformării, respectiv a vitezei de fluaj cu timpul, în ipoteza că tensiunea și temperatura sunt constante [15, 34]. Curba obținută, denumită curba teoretică de fluaj sau curba de deformare izotermă sub sarcină constantă, caracterizează comportarea metalului în timpul

processului de fluaj.

In fig. 1.1 se prezintă curba teoretică de fluaj a unui metal, la care încercarea a fost condusă pînă la

ruperea probei. Se constată că la aplicarea statică a sarcinii, deformatia crește după linia OA. În funcție de nivelul de temperaturi și de valoarea tensiunii aplicate, această deformare inițială poate fi elastică sau elasto-plastică. În timp, în condițiile menținerii constante a tensiunii și temperaturii, deformatia variază

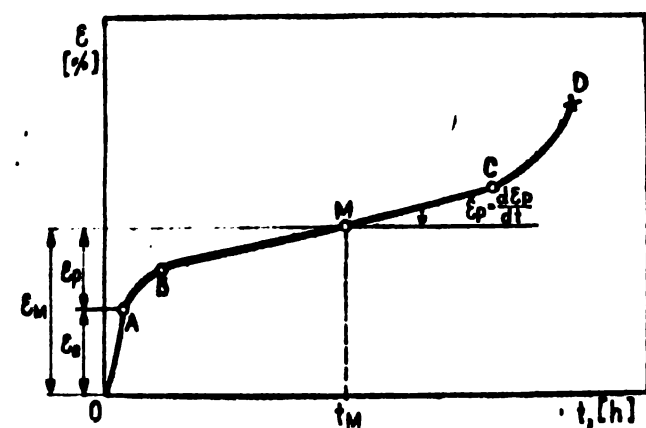


Fig. 1.1. Curba teoretică de fluaj [34]

după curba ABCD. Ordinata oricărui punct de pe curbi reprezintă mărimea deformării după diferite durate de încercare. Aceasta se compune din deformări care au apărut inițial la încercare, (ε_0) și deformări plastică apărută în urma fluajului (ε_p). Ca urmare a valorii mici pe care o are deformarea inițială comparativ cu deformarea plastică de fluaj, udesori, pe grafic, se reprezintă numai deformarea plastică apărută în urma fluajului, notată pentru simplificare cu ε , astfel încât originea axelor de coordonate se deplasează în punctul A.

După cum rezultă din fig. 1.1, corespunzător valorilor pe care le înregistrează în timp viteza de deformare plastică, procesul de fluaj poate fi împărțit în trei stadii :

- în primul stadiu reprezentat prin curba AB viteza de deformare plastică este descreșcătoare. Acest stadiu este denumit fluaj primar sau transitoriu ;
- în al doilea stadiu, porțiunea BC, viteza de deformare plastică este sensibil constantă și are o valoare minimă pentru încercarea considerată, ($\dot{\varepsilon}_{\min}$). Această stadiu este denumit secundar sau staționar ;

- în al treilea stadiu, porțiunea CD, viteza de deformare plastică crește continuu pînă în punctul D, în care se produce ruperea epruvetei. Acest stadiu este denumit fluaj accelerat sau tertiar.

În calculul la fluaj, primul și îndeosebi al doilea stadiu al procesului de fluaj prezintă un interes deosebit. Au fost propuse o serie de relații între tensiunea de solicitare și deformarea care rezultă într-un metal sau aliaj, la o anumită temperatură [34, 38, 57, 84, 102]. Dintre acestea cu o utilizare mai largă este ecuația :

$$\varepsilon = A_1 \cdot t^n \quad (1.3)$$

unde "A₁" și "n" sunt mărimi dependente de material și de condițiile de încercare.

1.1.1. Tensiunea

Se cunosc relativ puține cercetări privind influența separată a tensiunii asupra legii de deformare în timp. Se poate afirma că durata relativă a celor trei stadii ale fluajului variază în limite largi, aceasta fiind funcție de nivelul tensiunii aplicatoare [102]. În fig. 1.2. [62] sunt schematizate cîteva din evoluțiile posibile ale curbelor de fluaj atunci cînd tensiunea variază.

Se pune în evidență faptul că, la tensiuni ridicate, viteza de deformare crește, iar durata fluajului secundar se reduce. La limită, curba de fluaj poate prezenta numai un punct de inflexiune corespondent tracțiunii la fluajul transitoriu la fluajul accelerat.

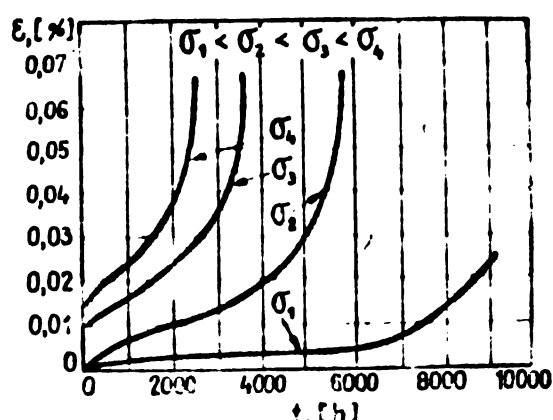


Fig. 1.2. Curbe de deformare izobare la fluaj [62]

flexivne corespunzător tracțiunii la fluajul transitoriu la fluajul accelerat.

In cursul procesului de fluaj sub sarcină constantă, aparțină doformările plastică care produce reducerea secțiunii epruvetorii, tonciunoa crește, ceea ce influențează astfel alungirii și respectiv a vitezelor de fluaj. In fig. 1.3 se prezintă, după [34], variația alungirii la

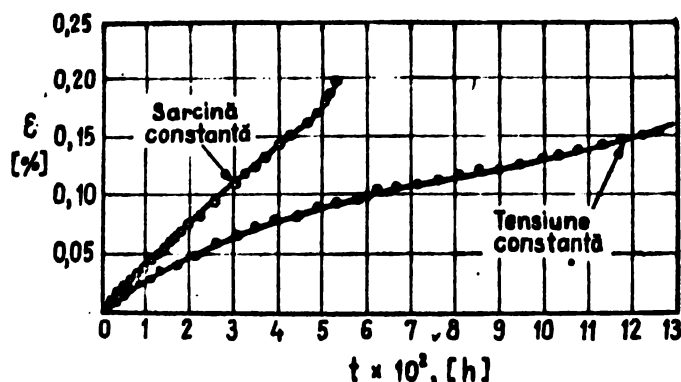


Fig. 1.3. Variatia alungirii de fluaj cu timpul pentru un oțel inoxidabil austenitic [34]

timpul încercării. Curbele de deformare obținute sunt distincte încă de la valori reduse ale alungirii la fluaj.

Avin în vedere condițiile specifice în care se realizează în laborator încercarea la fluaj, condiții care fac dificilă măsurarea variatiilor secțiunii epruvetorii în cursul încercării, convențional rezultatul determinărilor la fluaj se exprimă prin raportarea valorii sarcinii aplicate la secțiunea inițială a epruvetorii. Aceast mod de lucru are în vedere și faptul că în construcțiile reale, încărcările de bază care se iau în considerare la dimensionarea acestora (presiuni, greutate proprie, etc) practic nu se modifică ceea ce variațiile dimensionale mici rezultă în urma fluajului.

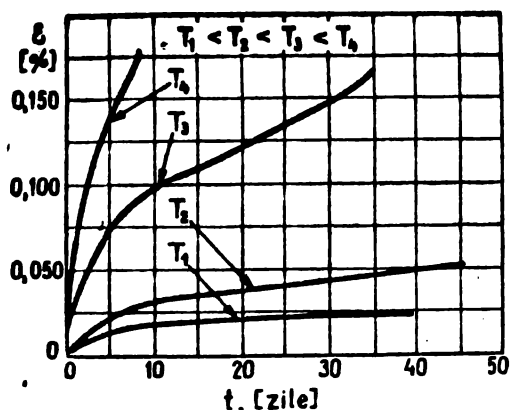
1.1.2. Temperatură

In mod experimental s-a pus în evidență faptul că fluajul este un proces activat termic, a cărui cinetică depinde

De temperatură cupă o lege de tip exponentia (1.1). Se poate afirma că rezistența metalelor scade atunci cind temperatura crește, aceasta deoarece mobilitatea atomilor din rețeaua metalului este mărită iar procesele legate de fenomenul de difuzie sunt activate. De asemenea, temperaturile ridicate vor conduce la o mai mare mobilitate a dislocatiilor prin mecanismul de călărire, iar concentrația de echilibru a vacanțelor va fi mai mare [16, 34, 62]. În fig. 1.4 sunt prezentate după [62], cîteva evoluții posibile ale curbelor de fluaj atunci cind se crește temperatura de încercare.

Pentru a discuta comportarea la fluaj a unui metal

trebuie să se țină seama nu numai de temperatura de încercare ($T^{\circ}\text{K}$) ci și de temperatura de fusiu- no a metalului respectiv ($T_f^{\circ}\text{K}$). Astfel, două metale a căror rezistență mecanică la tempera- tură ambientă este dife- rită, pot avea o compor- tare la fluaj asemănătoare, dacă raportul T/T_f este apropiat ca valoare.



1.4. Curba de deformare izotermă de fluaj [62]

În funcție de valoarea acestui raport, fluajul poate fi consi- derat că are loc la temperaturi ridicate sau joase. Se conside- ră că la valori ale raportului T/T_f mai mici de 0,5, fluajul are loc la temperaturi joase deoarece în acest domeniu de tem- peraturi, fenomenul de difuzie poate fi neglijat. La valori ale raportului T/T_f mai mari de 0,5, fluajul este considerat că are loc la temperaturi ridicate și este controlat de fenomenul de difuzie [34].

1.1.3. Temperatură

Este col de al treilea factor important de care trebuie să se țină seama în studiul fenomenului de fluaj.

Expunerea prelungită la tensiuni și temperaturi ridicate acționează asupra stabilității structurale a metalelor și aliajelor. Astfel, în metalele deformate plastic la roșu, în timp apar fenomene de recristalizare următe de o creștere a granulației, ceea ce determină o scădere a rezistenței lor mecanice și trezarea în stadiul de fluaj accelerat [30, 31, 34]. După [34], viteza de fluaj stabilizat variază invers proporțional cu durata stadiului respectiv. În fig. 1.5 se prezintă dependența

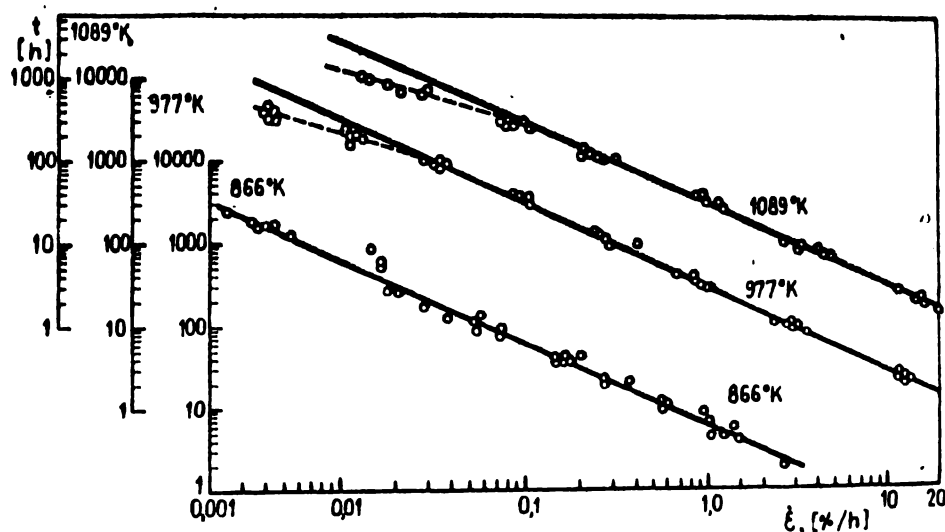


Fig. 1.5. Variația vitezei de fluaj cu durată fluajului stabilizat la un oțel inoxidabil austenitic [34]

din re cele două mărimi la un oțel inoxidabil austenitic.

Analizând global, durata de rupere la fluaj poate fi corelată cu tensiunea și temperatura de încercare printr-o relație de tipul :

$$t = A_2 \cdot \exp\left[\frac{\Delta H}{RT}\right] \cdot \exp[-\alpha \sigma] \quad (1.4)$$

unde : "A₂" și "α" sunt mărimi care depind de material și de condițiile de încercare.

In practică s-a incercat folosirea unei astfel de

relații pentru reducerea duratei efective a încercărilor de fluaj prin extrapolarea rezultatelor unor încercări cu durată mai reduse. Este evident că astfel de rezolvări nu pot conduce la rezultate corecte decât dacă se cunosc influențele tensiunii, temperaturii și a modificărilor de structură asupra mărimilor A_2 , a și ΔH_1 [34, 38, 96, 123].

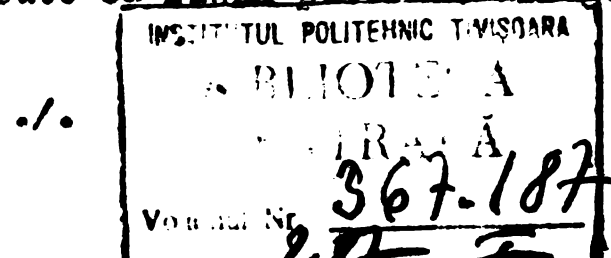
1.2. Factori de material

Caracteristicile mecanice la temperaturi înalte ale metalelor sunt influențate într-o măsură importantă de factorii tehnologici care în ansamblu definesc modul în care au fost obținute produsele metalurgice: compoziția chimică, tehnologia de elaborare și prelucrare plastică, tratamentul termic aplicat și de microstructură [19, 20, 34, 48, 51, 70]. Considerațiile care se prezintă în continuare în legătură cu aspectele menționate mai sus se vor referi cu precădere la oțeluri.

1.2.1. Gradul de aliere

O serie de elemente de aliere cum sunt molibdenul, vanadiul, wolframul, titanul, niobiul, azotul și într-o proporție mai redusă cromul cu o influență favorabilă asupra proprietăților de fluaj ale oțelurilor [16, 52, 82, 107, 108]. Mechanismul acțiunii acestor elemente nu este total cunoscut. Influența lor este legată de formarea carburilor sau a fazelor intermediare [108] sau și mai posibil, de un aranjament particular al atomilor, anterior formării compușilor respectivi [16]. Prin aliere crește sensibil temperatura de recristalizare a oțelului, ceea ce explică, cel puțin în parte, influența lor favorabilă asupra rezistenței la fluaj.

Experiența a demonstrat că la conținuturi mari din aceste elemente care sunt cunoscute ca fiind puternice aliajene,



rezistența la fluaj a oțelului scade datorită efectului pe căre fil are suprimerarea parțială sau totală a transformării $\alpha \rightarrow \gamma$. După [16], acțiunea alfagenei a mai multor elemente se exercită cumulativ. Creșterea conținutului de carbon în oțel permite realizarea unui grad mai mare de aliere a oțelului cu elemente alfagene fără ca transformarea $\alpha \rightarrow \gamma$ să suferă modificări.

Influența unor elemente de aliere considerate separat este analizată în lucrările [19, 45, 51, 52, 106]. De exemplu, dacă la un oțel cu 0,2-2,4% Cr, s-a variat conținutul de molibden [51, 52] s-a evidențiat că influența favorabilă a acestui element se realizează pînă la conținuturi de max. 0,45%, după care creșterea caracteristicilor de durată nu mai justifică creșterea gradului de aliere cu molibden. În fig. 1.6 se prezintă, după [45], influența conținutului de molibden asupra rezistenței de durată la 100.000 h pentru trei clase de oțeluri. În lucrarea [106], se studiază influența microalierii cu bor a oțelului Cr-Mo-V. Se arată că borul modifică raportul dintre cantitățile de ferită și bainita din structură, de la aproximativ 4/1 cît este în oțelul fără adăugări de bor la aproximativ 1/4 în oțelul cu 0,003% B. Prin acest lucru rezultă o stabilitate mai bună a structurii în timpul menținerilor de lungă durată la temperaturi ridicate. Influența cumulativă a adăugărilor de molibden, venind împreună cu niobiul, asupra

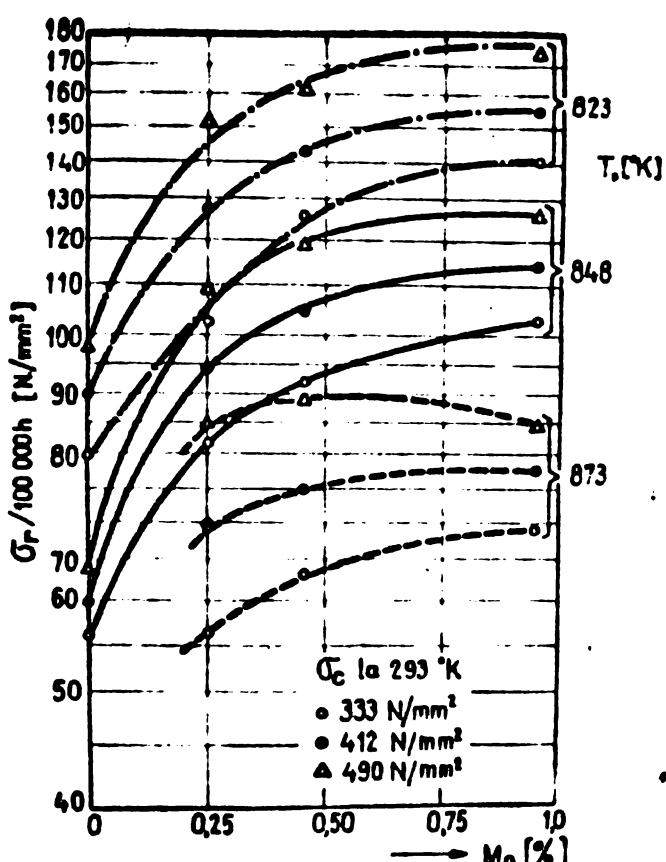


Fig. 1.6. Influența ulierii cu molibden asupra rezistenței la fluaj a oțelului î cu 0,50% Cr și 0,25% V [45]

cumulativă a adăugărilor de molibden, venind împreună cu niobiul, asupra

oțelului cu 9% Cr este analizată în lucrarea [16]. Aceste elemente determină micșorarea grăuntelui austenitic real și atenuarea tendinței de creștere a granulației austenitice în timpul tratamentului termic. Ele favorizează formarea unor carburi greu disociabile la austenitzare. Vanadiul și mai ales niobiul determină mărirea stabilității structurii la revenire.

1.2.2. Tehnologia de elaborare

Rezistența la fluaj a oțelurilor este influențată de factorii tehnologici care definesc modul de dezoxidare al oțelului. Astfel, s-a constatat că oțelurile dezoxidate cu aluminiu au, în general, proprietăți de fluaj mai slabe decât cele dezoxidate cu siliciu. Aceasta decoarece aluminiul, pe de o parte acceleră procesele de globulizare ale cementitei și de grafitizare, iar pe de altă parte reduce foarte mult conținutul de azot liber din oțel. În lucrarea [108] se arată că formarea în urma tratamentului a unor structuri necorespunzătoare din punct de vedere al rezistenței la fluaj, la oțelul de tip Cr-Mo-V, se datoră modului în care s-a făcut dezoxidarea acestuia.

O îmbunătățire sensibilă a proprietăților la temperaturi finale se obține în cazul elaborării cu tratare în vid sau retopire; oțelul astfel obținut prezintă o creștere a purității, un conținut redus de gaze, iar compoziția chimică este uniformă [34].

1.2.3. Mărimea granulației

În desfășurarea fenomenului de fluaj, proprietățile de rezistență ale grăunților și respectiv ale limitelor acestora intervin în condiții diferite, determinând comportarea la fluaj a unui metal. Este deci evident că raportul dintre suprafața formată de limitele de grăunți și respectiv de grăunți

(care depind de mărimea acestora) joacă un rol important în dezvoltarea procesului de fluaj [16, 34]. Astfel, într-un metal cu grăunți fini, acest raport este mare, în timp ce într-un metal cu grăunți mari, valoarea raportului este mică. Prin urmare, în condițiile în care fluajul este legat de deformarea grăunților, metalul cu grăunții mai fini va avea o rezistență mai bună. În cazul în care fluajul este determinat de deformarea limitelor, rezistența la fluaj scade odină cu finisarea granulației. Acest lucru este ilustrat în fig. 1.7 [34]

pentru un oțel austenitic solicitat la fluaj la 977°K ($0,55 T_f$), condiție în care deformarea arătă loc preponderent la limita grăunților. Se observă că o creștere a diametrului grăuntelui de la $0,009 \text{ mm}$ la $0,082 \text{ mm}$ determină o reducere considerabilă a vitezei de fluaj a oțelului.

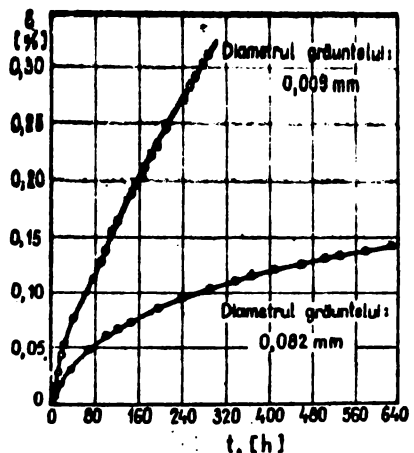


Fig. 1.7. Influența mării mării grăuntelui real asupra alungirii de fluaj pentru un oțel inoxidabil austenitic [34]

că utât ecrusarea, cît și primul studiu al fluajului, sunt legate de o aceeași modificare a rețelei și anume de deplasarea dislocațiilor. Experiențele au arătat că în funcție de temperatură de solicitare, există un grad optim de ecrusare al materialului, peste care ecrusarea are un efect defavorabil.

Astfel, în lucrările [3, 124] se arată că, în cazul oțelurilor pentru țevi de casane, deformările la roce mai mari de 5,5 dozează apariția de rupeuri fragile după numai 5000 h de exploatare în condiții de fluaj. În vederea prestabilitării caracteristicilor oțelului este necesar ca după deformare

1.2.4. Deformarea plastică

S-a constatat că în cele mai multe cazuri, ecrusarea prealabilă a materialului are ca efect dispariția primului studiu al fluajului [16, 30, 31]. Această fapt este evident dacă se admite

să se efectueze o reciacere de recristalizare.

1.2.5. Tratamentul termic

Tratamentul termic constituie unul din principalele mijloace de creștere a rezistenței la fluaj a oțelurilor. Aplicând un tratament termic adecvat se obține o structură care poate conduce la blocări de dislocații și micșorarea vitezei de difuzie a elementelor de aliere din soluția solidă și precipitarea de carburi convenabile, adică o structură stabilă la temperaturi ridicate, care conferă oțelului respectiv o rezistență la fluaj corespunzătoare [32, 51, 59, 99]. Din acest punct de vedere se poate preciza că austenitizarea făcută la o temperatură care asigură punerea în soluție a tuturor constituenților are un efect favorabil asupra comportării la fluaj a oțelului respectiv, prin aceea că la răcire precipitarea carburilor se va face prin germinare în întreaga masă a metulului, fără a se forma aglomerări de carburi în anumite zone ale structurii.

In lucrarea [108] se arată că, în condiții de fluaj, comportarea unor produse din oțel cu 1,5% Cr, 1,0% Mo și 0,30% V este funcție de tratamentul termic aplicat în starea de livrare. Prin variația parametrilor de normalizare și revenire se pot obține structuri stabile cu precipitații de carburi uniform distribuite în masă de bază, care conferă acestui oțel caracteristici mecanice optime atât la temperatura ambientă, cât și la temperaturi ridicate.

1.3. Teoria reforțării la mecanismele răvării prin fluaj a metalor

Așa cum s-a arătat, în timpul primelor două faze ale fluajului se produce o deformare elastică însotită de o orientare a cristalilor pe direcția tensiunii aplicate, după

care incepe procesul de deformare plastică. Inceputul fluajului terțiar, materializat prin creșterea vitezei de fluaj poate fi determinat, fie de creșterea efortului unitar ca urmare a reducerii secțiunii utile a produsului, fie de o fragilizare a metalului ca urmare a apariției unor fenomene de precipitare, recristalizare și punere în soluție a uneia sau mai multor faze. Evoluția deformației în această fază poate avea loc fie în întreaga masă a metalului, fie la limitele grăunților cristalini. Acest ultim mecanism determină apariția și dezvoltarea microfisurilor în zona limitelor grăunților cristalini conducind în final la rupere.

In metale și aliaje ruperea prin fluaj poate fi de tip transgranular (transcristalin) sau de tip intergranular (intercristalin). Se observă adesea și ruperi cu caracter mixt. În general ruperea transgranulară se produce la temperaturi joase și viteze de deformare ridicate. La temperaturi ridicate și viteze de deformare reduse ruperea este intergranulară [16, 34]. Rezultă că fluajul terțiar jucă în joc mecanisme complexe printre care și deformarea sub sarcină multi-axială crescătoare, ruperea prin fluaj fiind determinată în esență de [57, 82, 110] :

- migrarea limitelor ;
- concentrare de tensiuni sau deformații ;
- modul de deformare ;
- formarea și migrarea lacunelor.

1.3.1. Mecanismul de germinare și propagare a microfisurilor

Se cunosc două moduri de germinare a microfisurilor care conduc la apariția ruperii intergranulare [34, 62, 70, 82, 110] și anume :

a - Formarea microfisurilor de colț denumite și "fisuri de tip A". Acestea iau naștere, în general, în cazul

solicitărilor la tensiuni mari și temperaturi joase, la punctele triple ale limitelor de grăunți datorită existenței unei stări triaxiale de tensiune. Tendința mare de formare a fisurilor de tip "W" în aliaje se explică prin creșterea rezistenței grăunților la deformare și scăderea mobilității limitelor. În fig. 1.8 [34] se prezintă microfisurile de tip "W" apărute în microstructura unui oțel austenitic solicitat la fluaj la 866°K .

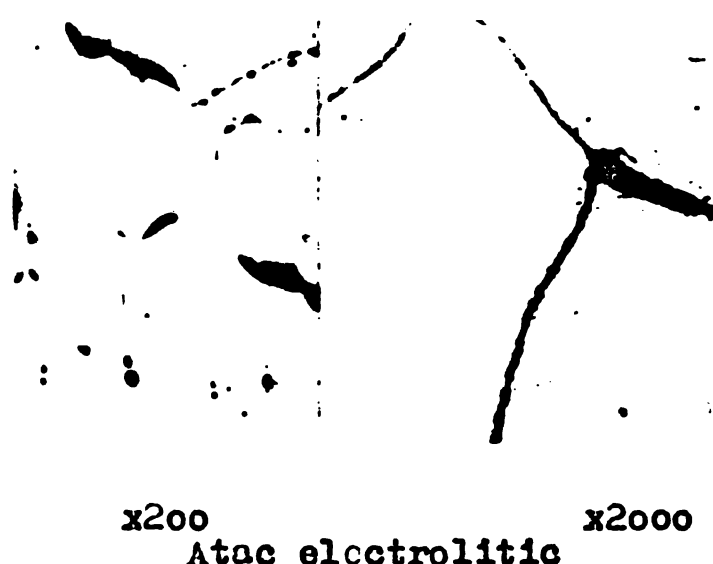


Fig. 1.8. Microfisuri de tip "W" la un oțel inoxidabil austenitic solicitat la fluaj la 866°K [34]

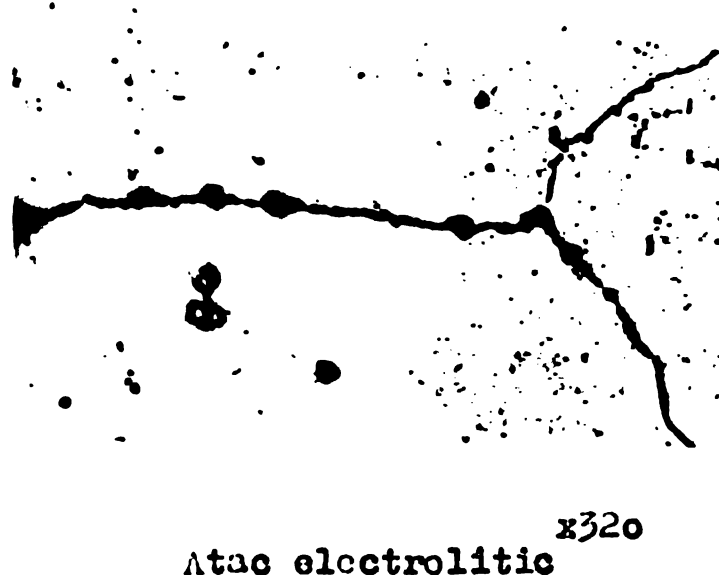


Fig. 1.9. Microfisuri de tip "r" în Nimonic 80 A solicitat la fluaj la 1023°K [34]

za general admisă conform căreia deformarea plastică și ruperca

b - Formarea covităților rotunde sau eliptice denumite și "cavitate de tip "r"" . Aceasta se formează în cazul solicitărilor la tensiuni scăzute și temperaturi ridicate și adrept cauză aglomerarea lacunelor (golurilor) de-a lungul limitelor dispuse perpendicular pe direcția tensiunii. Deformarea intergranulară contribuie la acest mecanism, furnizând un supliment de lacune (goluri) prin interacțiunea dislocațiilor. În fig. 1.9 [34] sunt puse în evidență covitățile de tip "r", în Nimonic 80 A solicitat la fluaj la 1023°K .

Mecanismul de germinare al fisurilor se bazează pe ipoteza

sunt două fenomene interdependente. Aceasta explică inițierea și propagarea microfisurilor la tensiuni inferioare rezistenței teoretice a rețelei cristaline. Dacă se presupune că lucrul mecanic necesar pentru propagarea unei microfisuri este egal cu energia de formare a două suprafețe noi, se poate arăta că tensiunea normală corespunzătoare este dată de relația [9] :

$$\sigma = \left[\frac{2E}{e} \right]^{1/2} \quad (1.5)$$

unde : E - este energia superficială pe unitatea de suprafață ;
e - distanța interatomică.

1.3.2. Teoria fluajului intra și intogranular

Această teorie este cunoscută și sub denumirea de teoria lui Hanson și Wheeler [62]. Cei doi cercetători au făcut încercări de fluaj pe aluminiu, sub formă de monocristale de metal pur și respectiv aliaje policristaline.

In cazul monocristalelor în prima fază a încercării a fost constată apariția a două sorii de benzi de alunecare rectangulare. In timpul dezvoltării procesului de fluaj, densitatea acestor benzi a rămas practic constantă. In ultimul stadiu al fluajului s-a produs o cîtuire a cpruvetei printr-un mecanism de alunecare după un număr mic de benzi groase. In final ruperea s-a produs prin suprapunerea a numeroase benzi fine peste cele cîteva benzi groase.

La clăjile policristaline, fenomenele au fost diferite în funcție de temperatură și de viteză de fluaj. La temperaturi relativ ridicate și viteze foarte mici de fluaj nu s-au constatat benzi de alunecare la începutul fluajului. In timp modificările au apărut la rosturile grăunților. O îngrozare sensibilă s-a produs mai ales în ro turile orientate perpendicular pe direcția de aplicare a sarcinii. In ultimul stadiu,

s-au format fisuri intergranulare, care s-au propagat în toată masa epruvetelor pînă la rupere. La temperaturi relativ scăzute, deformarea s-a produs după un mecanism similar celui întîlnit în cazul monocrystalului, cu apariția de benzi de alunecare și fără fisuri intergranulare.

Autorii studiului au extins rezultatele obținute și în cazul altor metale formulînd o teorie generală asupra mecanismului fluajului. Potrivit acestei teorii fluajul are caracter intergranular sau intragranular, după cum temperatura este superioară sau inferioară unei anumite valori critice. Teoria lui Hanson și Wheeler a rezultat din observații experimentale și se rezumă numai la analiza naturii ruperii.

1.3.3. Fluajul și teoria dislocațiilor

Dislocațiile reprezintă defecte de întrerupere a ordinii normale de aranjare a atomilor într-o rețea cristalină. Ele pot fi imaginat ca linii sau suprafețe care separă regiunile cristalului care au suferit alunecări, față de cele care nu au alunecat. Se poate afirma că procesele legate de formarea și deplasarea dislocațiilor sub acțiunea încercărilor exterioare sunt cele mai importante și că ele determină procesul de deformare și rupere prin flanj [15, 62, 99].

Procesul de fluaj, considerat din punct de vedere al teoriei dislocațiilor, se prezintă în felul următor [62] : în momentul aplicării sarcinii sunt activate surcele de dislocații caracterizate prin tensiuni critice inferioare sau egale tensiunii aplicate. O parte din dislocațiile formate sunt frînate de către dislocațiile preexistente sau de alte obstacole din rețea. Concentrarea de tensiuni care rezultă, ca urmare a aglomerării de dislocații, determină la un moment dat depășirea baricrelor energetice opuse de obstacole. Astfel are loc fenomenul de difuziune a dislocațiilor. Acest fenomen duce la apariția de linii sau benzi de alunecare care, în ultimul stadiu al fluajului, determină apariția gîtuirii și apoi a ruperii epruvetei.

In lucrarea [99] se arată că mișcarea dislocațiilor în cursul procesului de fluaj la un oțel de tip Cr-Mo-V este funcție de distanța dintre particulele de carburi V_4C_3 . Încercările de fluaj au fost realizate la tensiuni cuprinse între 80-260 N/mm² și temperaturi de 823-873°K. S-a constatat că la distanțe între particule mai mici de 1200 Å, deplasarea dislocațiilor este puternic influențată de mărimea și repartiția carburiilor. În astfel de situații se formează lanțuri de dislocații. În fig. 1.10 [99] sunt puse în evidență cîteva segmente de dislocații care s-au cîțărât peste precipitatele de V_4C_3 , iar în fig. 1.11 [99] se văd salturi ale lanțului de dislocații peste obsta-

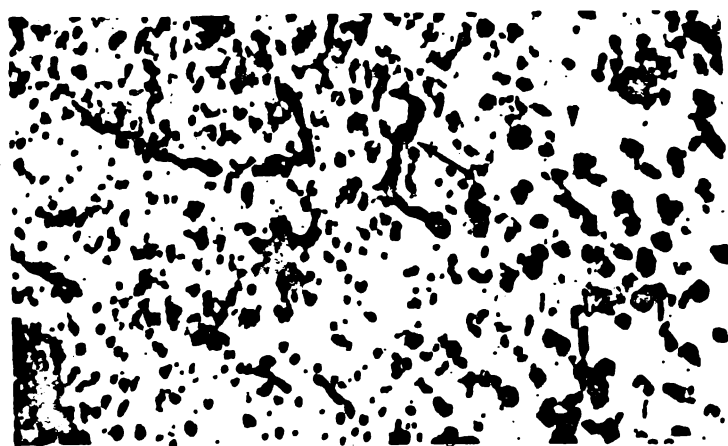


Fig. 1.10. Segmente de dislocații
în oțel Cr-Mo-V [99]

colele întâlnite în cursul procesului.

Conform modelelor privind mișcarea dislocațiilor



Fig. 1.11. Salturi de dislocații
în oțel Cr-Mo-V [99]

de relația [108] :

$$r = \frac{Gb}{2\zeta_i} \quad (1.6)$$

•/•

unde : G - modul de elasticitate transversal ;
 b - vectorul lui Burgers.

In cazul particulelor fin dispersate, miscarea dislocațiilor este condiționată de atingerea tensiunilor necesare trecerii forțate a liniilor de dislocații printre particulele aflate la distanța "c" unele de altele. Deoarece distanța "c" este egală cu dublul razei critice de curbură, din ecuația (1.6) se poate determina tensiunea necesară forțării trecerii unei linii de dislocații printre particulele precipitate.

1.4. Modificări structurale în condiții de fluaj

Oțelurile utilizate la temperaturi ridicate se împart, în funcție de gradul de aliere, în următoarele grupe [108] :

- oțeluri nealiate din clasa perlitică ;
- oțeluri cu molibdon, crom-molibden sau crom-molibden-vanadiu din clasa bainito-perlitică ;
- oțeluri cu conținut ridicat de crom (5-12% Cr) din clasa martensitică sau martensito-feritică, aliata suplimentar cu Mo, Ni, W, Nb și alte elemente ;
- oțeluri austenitice crom-nichel, aliata cu Ti, Nb, Mo sau alte elemente.

In general, structura acestor oțeluri este constituită din mai multe faze. După caracterul fazelor în exces acestora pot fi împărțite în trei grupe și anume : compuși (cu valență normală, compuși electronicici sau fază de interstiții), soluții solide (cum este faza α în oțelurile austenitice) și incluziuni independente. Natura, dimensiunea și dispoziția

fuzelor în exces determină rezistența oțelului la temperaturi ridicate. Particulele de fază secundară influențează deplasarea și fragmentarea dislocațiilor, rezistența la deformare fiind cu atât mai mare cu cît distanțele pe care se pot deplasa liber dislocațiile sunt mai mici [99] :

Ponderea consumului de oțeluri pentru temperaturi ridicate în industrie o formează oțelurile Cr-Mo cu sau fără aliere suplimentară cu vanadiu utilizate la temperaturi de pînă la 823°K . În stare tratată termic, structura acestor oțeluri este formată din ferită, bainită și în proporție redusă perlită. Se remarcă apariția de precipitații de carburi în cantitate redusă în masa grăuntelui de ferită și izolat pe rosturile grăunților. Cercetările efectuate asupra acestor oțeluri [19, 53, 108] au arătat că prezența în cantitate mare a perlitei în microstructură nu este de dorit, deoarece scad proprietățile de refractaritate ale oțelurilor. De asemenea, o structură inițială cu o cantitate mare de precipitate influențează în mod defavorabil rezistența de durată la temperaturi ridicate [19, 59].

În ceea ce privește stabilitatea în timp a microstructurii, cercetările efectuate atât pe oțeluri în stare de livrare [3, 26, 38, 48, 82], precum și pe probe extrase din conducte după diferite dure de funcționare în condiții de fluaj [27, 39, 53, 60, 108], au arătat că în timpul menținerii sub sarcină la temperaturi înalte apar modificări semnificative ale microstructurii. Acestea afectează atât natura compușilor precipitați din soluția solidă, cît și soluția solidă însuși, influențând în mod nefavorabil comportarea la fluaj a oțelului. În condițiile unor mențincri de lungă durată la temperaturi ridicate, din masa soluțiilor solide precipitați carburi, a căror natură depinde de starea inițială a structurii și de durata de menținere. În general, se formează carburi complexe de tip M_{23}C_6 , M_6C și M_7C_3 prin una din următoarele cîi :

- transformarea locală (in situ), prin croșterea gradată a conținutului de elemente de aliere în M_3C pînă se formează particule individuale de carburi aliatü ;

- germinare separată, cînd M_3C se dizolvă în ferită și precipitați carbura aliată.

In fig. 1.12 se prezintă microstructurile unui oțel cu 0,50% Cr, 0,50% Mo și 0,20% V în stare inițială (fig. 1.12 a) și după 50.000 h (fig. 1.12 b) de utilizare la 813°K și 49 N/mm^2 . Analiza a fost făcută în ICEM atât la microscopul optic (x 1000), cât și la cel electronic cu baloaj



x 1000
Atac nital 2%

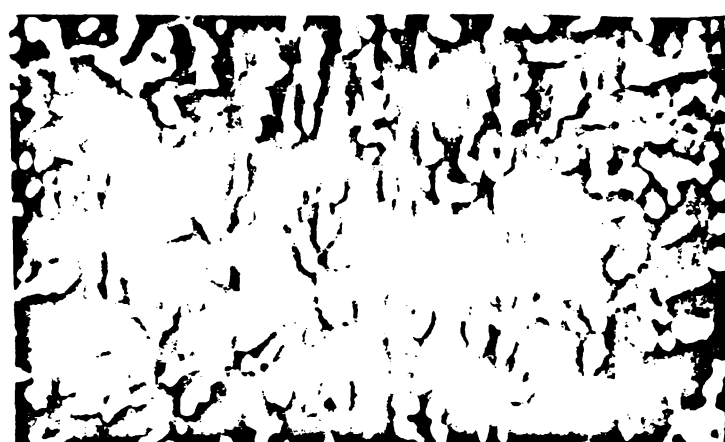


x 6000
Atac nital 10%

a



x 1000
Atac nital 2%



x 6000
Atac nital 10%

b

Fig.1.12. Microstructura oțelului cu 0,50% Cr,
0,50% Mo și 0,20% V

- a. Stare inițială
- b. După 50.000 h de utilizare
la 813°K și 49 N/mm^2

(x 6000) [62, 90]. Se constată că probele utilizate prezintă o descompunere avansată a formațiilor proeutectoide cu separări de carburi dispuse în masa grăuntelui de ferită și unguri în lanțuri pe limitele grăuntelor.

In lucrarea [3] se arată că, în urma îmbătrînirii de lungă durată într-un oțel cu 1,3% Cr, 1,0% Mo și 0,2% V, au apărut aglomerări de carburi de tip $M_{23}C_6$, M_7C_3 și Mo_2C , care au determinat reducerea apreciabilă a valorii rezistenței de durată. Analiza unor probe din oțel cu cca 2,25% Cr și 1,0% Mo, pun în evidență creșterea precipitatelor Mo_2C odată cu creșterea duratei de încercare. Încercările făcute de Krisch [51], pe probe din acest tip de oțel, au evidențiat și faptul că în cursul procesului de fluaj are loc un transfer progresiv al molibdenului din ferită în carburi. Această sărăcire a feritei în molibden determină scăderea proprietăților de fluaj ale oțelului.

1.5. Caracteristicile de fluaj ale oțelurilor

Studiul experimental al fluajului se realizează pe instalații specializate echipate cu dispozitive de menținere în limite strînse a temperaturii epruvetei încercate. Pentru aprecierea comportării la fluaj a diforitelor produse au fost definite două caracteristici de material și anume :

- limita tehnică de fluaj ;
- rezistența tehnică de durată.

Limita tehnică de fluaj $\sigma_{\epsilon/t}$ sau $R_{\epsilon/t}$ [42], reprezentă tensiunea la care deformarea plastică, într-un interval de timp dat, atinge o valoare stabilită (de exemplu 1%). Valoarea deformării plastice se alege plecind de la condițiile constructive care asigură o exploatare normală a piesei în timpul de funcționare specificat.

Rezistența tehnică de durată $\sigma_{r/t}$ sau $R_{r/t}$ [43]

este valoarea tensiunii, calculată prin raportarea la secțiunea inițială a opruvetei, la care ruperea se produce după un interval de timp dat.

1.5.1. Metode de extrapolare a datelor experimentale de fluaj

La proiectarea elementelor care lucrează în condiții de fluaj se utilizează valorile limitei de fluaj sau ale rezistenței de durată care corespund unor dure de calcul de 10.000 h sau 100.000 h. Tendința actuală este ca această durată de calcul să fie extinsă la 200.000 h. Deoarece este necesar să se cunoască a priori caracteristicile de rezistență la fluaj ale produselor, încercările de foarte lungă durată nu sunt utile și nici economice, motiv pentru care sunt necesare metode de estimare a caracteristicilor de material pornind de la datele obținute la încercări de dure mai reduse. Au fost propuse mai multe metode de extrapolare ale datelor experimentale de fluaj care au la bază diferite ipoteze de lucru. În fig. 1.13 se prezintă principalele metode de extrapolare utilizate în prezent.

Una dintre primele metode utilizate a fost metoda de extrapolare directă, prin puncte. Coresponditor acestei metode, pentru o temperatură dată, sunt efectuate mai multe încercări pe probe provenite din șarje diferite. Rezultatele obținute se înscriu într-un sistem de coordonate $\log \bar{V}$ - $\log t$, trăsindu-se dreapta medie pentru ansamblul punctelor. Mai recent această dreaptă a fost trăsătă folosindu-se metode statistice (metoda celor mai mici pătrate). Obținerea de date prin această metodă necesită a se dispune de date experimentale la dure mari de exemplu minimum 10.000 h pentru extrapolarea la 100.000 h. Analiza efectuată asupra curbelor de fluaj $\log \bar{V}$ - $\log t$ a evidențiat că extrapolarea lineară în afara punctelor experimentale conduce la valori eronate [15, 36, 49, 50, 77, 84]. Au fost propuse de acemenea o serie de formule pentru calculul rezistenței la rupere prin fluaj în baza unor date

experimentale cu durata de încercare de maximum 1000 h [87] și a fost studiată dependența dintre viteza de fluaj, respectiv rezistența de durată, a unui metal și proprietățile lui fizice (rezistivitatea electrică și forța coercitivă) [115].

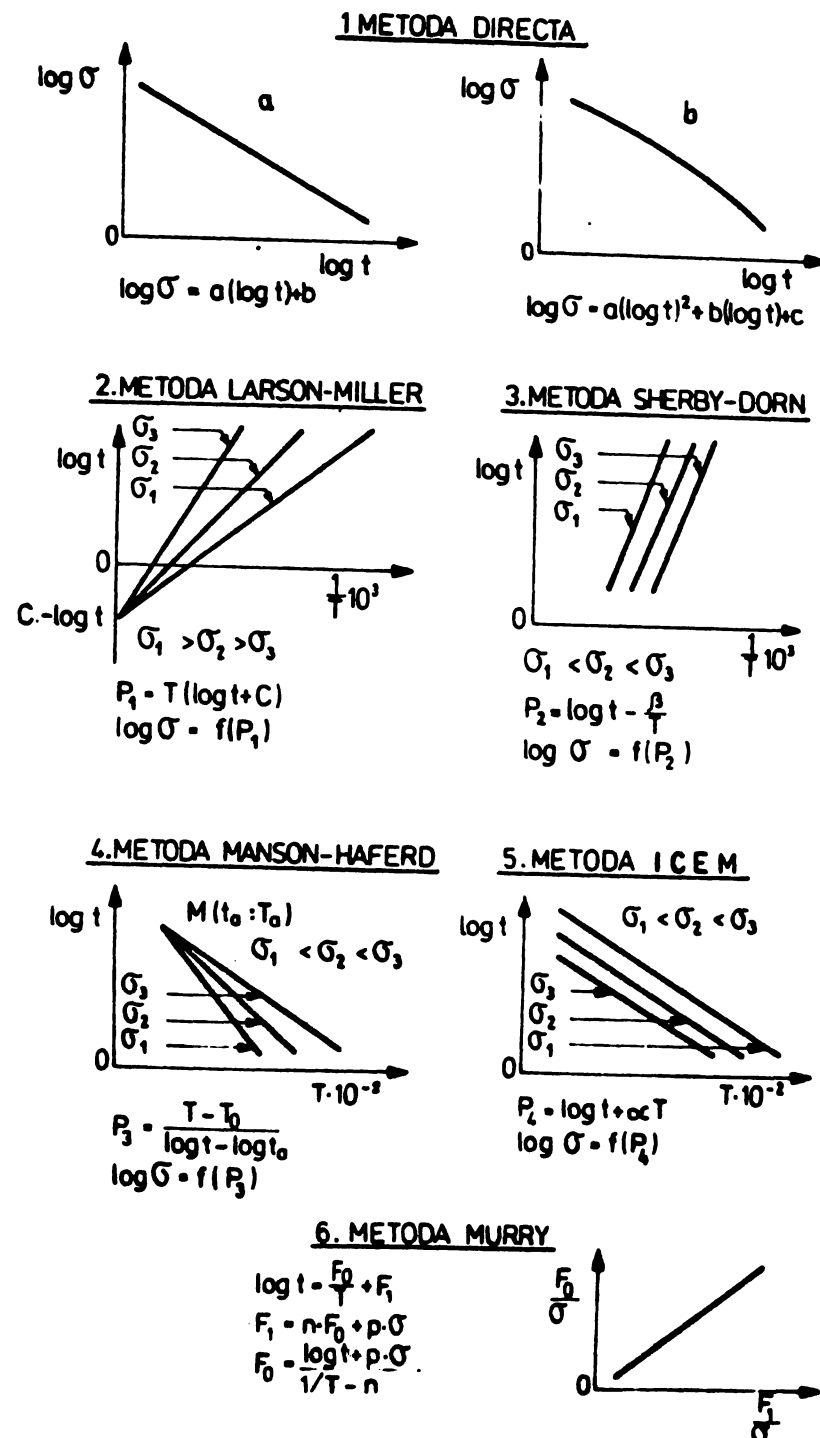


Fig. 1.13. Principalele metode de extrapolare a datelor experimentale de fluaj

O altă categorie importantă de metode de extrapolare a rezultatelor de fluaj o constituie metodele parametrice.

Metodele parametrice de extrapolare se bazează pe principiul că fenomenul de fluaj poate fi accelerat prin creșterea temperaturii de încercare. În toate cazurile se obține o corelație între tensiunea de încercare și o mărime numită "parametrul de extrapolare" care, la rîndul său este funcție de temperatură, timp și o constantă de material. Valoarea constantei de material, este dată fie de punctul de intersecție a fascicolului de drepte izobare (metodele 2 și 4 din fig.1.13), fie de panta comună a acestora (metodele 3 și 5 din fig.1.13). Metoda Murry (metoda 6 din fig. 1.13) constituie o generalizare a metodelor Larson-Miller și Scruby-Dorn. Murry ia în considerare ipoteza dependenței valorii constantei de extrapolare de tensiunea de încercare [84].

Prelucrarea datelor experimentale de fluaj prin oricare din metodele enumerate se poate face fie pe cale grafică fie, atunci cînd volumul de date este relativ mare, pe cale analitică.

1.5.2. Fluajul la stări complexe de tensiuni

Solicitările existente într-o serie de elemente care lucrează în condiții de fluaj, cum sunt conductele de legătură ale agregatelor termocinetice, corespund unor stări complexe de tensiuni. În aceste cazuri, calculul deformațiilor plastice și a vitezelor de fluaj se face pe baza relațiilor stabilită de teoria deformațiilor elasto-plastice mici, pornindu-se de la datele de fluaj obținute în încercările de întindere liniară uniformă. Corespondența acestei teorii, componentele deformațiilor și ale alunecărilor specifice sunt date de relațiile :

$$\left. \begin{aligned} \varepsilon_x &= \frac{3\cdot\varepsilon_{ech}}{2\sigma_{ech}}(\sigma_x - \sigma_0) + \varepsilon_\theta; \quad \gamma_{xy} = \frac{3\cdot\varepsilon_{ech}}{\sigma_{ech}}\gamma_{xy} \\ \varepsilon_y &= \frac{3\cdot\varepsilon_{ech}}{2\sigma_{ech}}(\sigma_y - \sigma_0) + \varepsilon_\theta; \quad \gamma_{yz} = \frac{3\cdot\varepsilon_{ech}}{\sigma_{ech}}\gamma_{yz} \\ \varepsilon_z &= \frac{3\cdot\varepsilon_{ech}}{2\sigma_{ech}}(\sigma_z - \sigma_0) + \varepsilon_\theta; \quad \gamma_{zx} = \frac{3\cdot\varepsilon_{ech}}{\sigma_{ech}}\gamma_{zx} \end{aligned} \right\} \quad (1.7)$$

Prin urmare, pornind de la datele obținute în încercările de fluaj la întindere lineară uniformă, care furnizează valori pentru ε_{ech} și σ_{ech} , precum și de la stările de tensiuni din piesa analizată, relațiile (1.7) permit calcularea componentelor deformațiilor și al une cărilor specifice care rezultă în condițiile de solicitare date.

Cu toate că problema are o mare importanță practică, nu există multe studii care să se refere la efectul tensiunilor multiaxiale asupra duratei de viață. Rezultatele încercărilor pe țevi presurizate și pe tuburi solicitate la tracțiune și la torsion, în cazul oțelurilor, arată că durata de viață depinde de tensiunea principală maximă. Este deci posibil de făcut o comparație în baza acestui criteriu cu durata de viață în tensiune uniaxială [36, 62].

CAPITOLUL II

ELEMENTE DE TEORIA FIABILITATII CU APLICATII IN PROIECTAREA STRUCTURILOR MECANICE

2.1. Probleme ale proiectării structurilor mecanice

Calculul de rezistență are în vedere dimenziunile elementelor componente ale unei structuri mecanice astfel ca, în timpul funcționării, acesta să nu prezinte deformații peste o anumită limită sau să apară fenomenul de rupere. Pentru dimensionarea sau verificarea elementelor respective se utilizează metoda clasică, aceea a rezistenței admisibile [5, 9]. Conform acestor metode de calcul, structura mecanică prezintă garanții în funcționare atât timp cât valoarea caracteristicii sale de rezistență este superioară sau cel mult egală cu rezistența admisibilă. Distanța valorică dintre cele două mărimi corespunde siguranței în funcționare a structurii mecanice, iar raportul dintre ele definește coeficientul de siguranță.

Dușă comportarea materialului la rupere [93], rezistența admisibilă este definită în mod diferit astfel :

- în cazul materialelor fragile, în funcție de caracteristica de rezistență la rupere ;
- în cazul materialelor tenace, în funcție de limita de curgere.

Necesitatea admiterii unui coeficient de siguranță supraventăro la bază o serie de constatări practice [5, 9, 64] dintre care, mai importante sunt următoarele :

- în calculul de rezistență se acceptă o serie de ipoteze simplificate ;

- regimul de solicitare aplicat variază în limite mult mai largi decât se admite în faza de proiectare ;
- caracteristicile de material ale grupurilor de elemente identice prezintă valori diferite ;
- influența factorului timp asupra caracteristicilor de material.

Stabilirea rezistenței admisibile sau a coeficien-
tului de siguranță este o problemă complexă, legiferată prin
standarde și are la bază o experiență îndelungată în exploata-
re. De exemplu, la dimensionarea țevilor de cazane și a con-
ductelor pentru transportul fluidului energetic, rezistența
admisibilă este dată de raportul dintre rezistență tehnică de
durată a otelului la temperatura și durată de calcul și un
coeficient de siguranță egal cu 1,5 [93]. În normele de mate-
rial pentru diverse nivale de temperatură sunt date valorile
medii ale rezistenței tehnice de durată \bar{U}_r/t pentru
10.000 h și 100.000 h, valori față de care sunt admise abateri
de $\pm 20\%$ [91, 104].

Rezultă că valoarea minimă admisă, conform normei
de material, pentru rezistență tehnică de durată este de
0,80 \bar{U}_r/t iar calculul de dimensionare a producției se fac
în baza unei valori egale cu 0,66 \bar{U}_r/t [96]. Este posibil ca
dimensionarea astfel efectuată să fie pentru unele cazuri prea
acoperitoare, iar pentru altele prea optimistă. De exemplu, în
termoenergetică sunt agregate la caro conductele pentru fluide
le energețice au dopășit cu 20-30% durata de calcul, și cazuri
în caro s-a pus problema înlocuirii prematură a acestora [2, 1-
27, 39, 100, 75, 113, 114]. De asemenea, se poate arăta că
analiza privind numărul de avarii produse la principalele echi-
pamente de la o serie de centrale termoelectrice a relevat că
peste 25% din numărul total de întreruperi în funcționare, s-a
datorat cubanelor tubulare (economizare, ecrane și tambur
supraîncălzitoare de abur) [35, 41, 89, 96].

Aspectele prezentate evidențiază faptul că, prin
modul de calcul descris mai sus, siguranța în funcționare a un-
element sau a unei structuri mecanice este reflectată de rezul-
tatul raportului dintre două mărimi constante și independente.

Erorile introduse prin această ipoteză simplificatoare pot face ca în multe cazuri rezultatele obținute prin calcul să se îndepărteze considerabil de condiția reală de solicitare. Într-adevăr, după cum se arată într-o serie de lucrări [1, 10, 14, 47, 54, 93, 103, 121], în majoritatea cazurilor solicitările au un caracter variabil în timp, uneori cu variații pronunțate, care nu pot fi descrise satisfăcător numai prin relații deterministe. În cazul solicitărilor mecanice sau termice, mai ales cînd intervine factorul timp (solicitări mecanice variabile, fluaj, coroziune), se constată o dispersie pronunțată a caracteristicilor de rezistență. Aceasta reflectă nu numai variabilitatea introdusă de tehnica experimentală ci, mai ales caracterul aleator al mecanismului de degradare în timp și de rușere a materialului. În plus, experiența a arătat că degradarea progresivă care conduce la rușere este într-o strînsă dependență de modul concret de variație în timp a solicitării [14].

Aceste constatări fac să apară clar interacțiunea complexă cu caracter aleatoriu care există între solicitare și rezistență de durată a materialului. În condițiile în care cele două mărimi nu sunt nici constante, nici independente, apar clar limitele conceptului determinist al coeficientului de siguranță. O descriere cantitativă obiectivă a fenomenului apare posibilă, asociind conceptul de probabilitate mărimilor care definesc atît solicitarea, cît și rezistența de durată a materialului [6, 14, 55, 67, 73, 89].

Utilizarea criteriilor de probabilitate la evaluarea siguranței în exploatare a elementelor unei structuri este un fapt obișnuit în industria electrică și o problemă în plină dezvoltare în domeniul structurilor aerospațiale. În altă sectoare, de exemplu cel al structurilor mecanice, se pot semnala numai tendințe de organizare a metodologiei de calcul, metodologia cunoscută sub numele de "fiabilitate mecanică" [14, 35, 85, 113].

Din acest punct de vedere trebuie evidențiat faptul că și în țara noastră au existat preocupări privind aplicarea conceptului de fiabilitate la evaluarea siguranței în funcționare a elementelor și structurilor [1, 14, 61, 63, 89, 93].

Singurul domeniu al rezistenței materialelor, în care pînă în prezent s-a introdus noțiunea de probabilitate la evaluarea caracteristicii de rezistență a materialelor, este cel al elementelor supuse în timp la solicitări variabile [14]. În lucrarea menționată sunt arătate criteriile probabiliste de degradare cumulativă a elementelor unei structuri supuse la solicitări variabile. Cunoscută fiind dispersia rezultatelor obținute la încercările de obiceală, se analizează factorii care determină variabilitatea rezultatelor experimentale și se discută legea de repartiție a rezistenței la obiceală pentru o durabilitate dată.

2.2. Elemente de teoria fiabilității

2.2.1. Conceptul de fiabilitate

Inceputul teoriei și practicii fiabilității datează din al cincilea deceniu al secolului nostru și se datoroază unor oameni de știință ca: A. Hincin, I. Bazovsky, W. Feller, W. Weibull, B. Gnedenko, J.M. Juran, I. von Neumann și alții. Cercetările făcute în vederea cristalizării unor metode științifice de apreciere și proverere a condițiilor de funcționare pentru dispozitivele din domeniul tehnicii militare, metode preluate și dezvoltate în cele mai diferite domenii ale tehnicii (electronică, echipamente aerospațiale, construcții, energetică, etc) au dus la definirea, în jurul anului 1950, a conceptului de fiabilitate.

Raportul AGREL^{x)}, care a pus bazele teoretice ale conceptului definiție fiabilitatea drept "probabilitatea ca un produs să îndeplinească fără întrerupere în funcționare, o funcție preoînă, în condiții date, pe o perioadă de timp specifică". Conceptul de fiabilitate permite stabilirea de criterii de siguranță, cercetarea legitimității dintre indicatorii

.//.

^{x)} Advisory Group for Reliability of Electronic Equipment
- "Reliability of Military Electronic Equipment" [47]

economiici ai investițiilor, indicatorii de eficiență și cei ai siguranței în funcționare, elaborarea de metode de efectuare a experimentelor precum și de prolucreare și evaluare a rezultatelor experimentale [1, 47, 78, 89, 93, 117].

In general, o structură poate fi împărțită pentru calculul fiabilității în orice număr, considerat necesar, de elemente componente. Fiabilitatea structurii este rezultanta fiabilității elementelor care o compun. Previziunca fiabilității unui element și, în final, a unei structuri, constituie un proces continuu, care începe în faza de alegere a soluției constructive și se continuă pe parcursul întregului proces de proiectare, de pregătire a fabricației și de execuție, precum și de desfășurare a activității de întreținere și reparări [28, 29, 81]. Corespunzător acestor etape deosebim :

- fiabilitatea preliminară sau provizională ;
- fiabilitatea experimentală ;
- fiabilitatea operațională sau efectivă la beneficiar ;
- fiabilitatea nominală sau prescrisă în specificații (standarde, norme interne, etc.).

Existența unei fiabilități insuficiente are implicații directe datorită faptului că elementele sau structura nu își îndeplinesc parțial sau total sarcinile, precum și indirekte legate de costul ridicat al consumului de muncă prestată pentru întreținerea lor și dificultățile legate de aprovizionarea și stocarea unui volum mare de piese de schimb. Teoria fiabilității, care s-a conturat ca un domeniu de sine stătător cu metode de calcul și soluții tehnico și economice proprii, astfel îmbinatoare să conducă la găsirea nivelului optim de siguranță, s-a impus ca o știință interdisciplinară. Utilizând în formularcea și exprimarea legilor căle elementele de calcul și probabilităților, teoria fiabilității permite ca în urma acumulării de informații, să se poată face prognoze asupra funcționării echipamentelor tehnice. Rezultatul că aplicarea în practică a conceptului de fiabilitate completează modul de gîndire tehnică în general și ingineresc în special.

2.2.2. Indicatori de fiabilitate

Evidențierea comportării în exploatare a elementelor sau a unei structuri se realizează în baza unor mărimi probabiliste, denumite indicatori de fiabilitate [29]. Acestea sunt :

- probabilitatea de funcționare fără defectare (fiabilitate) ;
- probabilitatea de defectare (defiabilitate) ;
- media timpului de bună funcționare.

Probabilitatea de funcționare fără defectare sau fiabilitatea unui element sau a unei structuri este dată de probabilitatea faptului că timpul de funcționare fără defectare (\bar{T}) este mai mare sau egal cu cel prescris (t) :

$$R(t) = \text{Prob}[\bar{T} \geq t] \quad (2.1)$$

De regulă se utilizează o mărime complementară a cesteia și anume probabilitatea de defectare numită de unii autori și defiabilitate [78, 105]. Aceasta exprimă probabilitatea de defectare a elementului sau structurii într-un timp mai mic decât cel prescris :

$$F(t) = \text{Prob}[\bar{T} < t] \quad (2.2)$$

și este echivalentă cu funcția de repartiții a populației statistic analizate [1, 81].

Variatăia celor doi indicatori de fiabilitate în funcție de timp este prezentată în fig. 2.1. Se constată că funcția $R(t)$ este monoton descrescătoare, iar funcția $F(t)$ este monoton crescătoare și variază astfel :

- pentru $t = 0 \quad R(0) = 1 \text{ și } F(0) = 0$
- pentru $t \rightarrow \infty \quad R(\infty) \rightarrow 0 \text{ și } F(\infty) \rightarrow 1$

Cel de al treilea indicator de fiabilitate, media timpului de bună funcționare (MTTF) este o mărime aleatoare care

arată durata medie de funcționare fără defectare a elementului sau structurii.

Indicatorii de fiabilitate sunt calculați în funcție de densitatea de probabilitate a variabilei alcătoare $f(t)$ sau intensitatea de defectare $Z(t)$ care, în unele cazuri, este considerat drept indicator de fiabilitate [24, 80, 83]. Astfel, cunoscând densitatea de probabilitate a variabilei alcătoare, valoarea probabilității de funcționare fără defectare (fiabilitatea), în intervalul de timp $(0, t)$ este dată de relația :

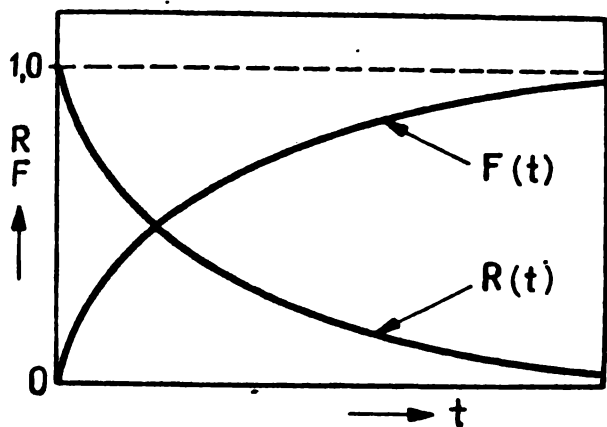


Fig. 2.1. Variația indicatorilor de fiabilitate cu durata de viață a structurii

iar probabilitatea de defectare în intervalul de timp $(0, t)$ este :

$$R(t) = 1 - \int_0^t f(t) \cdot dt \quad (2.3)$$

cunosind intensitatea de defectare, fiabilitatea în intervalul de timp $(t_0 ; t)$ este dată de relația :

$$F(t) = 1 - R(t) \quad (2.4)$$

Cunoscând intensitatea de defectare, fiabilitatea în intervalul de timp $(t_0 ; t)$ este dată de relația :

$$R(t_0; t) = \exp[-\int_{t_0}^t Z(t) \cdot dt] \quad (2.5)$$

Valoarea pentru medie timpului de bună funcționare a unui element sau structură este dată de relația :

$$\bar{T} = \int_0^\infty t \cdot f(t) \cdot dt \quad (2.6)$$

Se menționează faptul că în teoria fiabilității expresia $[f(t) \cdot dt]$ caracterizează probabilitatea de defectare în intervalul de timp $(t, t + dt)$ a unui element lăsat la

întâmplare dintr-o mulțime de elemente identice, iar expresia $[Z(t) \cdot dt]$ caracterizează probabilitatea de defectare în intervalul de timp $(t, t + dt)$ a elementului luat din mulțimea de elemente identice rămase în stare de funcțiune la momentul "t" [47, 103].

Funcția intensității de defectare sau funcția de rată condiționată de defectare este definită de raportul dintre numărul de elemente care s-au defectat în intervalul de timp Δt și numărul mediu de elemente care se află în funcțiune în acest interval [81]. Funcția de variație în timp a intensității de defectare are o formă caracteristică și este cunoscută sub denumirea "curba căzii de baie". În fig. 2.2 se

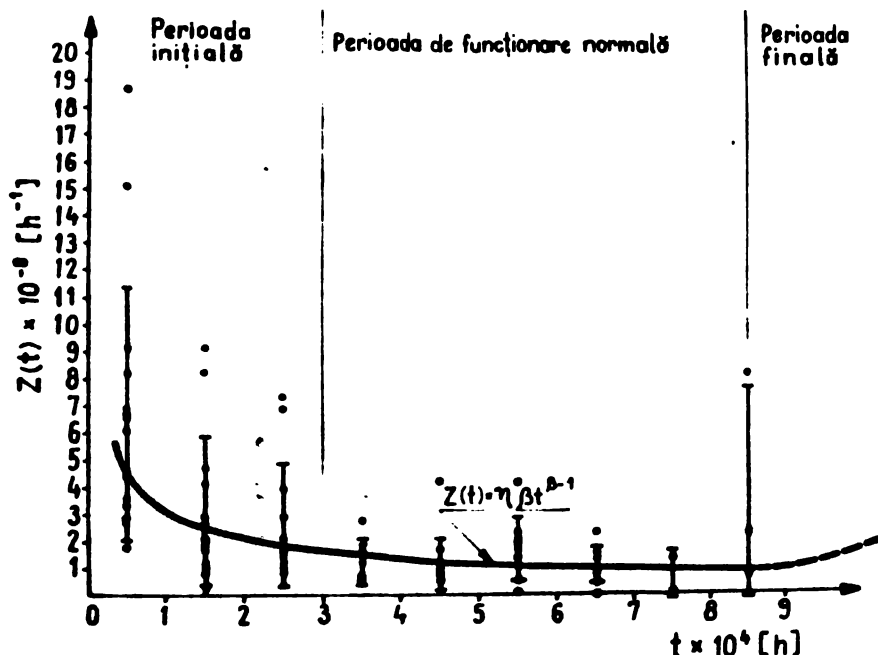


Fig. 2.2. Variația intensității de defectare cu timpul pentru tamburii cazanelor de aburi [80]

rezintă curba de defectare a tamburilor de la cazanile de aburi din R.F.G. [80]. Sunt evidente trei perioade specifice care diferă între ele prin frecvența de defecție și cauzele de apariție a defecțiilor și anume :

- prima perioadă este perioada inițială de funcționare, caracterizată prin intensități mari de defectare. Această perioadă trăiește și corespunde pe-

riodei de probe tehnologice ale structurii ;

- a doua perioadă este de funcționare normală, timp în care intensitatea de defectare este scăzută și practic constantă. Defecțiunile ce intervin în acestă perioadă au caracter accidental ;
- a treia perioadă este perioada finală de funcționare. Intensitatea de defectare crește puternic și explotarea în continuare a elementelor devine neratională.

Exprimarea cantitativă a indicatorilor de fiabilitate poate fi făcută în unități de probabilitate, de intensitate sau rată de defectare și de timp [47].

2.2.3. Previziunca fiabilității în baza legilor de repartitie

Indicatorii de fiabilitate ai elementelor sau structurilor se determină în baza datelor (informațiilor) experimentale. Teoria statistică a fiabilității reprezintă ansamblul activităților de culegere, organizare, analiză, prezentare și interpretare a datelor sau informațiilor. Statistica contribuie la analiza concretă a datelor și la obținerea concluziilor, ținând seama de existența variației.

În fază de proiectare, atunci când se calculează fiabilitatea provizională a elementelor sau structurii, repartițile existente în realitate se aproximiază printr-o anumită formă teoretică a caracteristicilor de fiabilitate poate fi utilizată orice repartiție din teoria probabilităților. Experiența a demonstrat că în general indicatorii de fiabilitate urmează una din următoarele repartiții : normală, exponențială sau eibull [81]. În anexa 1 se dau parametrii statistici care definesc aceste repartiții continue și relațiile de calcul ale indicatorilor de fiabilitate.

Atât teoria, cât și practica, au stabilit că pentru

perioada finală sau de uzură se poate utiliza, pentru caracterizarea fiabilității, legea normală. Repartizarea timpilor de defectare în jurul unei valori mediane se datorează multitudinii influențelor exterioare, a condițiilor de producție variabile, a condițiilor difcite în care sunt exploatați elementele accluași lot.

O repartiție normală a caracteristicilor de fiabilitate se constată la elementele relativ simple cu caracteristici de distrugere omogene. Contrairement pînării răspîndite, în cazul defecțiunilor, datorită scăderii proprietăților fizico-mecanice ale materialelor sub acțiunea factorului timp, repartiția nu este normală. Există totuși tendință ca să fie folosită legea de repartiție normală. Pentru aceasta, în locul timpului "t" se aleg ca variabile alte mărimi, ca de exemplu $\log t$, t^2 , $1/t$, pentru care cîrul respectiv de date se înscrie cu aproximativ într-o legătură distribuție normală.

Legea de repartiție exponențială se utilizează frecvent în calculul indicatorilor de fiabilitate și are la bază ipoteza că intensitatea de defectare este constantă în timp. Este necesar să se facă mențiunea că această ipoteză este similară cu presupunerea invariabilității în timp a proprietăților fizico-mecanice ale materialelor.

In multe situații, repartiția defectelor nu poate fi caracterizată prin legile de repartiție normală sau exponențială, doarce că sunt rezultatul unor repartiții de anumite, corespunzătoare faptului că unele elemente se pot găsi în uzuri, în timp ce altăcă nu și-au început încă viața utilă. În aceste cazuri se recomandă utilizarea repartiției propuse de Gullodi și cîbili [95].

Datorită faptului că asigură o bună concordanță cu datele experimentale, domeniul de aplicare a repartiției Weibull în teoria fiabilității este vast. Acst domeniu cuprinde procese de fabricație, de măsură fizică, de natură aleatorică, etc [1, 14, 64]. Așa de exemplu, în situația în care un element sau o structură la începutul duratei sale de viață pune în evidență defecte ascunse, iar apoi un timp întins nu se manifestă fenomene care să-i modifice calitatea, probabilitatea cîrurilor la început este foarte ridicată, după care se stabilizează în

jurul unui nivel relativ constant. În acest caz funcția de fiabilitate se aproximează bine prin legea Weibull având parametrul $\beta \leq 1$. Dacă elementele observate se caracterizează prin absența defectelor ascunse, însă manifestă cu pregnanță, pe măsură scurgerii timpului, fenomen care modifică caracteristicile inițiale de exemplu ca urmare a efectului solicitărilor variabile [14], intensitatea de defectare crește monoton, iar funcția de fiabilitate se aproximează cu legoa Weibull cu parametrul $\beta > 1$.

Determinarea parametrilor repartiției Weibull se poate face fie analitic, fie pe cale grafică, cu ajutorul diagramei Allan-Plait reprezentată schematic în fig. 2.3 [78].

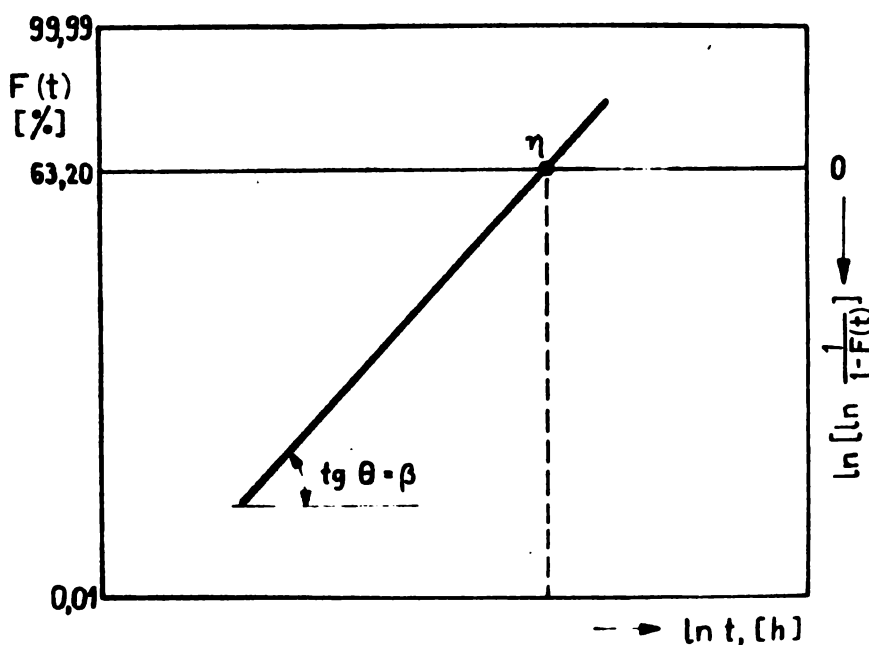


Fig. 2.3. Diagrama Allan-Plait pentru determinarea pe cale grafică a parametrilor repartiției Weibull [78]

Diagrama este construită în coordinate, probabilitate de defectare - logaritmul timpului de funcționare pînă la defectare, stabilită în buze relative (v. anexa 1) :

$$\ln \left[\ln \frac{1}{1-F(t)} \right] = \beta \cdot \ln t - \beta \cdot \ln \eta \quad (2.7)$$

care evidențiază o variație lineară între cele două mărimi.

2.3. Criteriile fundamentale ale proiectării elementelor și structurilor în baza teoricii fiabilității

2.3.1. Conceptul de variație

Așa cum s-a arătat, teoria fiabilității are ca principal obiectiv, precizarea comportării în exploatare a unei structuri în funcție de condițiile de solicitare, elementele ei geometrice și proprietățile fizico-mecanice ale materialelor utilizate, definite statistic prin funcții de repartizii.

Într-un studiu relațiilor de legătură între dimensiunile geometrice ale structurii, proprietățile fizico-mecanice ale materialului și sarcinile aleatorii aplicate structurii se admit următoarele ipoteze de calcul [14, 56, 71] :

- fiecare element al structurii face parte dintr-o populație statistică ;
- proprietățile fizico-mecanice ale materialului fiecărui element sunt omogene și statistic independente ;
- caracterul aleator al dimensiunilor geometrice ale elementelor se neglijază.

La definirea legilor de variație a proprietăților fizico-mecanice ale materialelor, precum și a sarcinilor aplicate elementelor structurii, trebuie să se aibă în vedere faptul că acestea prezintă variații în funcție de factorul timp [14, 94, 100]. Deci rezolvarea problemei impune descrierea integrală a proceselor statistice care definesc variația în timp a mărimilor respective.

2.3.2. Criterii de dimensionare

Coefficientul de siguranță clasic utilizat la dimen-

sionarca unui element mărimi care după cum s-a arătat este stabilită la proiectare în mod arbitrar, pe bază de experiență, este substituită în teoria fiabilității de două mărimi și anume [14, 65] :

- valoarea cantitativă a fiabilității elementului sau structurii, sau indicatorul complementar acestuia (valoarea probabilității de defectare) ;
- factorul de sarcină notat cu Y a cărui valoare este dată de raportul dintre caracteristica de material și sarcina aplicată, definite prin funcții de repartiție.

Valoarea cantitativă a fiabilității se determină prin compararea legilor de repartitație ale caracteristicii de material și ale sarcinii aplicate. Calculul analitic al funcțiilor de probabilitate de defectare este dificil. În majoritatea cazurilor s-a dovedit eficientă utilizarea metodelor grafice de reprezentare a datelor experimentale [88].

Dacă caracteristica de material, respectiv sarcina aplicată, sunt două mărimi care admit un anumit tip de repartitație, de exemplu repartitia Weibull, atunci raportul lor, denumit în teoria fiabilității factor de sarcină, admite de asemenea o repartitație Weibull [2]. Pentru condiții date factorul de sarcină și probabilitatea de defectare sunt direct legate și este posibil să se stabilească o relație între cele două funcții. Astfel, în fig. 2.4 se prezintă, după [65], curba tipică de variație a probabilității în funcție de factorul de sarcină. Se observă că probabilitatea de defectare crește pe măsură ce valoarea factorului de sarcină scade, tinzând către o valoare egală cu unitatea atunci cind sarcina este egală cu rezistența materialului.

2.4. Proiectarea structurilor mecanice în baza concentrului de fiabilitate

În cursul procesului de concepție - proiectare a unei structuri se disting trei etape principale ale calculului

de fiabilitate [47, 78] și anume :

- calculul fiabilității preliminare ;
- elaborarea programului de testare (încercare) ;
- alcătuirea schemei logice de funcționare a structurii.

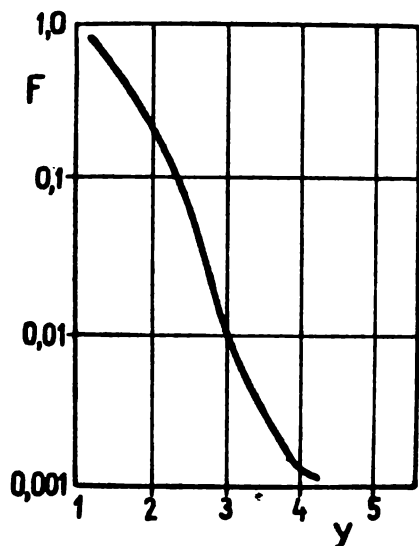


Fig.2.4. Correlația dintre indicatorul de fiabilitate al structurii și factorul de sarcină [65]

De regulă o structură destinată unei anumite funcții practice poate fi realizată în două sau mai multe variante constructive. Alegera variantei optime se face prin comparație, din punct de vedere al performanțelor tehnice și economice, deci implicit și din punct de vedere al fiabilității, a diferitelor variante posibile.

In general, în această etapă de calcul, nu există suficiente informații cu privire la condițiile reale de funcționare ale elementelor în viitoarea structură. Determinarea fiabilității preliminare se face în ipoteză simplificatoare a existenței unei intensități de defectare a elementelor constante

$$Z(t) = \lambda = \text{constant} \quad (2.8)$$

astfel că, pentru structură, valoarea intensității de defectare este dată de relația :

$$\lambda = \sum_{l=1}^d n_l \cdot \lambda_l \quad (2.9)$$

unde : d = numărul de tipuri de elemente ;
 n_L = numărul de elemente de tip "L" ;
 λ_L = intensitatea de defectare a elementelor de tip "L".

Se calculează valoarea fiabilității fiecărei variante constructive, valorile obținute comparindu-se între ele. Se recomandă calcularea unui λ_{\min} și λ_{\max} pentru fiecare variantă constructivă a structurii.

2.4.2. Elaborarea programului de testare

Programul de testare a fiabilității constă din totalitatea încercărilor efectuate pentru verificarea structurii având în vederea condițiile de funcționare, de mediu și de timp [1, 5]. Programul de testare trebuie să stabilească numărul de elemente ce urmează a fi încercate, durata încercărilor și numărul admis de defectări. În vederea reducerii duratăi de testare se pot aplica două procedee :

- punerea simultană în funcțiune a unui număr mai mare de elemente pe o perioadă redusă de timp ;
- accelerarea testării prin încarcarea elementelor în condiții mai severe decât cele normale de funcționare pentru a le face să se defecteze mai devreme. Pentru transformarea duratelor astfel obținute în durata de viață a elementelor, se utilizează un coeficient de corecție [47, 78].

Realizarea unui program de testare optim implică abordarea problemei din punct de vedere statistic și în acest scop se efectuează analiza datelor furnizate de fiecare echantion de elemente și se ține seama de variația care poate să apară la eșantionare [40]. Cdată efectuat programul de testare, se trece la recalcularea fiabilității structurii, construindu-se curbele intensității de defectare în funcție de parametrii reali ai regimului de funcționare. Atunci cînd indicatorul

de fiabilitate are în vedere o proprietate fizico-mecanică a materialului, se recomandă prelucrarea informațiilor în baza legii de distribuție Weibull [14, 78, 88, 103].

2.4.3. Schema logică de funcționare a structurii

Elementele unei structuri pot fi dispuse în două moduri :

- în serie, caz în care defectarea unui element determină defectarea întregii structuri ;
- în paralel (redondante), caz în care există două sau mai multe elemente oricără din ele fiind în măsură să îndeplinească sarcina, în cazul defectării celoralte. Elementele redondante pot să funcționeze concomitent în totalitate sau numai o parte din ele, celelalte fiind în aşteptare.

In funcție de tipul de legătură și de valoarea fiabilității R_i a fiecărui element, fiabilitatea structurii alcătuită din "n" elemente se calculează astfel :

- pentru elemente dispuse în serie :

$$R = \prod_{i=1}^n R_i \quad (2.10)$$

- pentru elemente redondante :

$$R = 1 - (1 - R_i)^n \quad (2.11)$$

In mod normal, schema logică de funcționare a unei structuri se alcătuiește astfel încât defectarea unui element să nu conduci la încetarea din funcționare a întregii structuri. Calculul fiabilității structurii poate indica că se încalcă prin realizarea unui program experimental de verificare a modelor de defectare admise prin ipotezele de calcul.

CAPITOLUL III

PROPUNEREA UNUI NOU CRITERIU DE EVALUARE A REZISTENȚEI LA RUPERE PRIN FLUAJ BAZAT PE CONCEPUTUL DE FIABILITATE

1.3. Consideratii privind interpretarea datelor experimentale de fluaj prin metodele para- metrice de extrapolare existente

Metodologia de calcul a caracteristicilor de fluaj ale oțelurilor are în vedere faptul că încercările cu durată foarte mare (cca 100.000 h) nu sunt justificate economic, precum și faptul că volumul de probă și numărul de loturi încercate este limitat. În baza conceptului că fluajul este un fenomen activat termic, s-au preconizat metode de extrapolare ale acestor caracteristici în baza unui volum relativ redus de probe cu durată de încercare limitată. De regulă, aceste metode stabilesc o corelație exponențială între tensiunea de încercare și un parametru de extrapolare care, la rândul său, se calculează în funcție de valoarea temperaturii, a duratăi de rupere și o mărimi caracteristică pentru materialul analizat, numită constantă de extrapolare.

În prezent nu se dispune de o metodă de extrapolare unanim acceptată. Într-o serie de lucrări [16, 32, 50, 77] se arată că mecanismele de degradare în timp a proprietăților de rezistență la fluaj ale oțelurilor nu sunt cunoscute în totalitate, ceea ce facilitează evaluarea cronată a acestora prin extrapolare la durată mare. Acest lucru este confirmat și de faptul că pe măsură ce s-a obținut un volum mai mare de date experimentale, valorile caracteristicilor de fluaj ale oțelurilor termoresistente prevăzute în normele de material au fost modificate, situație întâlnită în cazul normei DIN 17.175 ediția 1959.

și respectiv ediția 1969 sau STAS 8184 ediția 1968 și respectiv 1977.

Pentru măsura creșterii volumului de date experimentale, s-a trecut la prelucrarea acestora prin metode statisticomatematice [12, 21, 32, 33, 100]. Astfel, în lucrarea [32] este prezentat un program extensiv de încercări la fluaj efectuat în R.S.C. în colaborare cu specialiștii din R.F.G., pe baza căruia s-au determinat statistic caracteristicile de fluaj ale oțelului cu 0,50% Cr, 0,50% Mo și 0,25% V. Au fost efectuate probe din 23 cărje însumând o durată totală de încercare de $2,5 \cdot 10^6$ h. Caubo și Methomed [12], au analizat comparativ metodele de extrapolare prin aplicarea lor la prelucrarea unui volum mare de date experimentale și au determinat prin metode statistice constantele de extrapolare pentru mai multe mărci de oțel. În lucrare se arată că metoda de extrapolare adocvată unei mărci de oțel este determinată de tendința de convergență sau paralelism, a fascicoului de drepte izobare, definite statistic, în sistemul de axe de coordonate proprii fiecărei metode de extrapolare (v. fig. 1.13).

Folosind datele de fluaj al oțelurilor pentru temperaturi ridicate de fabricație românească, cumulate pe parcursul a poste $3 \cdot 10^6$ ore de experimentări, autorul a elaborat un program de calcul al rezistenței tehnice de durată [74, 76]. Bazat pe metoda de prelucrare propusă de Manson și Haferd, modelul de calcul propus are următoarea schemă logică (fig. 3.1)

- calculul valorii medii și a dispersiei pentru duretele pînă la rupere prin fluaj pentru fiecare condiție de încercare ;
- definirea sistemului de ecuații liniare.

$$\begin{bmatrix} a_{\tilde{V}_1} - 1 \\ a_{\tilde{V}_2} - 1 \\ \vdots \\ a_{\tilde{V}_n} - 1 \end{bmatrix} \times \begin{bmatrix} \log t \\ T \end{bmatrix} = \begin{bmatrix} -b_{\tilde{V}_1} \\ -b_{\tilde{V}_2} \\ \vdots \\ -b_{\tilde{V}_n} \end{bmatrix} \quad (3.1)$$

unde : a_{G_i} și b_{G_i} sunt coeficienții dreptei de regresie

$$\hat{T} = a_{G_i} \cdot \log t + b_{G_i} \quad (3.2)$$

la tensiunea de încercare \tilde{U}_i ($i = 1, 2, \dots, n$) = constantă;

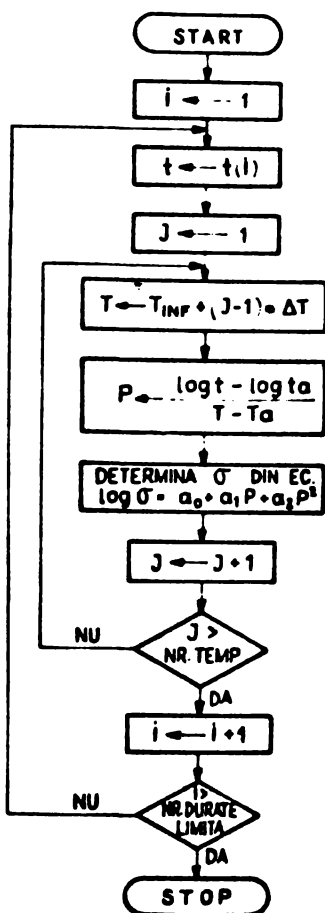


Fig. 3.1. Schema logică de calcul a caracteristicilor de fluaj în baza metodei Manson - Haford

tiv 100.000 h din 10 în 10°C în domeniul de temperaturi recomandat pentru obiectul analizat.

Analiza modului de lucru în cazul tuturor metodelor de extrapolare prezentate (v. cap. 1.5.1) arată că, în general, determinarea caracteristicilor de fluaj cuprind două etape principale și anume :

- determinarea constantei de extrapolare ;

- calculul valorii coordonatelor punctului de concurență al familiei de dropte izobare definite de sistemul de ecuații (3.1) ;

- calculul parametrului de extrapolare :

$$P = \frac{\log t - \log t_a}{T - T_a} \quad (3.3)$$

dintru fiecare din condițiile de încercare (tensiune - temperatură) ;

- determinarea relației analitice între logarithmul tensiunii de încercare și parametrul de extrapolare ;

- calculul valorilor pentru tensiunea care produce rușine la durata de 10.000 h și respec-

- stabilitarea corelației între logaritmul tensiunii de încercare și valorile parametrului de extrapolare.

Experiența acumulată în prelucrarea și interpretarea rezultatelor de fluaj au evidențiat o serie de particularități și limite în aplicarea acestor metode.

In prima etapă a calculului se determină valoarea constantei de extrapolare care, de regulă, se consideră drept valoare unică pentru fiecare marcă de oțel. In realitate aceasta nu se confirmă deoarece, pe de o parte, punctele experimentale determinate de valorile duratelor pînă la rupere prin fluaj obținute la aceeași tensiune de încercare nu se dispun după o dreaptă, izobarele obținute fiind definite că drepte de regresie ale punctelor experimentale iar, pe de altă parte, dreptele obținute nu au un punct de convergență unic sau, după cauză, o pantă unică. Valorile obținute efectiv pot varia în limite destul de largi, motiv pentru care, pentru o marcă de oțel se calculează o valoare medie a constantei de extrapolare. De exemplu în lucrarea [37], se arată că la prelucrarea prin metoda parametrică Larson-Miller s-au obținut pentru constanta de extrapolare a oțelului cercetat valori cuprinse între 26,0 și 39,6, adoptîndu-se în final o valoare de 29,0.

Această constatare este confirmată și de lucrarea [36] în care se prezintă cercetările efectuate în S.U.A. cu privire la metodele de extrapolare cunoscute în vederea adoptării unei metode parametrice care să se poată aplica la prelucrarea datelor de fluaj a tuturor mărcilor de oțel termorezistent cunoscute. Prelucrarea în paralel, analitic și grafic a accluiat și sot de date experimentale de fluaj a pus în evidență existența unor variații mari ale valorilor pentru constantele de extrapolare în cazul tuturor metodelor parametrice analizate.

In a două etapă a calculului se determină corelația dintre tensiunea de încercare și valorile calculate ale parametrului de extrapolare. Se constată că variația parametrului de extrapolare cu tensiunea de încercare nu corespunde unei funcții simple. S-a propus aproximarea sa prin polinoame de ordinul I, II și III [36, 50, 68, 77, 104]. Acest fapt influențează procedura în calculul caracteristicilor de fluaj. Ca urmare

ă acestor erori, există opinia că rezultatele obținute prin prelucrare sunt funcție de metoda de extrapolare utilizată. Astfel, în fig. 3.2 [63], se prezintă rezultatele prelucrării

prin metodele parametrice de extrapolare prezентate în fig. 1.13 a unui set de date experimentale de fluaj, obținute pe probe din oțel carbon cu 0,20% C. Se menționează faptul că datele experimentale, care au fost prelucrate după [25], au cuprins valori efective de rupere prin fluaj între $1 \cdot 10^2$ h și $9 \cdot 10^4$ h. Se confirmă faptul că valorile pentru rezistență de durată diforă cu metoda de extrapolare utilizată, diferențele fiind mai mari la durată și respectiv la temperaturi mai ridicate. De asemenea, se semnalază faptul că prin modul de calcul descris se calcuză numai valorile

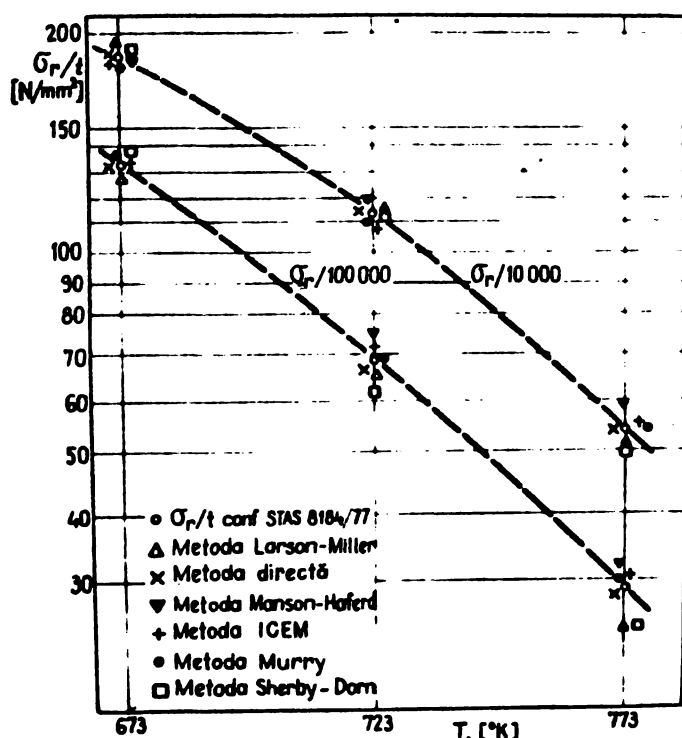


Fig. 3.2. Valorile caracteristicilor de rezistență la fluaj ale oțelului carbon cu 0,20% C, calculate prin metodele parametrice prezентate în fig. 1.13 [63]

modii că caracteristicile de fluaj, admisindu-se în mod convențional abateri limită ale valorilor efective de ±20%.

Observațiile de mai sus evidențiază cărențele actualelor metode de prelucrare a rezultatelor încercărilor de fluaj. În special rezultă că funcțiile determinate prin diferite metode de extrapolare nu sunt în misură să cuprindă complexitatea fenomenelor structurale care afectează comportarea de durată a materialelor la temperaturi și temperaturi ridicate.

3.2. Caracterul alcator al ruperii prin fluaj la produscle din oteluri pentru temperaturi ridicate

Este cunoscut faptul că, în condiții de fluaj, proprietățile produselor din oțel prezintă modificări, degradarea acestora fiind cu atât mai pronunțată cu cât tensiunea, temperatura și durata de solicitare sunt mai mari. În multe cazuri, evidențierea tensiunilor care se dezvoltă în timpul explotării în elementele unei structuri mecanice este dificilă. Astfel, în centralile termoelectrice de exemplu, produsle din oțel sunt supuse la tensiuni mecanice sub efectul presiunii fluidului energetic, la tensiuni termice cu caracter static generate prin împiedicarea dilatării libere a elementelor și tensiuni termice cu caracter dinamic generate, în timpul perioadelor tranzitorii de funcționare, de către diferența de temperatură pe grosimea produsului [18, 23, 96, 122].

Efectul solicitărilor menționate se amplifică în cazul în care, datorită unei explotări noroioane, frecvența opririlor și respectiv a pornirilor agregatului este mare. Astfel, în baza statisticilor VdTUV în fig. 3.3 [4, 92], se

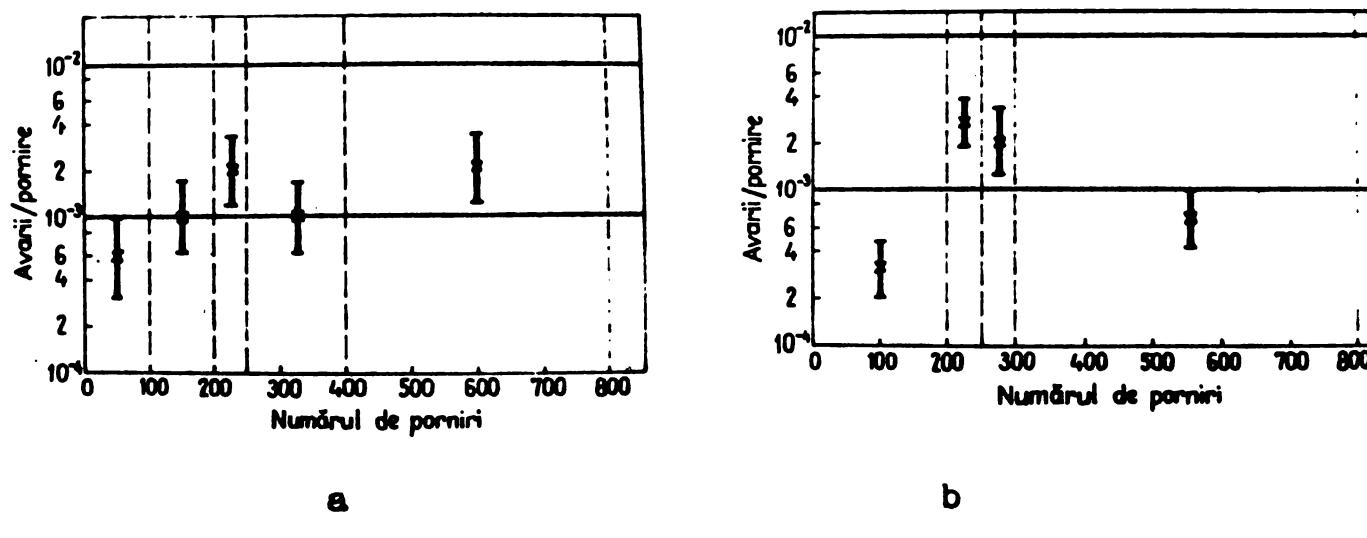


FIG. 3.3. Dependența ratei de avarie de numărul de porniri pentru elementele de legătură din circuitul de abur supraîncălzit [4; 92] :

- a - conducte primare
- b - conducte secundare

evidențiază dependența ratei avariilor la elementele de legătură din circuitul de abur supraîncălzit față de numărul de porniri a blocurilor termoenergetice (fig. 3.3 a conducte primare și fig. 3.3 b conducte secundare). Se constată o tendință de creștere a ratei avariilor cu numărul de cicluri pornire-oprire a aggregatului.

Datele prezentate confirmă faptul că în timpul utilizărilor la tensiuni și temperaturi ridicate, se înregistrează variații continue, atât a caracteristicilor de material, cât și a factorilor de solicitare. Ca o consecință a acestui fapt, durata de viață a produselor și respectiv, apariția ruperii prin fluaj, reprezintă fenomene aleatorii. Caracterul aleatoriu al ruperii prin fluaj este pus în evidență și de rezultatele experimentale care se obțin la încercările de fluaj pe probe dintr-o aceeași marcă de oțel [11, 12, 14, 50, 68]. Astfel, în fig. 3.4 se prezintă, după [68], duratele pînă la rupere prin

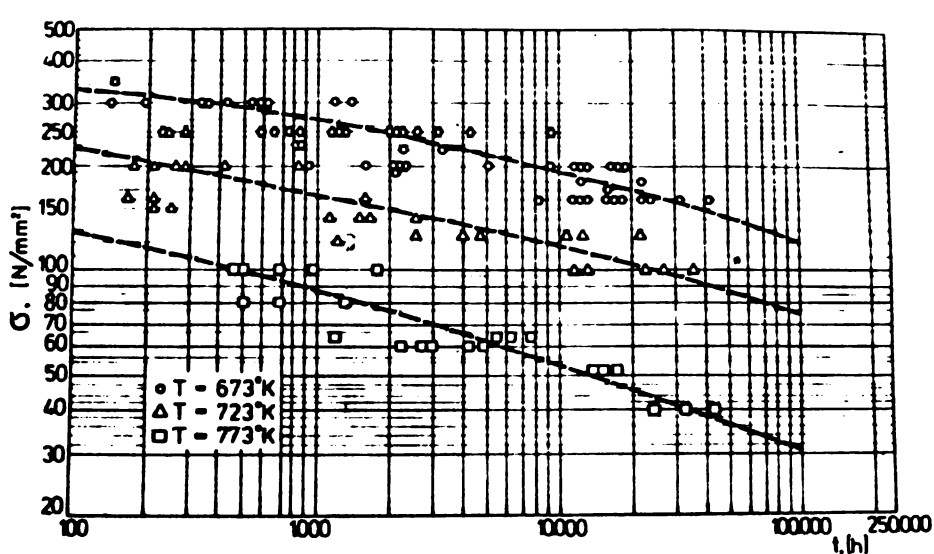


Fig. 3.4. Rezultatele încercărilor la fluaj efectuate pe probe dintr-un oțel carbon cu 0,20% C [68]

fluaj obținute la trei nivele de temperatură, pentru un oțel carbon cu 0,20% C. Întrucătăcările de timp au fost traseate curburile medii de regresie ale varianțelor durătoare pînă la rupere

ă cpruvotelor cu tensiunca de încercare. De asemenea s-a efectuat o analiză a repartiției duratelor de rupere pentru fiecare temperatură și tensiune de încercare. De exemplu, în fig. 3.5, se prezintă parametrii statistici ai repartiției duratelor de rupere prin fluaj ale lotului de probe din oțel carbon cu 0,20% C, încercate la fluaj la temperatură de 673°K și tensiunea de 160 N/mm^2 .

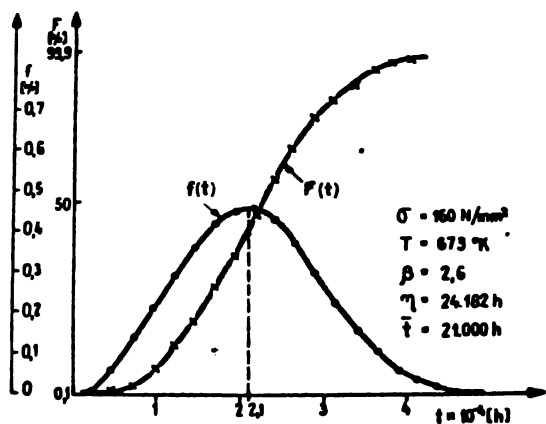


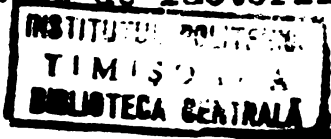
Fig. 3.5. Parametrii statistici ai repartiției duratelor de rupere prin fluaj la temperatură de 673°K și tensiunea de 160 N/mm^2 , pentru oțelul carbon cu 0,20% C

valoarea medie și minimă a variabilei.

Din cele arătate se constată că ruperea prin fluaj a elementelor unui lot de produse are un caracter aleatoriu și este funcție de condițiile de solicitare (tensiune, temperatură). Rezultă că și caracteristica de material pe care o definește, respectiv rezistența tehnică de durată, este o mărimă aleatorie care nu trebuie asociată unui singur produs, ci reprezintă valoarea probabilă pentru multimea de produse realizate dintr-o mară de oțel.

3.3. Pronunțarea unui nou criteriu de evaluare a rezistenței la rupere prin fluaj

Asemănător altor caracteristici mecanice, rezistența în condiții de fluaj a oțelurilor depinde atât de factorii do-



material, cît și de factorii de solicitare, care sunt aleatori. Luarea în considerație numai a valorilor medii ale acestora, cum se procedează în conformitate cu metodologiile actuale de calcul la fluaj, nu permite rezolvarea la nivelul dorit a problemelor de interpretare a rezultatelor experimentale și de valORIZARE a acestor produse în corelație cu specificul condițiilor de exploatare.

Autorul consideră că pentru înălțurarea carențelor menționate este necesar să se definască o nouă metodă de prelucrare și de interpretare a rezultatelor încercărilor de fluaj ale oțelurilor, care să permită o evaluare a acestora în baza criteriilor de probabilitate. O descriere obiectivă este posibilă numai în cazul asocierii unui indicator de fiabilitate mărimii cantitative care definește proprietățile de rezistență la fluaj ale oțelului [2, 22, 54, 61, 65, 69, 76].

In paragraful precedent s-a arătat că pentru fiecare condiție de încercare se pot defini parametrii statistici ai repartiției duratăi pînă la rupore prin fluaj. Dintre aceștia autorul consideră că funcția de repartitie a defectelor sau funcția echivalentă acosteia - funcția de probabilitate a apariției ruperii prin fluaj (defiabilitatea) - reprezintă indicatorul de fiabilitate cel mai indicat a fi asociat mărimii cantitative care precizează rezistența la rupore prin fluaj a produselor din oțeluri pentru temperaturi ridicate.

Pentru precizarea celor următoare mai sus, în fig.3.6 s-a reprezentat într-un sistem de axe de coordonate densitate de repartitie - tensiune - timp variația frecvenței de rupere prin fluaj $f(t_i)$ în funcție de tensiunea de încercare σ_i și de durată de încercare t_i . Pentru fiecare din condițiile de încercare s-a reprezentat prin curbe B_i domeniul de variație al densității de repartitie. Sirul de valori discrete ale duratălor medii de încercare definește în planul $(\log \sigma - \log t)$ curba A . Această curbă reprezintă variația timpului mediu de rupore prin fluaj cu tensiunea de încercare la un anumit nivel de temperatură și are forma :

$$\log \sigma = a_0 + a_1 (\log t) + a_2 (\log t)^2 \quad (3.4)$$

Prin extrapolare sau interpolare, se poate determina tensiunea medie care produce ruperea prin fluaj a produse-

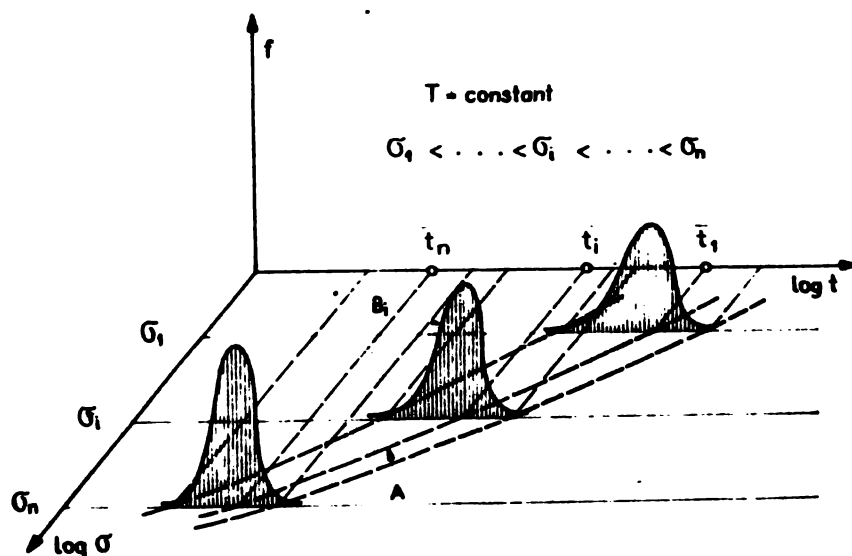


Fig. 3.6. Variația densității de repartiție a duratălor de rupere prin fluaj cu tensiunea de încercare

lor din oțoluri pentru temperaturi ridicate la o durată precizată, adică valoarea de normă pentru rezistență tehnică de durată a materialului.

Dacă în locul sistemului de axe de coordonate considerat se folosește funcția de repartiție a duratălor pînă la rupere prin fluaj $F(t_i)$ (fig. 3.7), sistemul de axe, funcție de repartiție - tensiune - timp, conform fig. 3.7, se obține pentru fiecare tensiune de încercare σ_i o curbă, notată cu

C_i care arată variația probabilității de apariție a rupelei prin fluaj cu durată. În figura 3.7, curbelor corespunzătoare unui șir de valori discrete ale tensiunii de încercare $\sigma_1 < \dots < \sigma_i < \dots < \sigma_n$ reprozintă o suprafață continuă, notată în fig. 3.7 cu "D" ale cărei ordonate în raport cu planul ($\log \sigma - \log t$) sunt proporționale cu probabilitatea de apariție a rupelei prin fluaj sub o tensiune de încercare și o durată de utilizare dată.

Indicatorul de fiabilitate propus - probabilitatea de apariție a ruperii prin fluaj - definește comportarea produselor din oțeluri termorezistente în condiții de exploatare

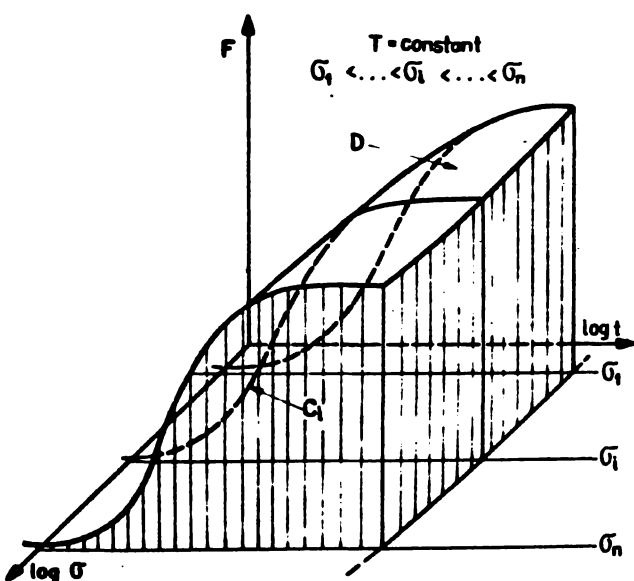


Fig. 3.7. Variația funcției de repartiție a duratelor de rupere prin fluaj cu tensiunea de încercare

date (tensiuni, temperatură și durată de utilizare) și constituie o mărimă fundamentală de calcul în faza de proiectare. Astfel, modul de evaluare a rezistenței la rupere prin fluaj conduce la o concepție nouă privind analiza în faza de proiectare, a siguranței unei construcții mecanico solicitate la tensiuni și temperaturi ridicate. Astfel, se știe că, ruperea unui element de construcție apare atunci cînd valoarea caracteristicii cală de rezistență este egală sau mai mică decît tensiunea aplicată. Conform teoriei fiabilității, atât rezistența la fluaj a materialului, cât și tensiunea aplicată sunt mărimi aleatorii definite de funcții specifice de repartiție (fig. 3.8). Dacă la timpul t se notează cu F_r probabilitatea ca rezistența să fie mai mică decît o valoare $\bar{\sigma}$ iar cu F_S probabilitatea că tensiunea aplicată să fie cuprinsă între $\bar{\sigma}$ și $\bar{\sigma} + \Delta\bar{\sigma}$, atunci probabilitatea de apariție a ruperii prin fluxj este definită

de probabilitatea apariției concomitente a celor două evenimente:

$$F = F_r \cdot F'_s \quad (3.5)$$

unde F'_s este derivata de ordinul I a funcției de repartitie a tensiunii aplicate F_s . Cele două funcții de repartitie pot fi explicitate analitic în baza relațiilor (2.3) și (2.4) astfel :

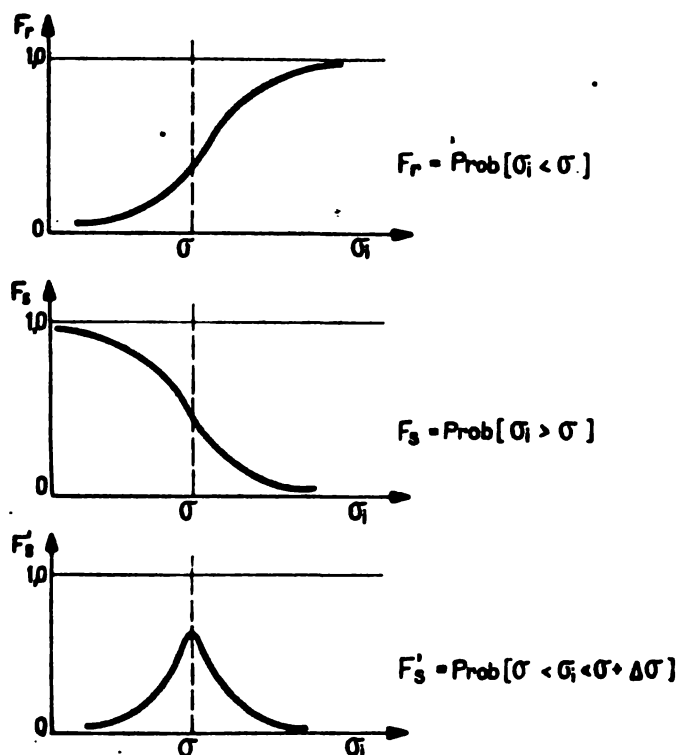


Fig. 3.8. Funcțiile de repartiție ale rezistenței la fluaj și ale tensiunii de solicitare

nă", va fi alcatoriu, având o repartitie statistică proprie. Cunoscînd funcțiile F_r și F_s prin integrare numerică se obține valoarea probabilității de apariție a ruperii prin fluaj și funcția de repartitie a factorului de sarcină.

Schematic în fig. 3.9 [69] se reprozintă grafic variația în timp a funcției de densitate pentru caracteristica de fluaj a elementelor unei construcții mecanice solicitate la fluaj și respectiv a tensiunii de solicitare. Se pune în evidență variația probabilității de apariție a ruperii prin fluaj

$$F = \int_0^{\sigma} f_r d\sigma \quad (3.6)$$

și respectiv :

$$F = \int_0^{\sigma} f_s d\sigma \quad (3.7)$$

unde f_r și f_s sunt densitățile de repartitie ale caracteristicii de material și respectiv ale tensiunii aplicate.

Dacă cele două mărimi de calcul sunt alcatorii, atunci și raportul lor $y = \bar{\sigma}_r / \bar{\sigma}_s$ denumit în teoria fizibilității "factor de sarcină"

a întregii construcții cu factorul timp.

Modul de evaluare a siguranței unei construcții

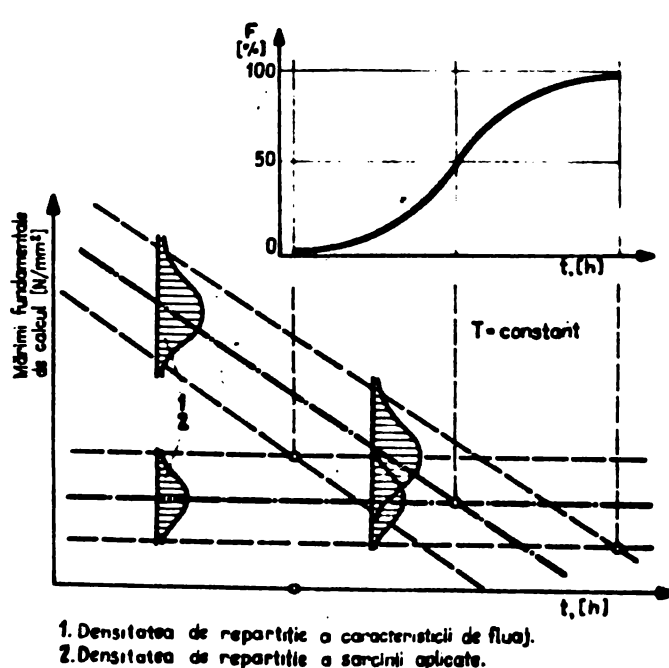


Fig. 3.9. Variatia în timp a caracteristicii de fluaj a materialului și a tensiunii de solicitare într-o construcție mecanică [69]

mecanice colicitată la fluaj, propus de autor este următorul :

- se adoptă o valoare pentru indicatorul de fiabilitate care să corespundă specificului și importanței construcției mecanice analizată ;
- se stabilește domeniul de variație al parametrilor de funcționare (temperatura, sarcina) ;
- se stabilesc mările de oțel care sunt capabile să acopore domeniul respectiv de temperatură și sursele la durata de funcționare precizată ;
- se calculează pentru fiecare marci de oțel coeficientul de sarcini respectiv grosimea de produs care asiguri încadrarea în indicatorul de fiabilitate preconizat ;
- se definitează soluția constructivă prin compararea din punct de vedere tehnic și economic a variantelor

constructive bazate pe diferitele mărci de oțel luate în considerare.

Ideea formulată mai sus nu este cu totul nouă, ci se regăsește în metodologiile de studiu ale unor componente complexe din domeniile de vîrf ale tehnicii (electronică, echipamente aerospațiale, energetică, etc.). Se pot cita, de exemplu, o serie de lucrări în care este abordată problema evaluării indicatorilor de fiabilitate ai recipientelor sub presiune, precum și a unor componente ale blocurilor energetice. Prin aceasta se urmărește asigurarea unei funcționări în condiții de siguranță a agregatelor respective, precum și utilizarea datelor obținute la proiectarea componentelor similare din centralele atomo-electrice [13, 24, 78, 80, 109, 120].

Elementele caracteristice ale metodei propuse pentru evaluarea rezistenței la rupere prin fluaj a produselor din oțeluri termorozistente au fost sintetizate în fig. 3.10.

Din parcursul lor se observă că pentru aplicarea metodei propuse este necesar să se precizeze :

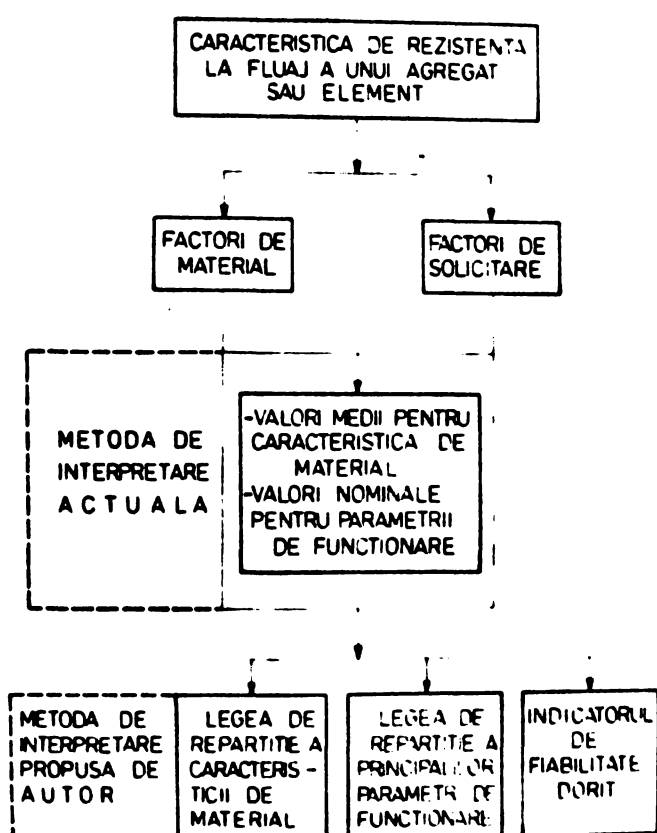


Fig. 3.10. Elementele caracteristice ale metodei propuse de autor

analizate în paragrafole următoare.

- valoarea indicărilor de fiabilitate;
- natura legii de repartiție a mărimilor caracteristice ale elementelor sau structurii mecanico-solitătoare la fluaj.

Aspectele menționate mai sus cu referire la factorii de material cărora fac obiectivul prezentei lucrări vor fi analizate în paragrafole următoare.

3.4. Valoarea indicatorului de fiabilitate al elementelor sau structurilor mecanice

Stabilirea unui domeniu valoric optim pentru indicatorii de fiabilitate ai elementelor sau structurilor mecanice solicitate în condiții de fluaj constituie o preocupare permanentă și continuă a factorilor care răspund de proiectarea, realizarea, exploatarea și supravegherea funcționării în condiții de siguranță a acestor structuri mecanice.

In baza datelor existente privind valoarea defiabilității operaționale sau efective la beneficiar a componentelor clasice ale recipientelor sub presiune și ale cazanelor de abur (tamburi, virole, țevi, conducte) [24, 73, 80, 120], autorul consideră că elementele sau structurile mecanice solicitate la fluaj trebuie să prezinte o valoare pentru probabilitatea de apariție a ruperii prin fluaj (defiabilitatea nominală) de $1 \cdot 10^{-3} - 1 \cdot 10^{-5}$ ($0,1\%$ - $0,001\%$) după 100.000 h de funcționare la parametrii nominali. Acest lucru este confirmat de datele prezentate într-o serie de lucrări. Astfel, G. Mieze [80] în baza datelor VdTUV pentru durată de 10^5 h a calculat probabilități de avarie de ordinul a $1 \cdot 10^{-3}$ ($0,1\%$) pentru tamburi cazanelor de abur și respectiv de $2 \cdot 10^{-3}$ ($0,2\%$) pentru vasole de presiune. Montagnani și Putzey [73] consideră că pentru componentele clasice solicitate la fluaj ale blocurilor termoenergetice este suficient dacă probabilitatea de apariție a ruperii este mai mică de $1 \cdot 10^{-2}$ (1%), iar H. Lotter [120] stabiliește pentru ansamblul încălzitor-vaporizor al cazanelor de abur probabilitatea de avarie de $1 \cdot 10^{-4}$ ($0,01\%$) tot pentru durată de funcționare de 10^5 h.

Una din lucrările de sinteză cu privire la fiabilitatea recipientelor sub presiune și a cazanelor de abur (tamburi și virole) este lucrarea lui J.R. Engel [24], care se bazează pe statisticile de avarie din perioada 1942-1972 furnizate de VdTUV, ACRS, IEC-TVA, IRSTIA și ADMA. Studiul făcut apermă să se constate că, în ansamblu, pentru 10^5 h de funcționare probabilitatea de rupere a variat între $8,3 \cdot 10^{-4}$ și $6,6 \cdot 10^{-5}$. În extrapolarea datelor Engel ajunge la concluzia

că, pentru componentele centralelor nucleare, această probabilitate trebuie să fie cu un ordin de mărime mai mică.

Cercetările făcute de autor [54, 73] au arătat că la dimensionarea, în baza metodei de calcul existente, a țevilor din oțel termorezistent destinate industriei termoelectrico se admite o probabilitate de apariție a ruperii prin flunaj (defiabilitate preliminară) de $1 \cdot 10^{-4}$ (0,01%) pentru o durată de calcul de 10^5 h. Aceste rezultate confirmă pentru condițiile existente în țara noastră datele avansate în lucrarea [24].

3.5. Legea de repartiție a mărimilor caracteristice de material

Alegerea legii de repartiție se face în baza testurii datelor experimentale. În general, atunci când defectele apărute se datoresc reducerii în timp a capacitatei de rezistență a elementelor datorită condițiilor de exploatare sau încercare, la evaluarea indicatorilor de fiabilitate se aplică modelele bazate pe repartițiile normală, exponențială sau Weibull [4, 23, 63, 68, 81, 92].

În cadrul unor programe de verificări efectuate cu menținerea constantă a factorilor de carcină, duratele la care s-au înregistrat defecte de material au admis o distribuție Weibull [14, 46, 95, 111, 117]. Astfel, după [80] duratele pînă la apariția unor fisuri la tamburii cazanelor de abur cu presiune ridicată din R.F.G., controlate de TUV, admit o repartitie Weibull (fig. 3.11) avînd următoarele valori ai parametrilor $\gamma = 0$, $\beta = 2,7$, $n = 74.000$ h, $T = 69.000$ h. Modelul Weibull este aplicat și la prelucrarea rezultatelor încercărilor la flunj efectuate în vederea evaluării durabilității unui aliaj pe bază de zirconiu utilizat în centralele atomooelectrice [2].

Cu o largă de valori pe care o poate avea parametrul de formă β conferă repartiției Weibull un caracter de

generalizare, ceea ce permite experimentatorului o elasticitate mare în adevărata acestui model la un eșantion de date experimentale. Astfel, s-a demonstrat matematic, că diferențele repartiții continue din teoria probabilităților cu o largă aplicare la modelarea datelor experimentale, sănt cazuri particulare ale modelului Weibull. De exemplu, pentru $\beta = 1$ densitatea

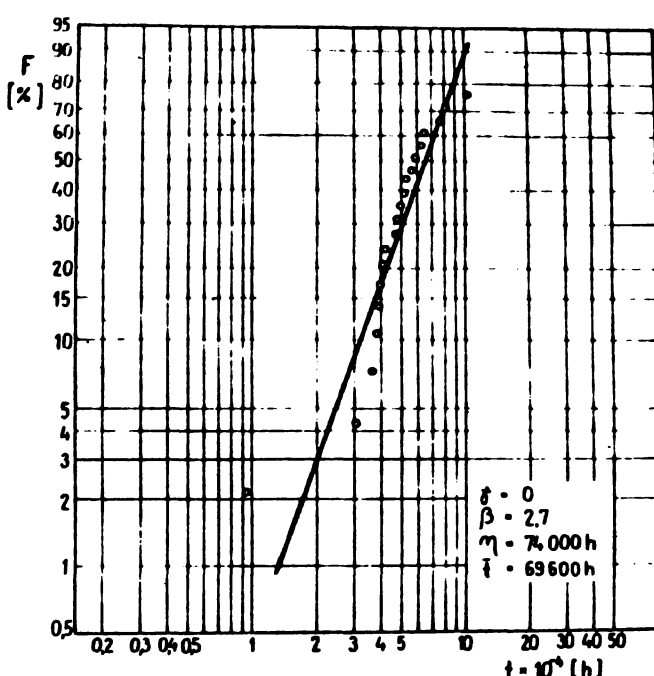


Fig. 3.11. Funcția de repartiție a duratelor pînă la apariția fisurilor la tamburii casanilor de abur [80]

distribuție Weibull coincide cu aceea a distribuției exponențiale, $\beta = 2$ definește densitatea de distribuție a populației Rayleigh, iar $\beta = 3,40$ definește distribuția unei populații normale [40, 46, 53]. Aceste constatări confirmă părerea exprimată de V.J. Ravenis [101] care consideră modelul Weibull drept "o densitate de distribuție potențial universală pentru cercotatori și inžinieri".

Rezultatul prelucrărilor proprii asupra duratelor de rupere prin fluj prin mai multe mîrci de oțol, obținute dintr-un program de experimentări care a însumat peste $3 \cdot 10^6$ h încercare au orientat pe autor să adopte ca legătură de distribuție a acestora modelul Weibull. Pentru exemplificare, în fig. 3.12

[68] se prezintă grafic rezultatele obținute la prelucrarea datelor de fluaj ale oțelului carbon cu 0,20% C. Pentru fiecare

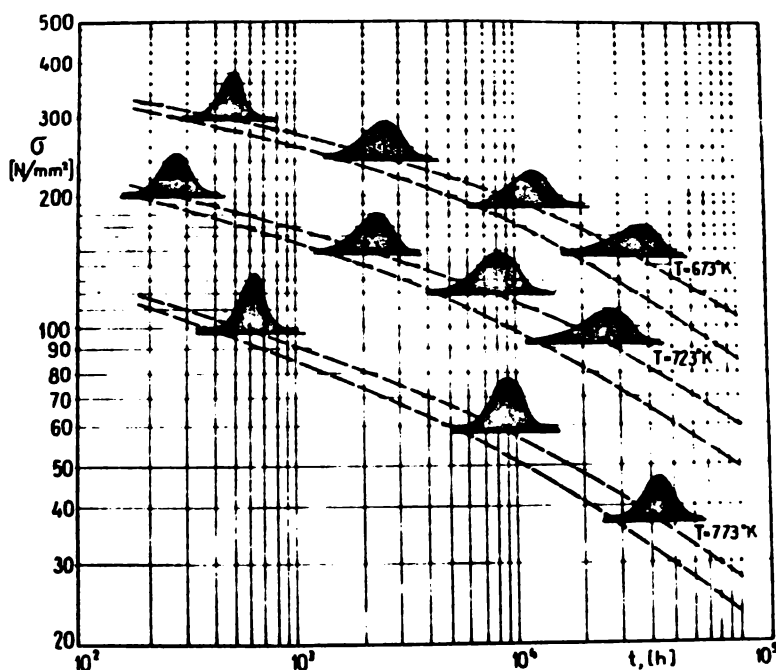


Fig. 3.12. Variația densității de repartiție a duratelor de rupere la fluaj cu tensiunea și temperatura de încercare pentru oțelul carbon cu 0,20% [68]

condiție de încercare aplicată s-a definit funcția de densitate a duratelor de rupere prin fluaj. Alura diferită a acestora evidențiază variația parametrului de formă β cu tensiunea și respectiv temperatura de încercare.

Un alt aspect important rezultat în urma testării datelor de fluaj corespunzător unor dure de încercare mari și foarte mari este acela că pentru o mare parte oțel parametrii distribuției Weibull nu sunt mărimi constante, ci depind de nivelul tensiunii și temperaturii de încercare, respectiv, de timpul mediu de rupere la fluaj. Deși în normele de material se precizează o abură limită constantă doar față de valoarea medie a rezistenței la fluaj, testările făcute de autor [73, 74, 76] au pus în evidență faptul că dispersia rezultatelor experimentale ale încercărilor la fluaj crește odată cu scăderea tensiunii,

respectiv a temperaturii de încercare. În fig. 3.13 [74] se prezintă curba de regresie a tensiunii cu durata de încercare la temperatura de 793°K pentru oțelul 16Mo3. În diagramă se preci-

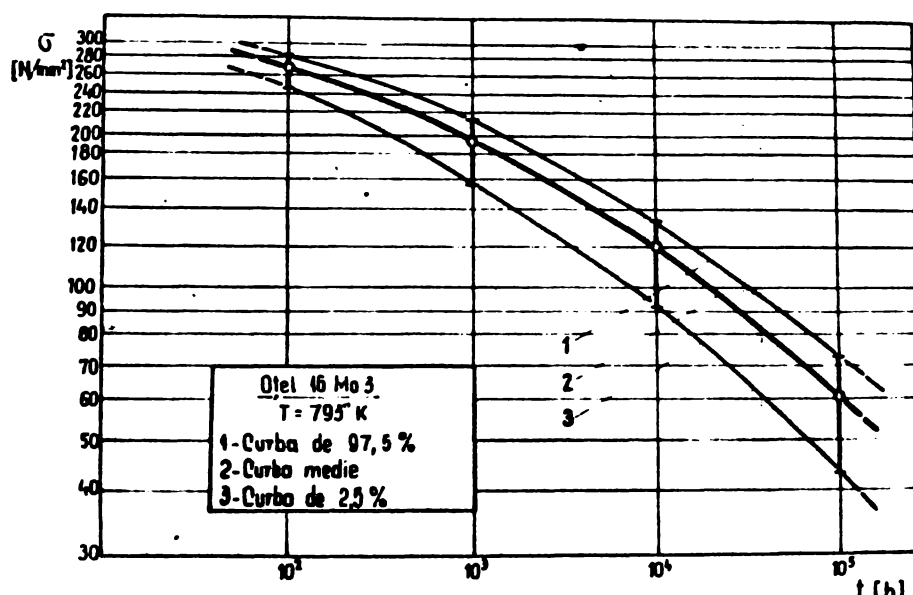


Fig. 3.13. Curba de regresie și intervalul de variație a duratelor de rupere prin fluaj pentru oțelul 16Mo3 încercat la temperatura de 793°K [74]

zoază intervalul de variație a duratelor de rupere la fluaj corespunzător unui nivel de semnificație de 95%. Coeficienții curbelor de regresie definite conform relației (3.4) au următoarele valori :

	Curba 1	Curba 2	Curba 3
a_0	2,502320	2,503892	2,469012
a_1	0,042899	0,036851	0,063896
a_2	-0,033870	-0,035852	-0,050884
Coefficient de corelație	0,999468	0,999582	0,996626

Se constată că :

a. curbolele limită corespunzând unor probabilități de rupere de 2,5%, respectiv 97,5% sunt asimetrice față de curba medie, ceea ce evidențiază dispunerea după o lege de repartitie asimetrică atât a duratelor de rupere la fluaj care corespund unei tensiuni de încercare date cât și a tensiunilor de rupere la fluaj care corespund unei anumite dure de rupere;

b. cu creșterea durei de încercare, dispersia rezultatelor experimentale se mărește. Astfel tensiunile care corespund rupcerii prin fluaj la o durată de 10^4 h variază între +13,3 și -22,3 din valoarea medie a tensiunii la durată respectivă iar la durată de 10^5 h între +20,3 și -34,3;

c. valorile medii calculate ale tensiunilor de rupere pentru 10.000 h și respectiv 100.000 h nu diferă semnificativ de valorile rezistenței tehnice de durată prevăzute pentru oțelul respectiv în norma de material [91].

Datele prezentate confirmă alătarea legii de repartitie Weibull drept model de repartitie pentru studiul statistic al caracteristicilor de rezistență la fluaj ale produselor siderurgice. Pentru o multime statistică de date experimentale de fluaj, corespunzând unei mărci de oțel, identificarea parametrilor legii de repartitie și a mărimilor statistice care o definesc se poate face fie pe cale grafică, fie pe cale analitică.

3.5.1. Metoda grafică

Utilizarea metodei grafice cu scări funcționale caracteristico, în abscisă și ordonată, furnizează o cale practică, pentru analiza și interpretarea rezultatelor experimentale. O astfel de prezentare este utilă atunci când :

- numărul de date experimentale este redus ;
- este necesară o evaluare precabilă a parametrilor în vederea organizării în continuare a programului de încercări experimentale.

Deoarece, de regulă nu se dispune de grafice de probabilitate tip Weibull, autorul a calculat, în baza relației (2.7), valorile funcției $F(t)$ în intervalul de probabilitate 0,000001 - 0,999999. În fig. 3.14 se prezintă grila

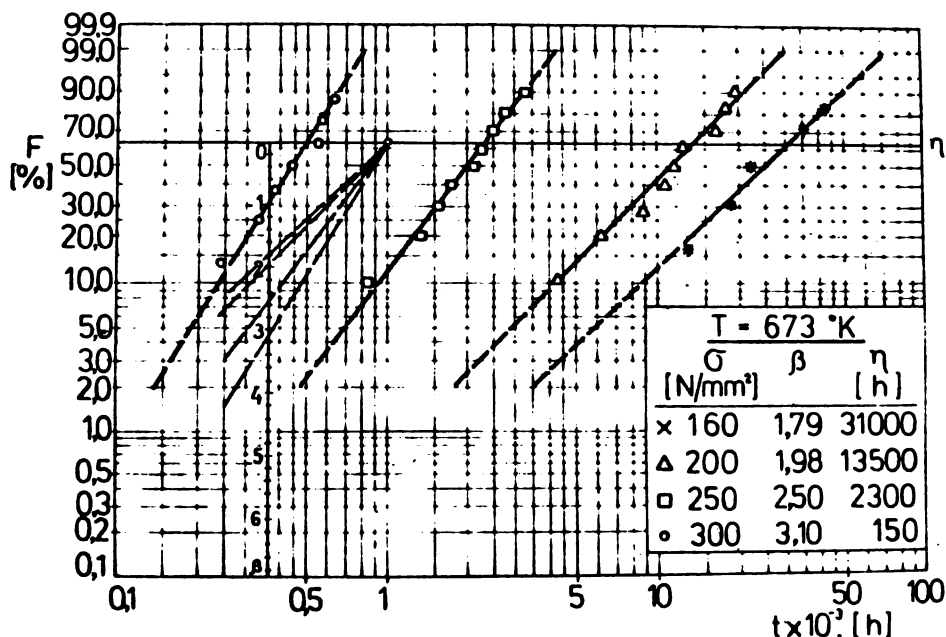


Fig. 3.14. Graficul Allen - Plait pentru determinarea parametrilor unei repartiții Weibull

rezultat, pentru intervalul de probabilitate 0,001-0,999, cu ajutorul căreia se determină direct valorile parametrilor unei populații statistice definite de o repartition Weibull.

Modul de utilizare a diagramei este arătat în fig. 3.14 unde, pentru exemplificare, se prezintă grafic rezultatul încorcărilor la fluaj pentru oțelul carbon cu 0,20% C la temperatură de 673°K și diferite tensiuni de încercare. Duratele de rupere la fluaj au fost preluate după [25]. Astfel, parametrul $\gamma = 0$, deoarece în diagrama Weibull valorile duratălor de rupere la fluaj, pentru fiecare din condițiile de încercare, se dispun aproximativ după o dreaptă. Valorile pentru η se citesc la intersecția dintre dreapta definită de valoările experimentale și ordonată corespunzătoare lui $F = 63,2\%$.

Pentru aflarea valorilor lui β se trasează, prin punctul $\eta = 1$, dropte paralele cu droptele experimentale iar la intersecția acestora cu scara lui β , se citesc valorile parametrului. Pentru cazul analizat, valorile obținute pentru β și η sunt prezentate în fig. 3.14.

Mărimile statistice care definesc repartitia populației analizate (valoarea medie, funcția de densitate, abaterea standard, etc) se calculează cu relațiile prezentate în anexa I. Se menționează faptul că, pentru ușurarea calculelor, valorile funcției de densitate și respectiv ale funcției de repartie sunt tabulate, pentru diferite valori ale lui β și $\eta = 1$ [1].

3.5.2. Metoda analitică

Așa cum s-a arătat, pentru determinarea caracteristicilor de fluaj ale unui oțel se încearcă la fiecare nivel de tensiune și temperatură un lot de probe din oțelul respectiv. Fie "n" volumul de selecție pentru fiecare condiție de încercare și t_i ($i = 1; 2 \dots n$) valorile de selecție ale duratei de rușine prin fluaj. Funcția de verosimilitate a populației statistice este dată de produsul funcțiilor de densitate de probabilitate a repartiției [95]. Explicitând funcția de densitate de repartie (v. anexa I - tabelul 1) obținem :

$$L_n = \prod_{i=1}^n \frac{\beta}{\alpha} \cdot t_i^{\beta-1} \cdot e^{-\frac{t_i^\beta}{\alpha}} \quad (3.8)$$

unde

$$\alpha = \eta^\beta \quad (3.9)$$

Să logaritmămăzii expresia (3.8) și se notează :

$$\ln[\ln(L_n)] = H_n \quad (3.10)$$

se obține :

$$H_n = n \cdot \ln \frac{\beta}{\alpha} + (\beta-1) \cdot \ln t_i - \frac{1}{\alpha} \sum_{i=1}^n t_i^\beta \quad (3.11)$$

Valorile parametrilor α și β se determină din condiția ca funcția de verosimilitate H_n să fie maximă, ceea ce conduce la sistemul de ecuații :

$$\frac{\partial H_n}{\partial \alpha} = 0 ; \frac{\partial H_n}{\partial \beta} = 0 \quad (3.12)$$

Ecuțiile (3.12) se numesc ecuații de verosimilitate, iar soluțiile sistemului de ecuații sunt estimări de verosimilitate maximă [95].

Derivata parțială a ecuației (3.11) în raport cu parametrul α este :

$$\frac{1}{\alpha^2} \sum_{i=1}^n t_i^\beta - \frac{n}{\alpha} = 0 \quad (3.13)$$

dе unde :

$$\alpha = \frac{\sum_{i=1}^n t_i^\beta}{n} \quad (3.14)$$

Inlocuind pe α cu expresia din relația (3.9) rezultă :

$$\eta = \left[\frac{\sum_{i=1}^n t_i^\beta}{n} \right]^{1/\beta} \quad (3.15)$$

Ecuția (3.15) permite estimarea parametrului de scără reală η , dacă se cunosc valorile de selecție ale duratălor pînă la rupere prin fluaj, volumul de selecție și valoarea parametrului de formă a ropariției acestora.

Pentru calculul parametrului β se înlocuiesc valoarea lui α din expresia (3.14) în relația (3.11) și se obține :

$$H_n = n \left[-1 + \ln(\eta \beta) - \ln \left(\sum_{i=1}^n t_i^\beta \right) + (\beta-1) \sum_{i=1}^n (\ln t_i) \right] \quad (3.16)$$

Pentru un șir de valori discrete ale lui β se calculează valorile corespunzătoare ale funcției H_n . Valoarea estimată a parametrului de formă β corespunde valorii maxime a funcției H_n .

Determinarea pe cale analitică a parametrilor repartiției Weibull presupune un volum mare de calcule. Precizia acelora trebuie să fie ridicată, întrucât rezultatele se exprimă prin numere zecimale la care prima cifră semnificativă are ordinul 10^{-3} - 10^{-5} . Aspectele menționate evidențiază utilitatea rezolvării problemei cu ajutorul calculatorului în baza unui program de calcul. În același timp se observă că în concordanță cu datele de sinteză prezentate în cap. 3.4, parametrii repartiției Weibull nu sunt mărimi independente sau fixe, ci prezintă o variație continuă în corelație cu factorii de solicitare.

Soluția propusă de autor pentru rezolvarea problemei se prezintă în capitolul următor.

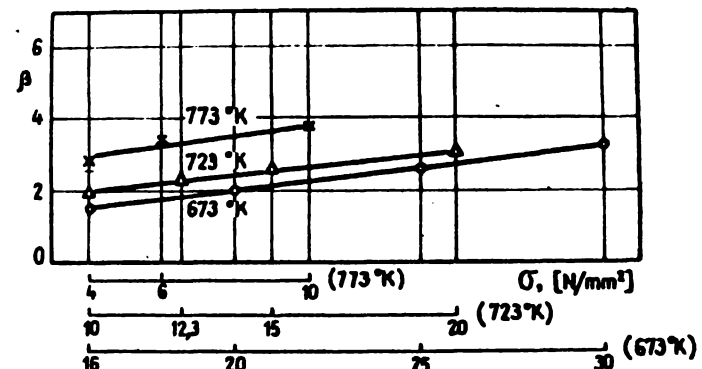
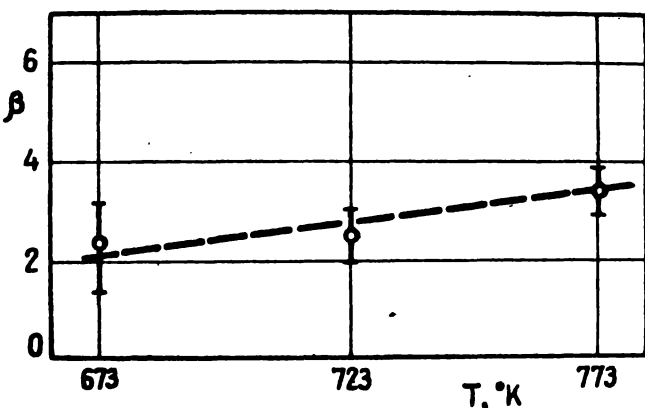
3.6. Metoda propusă de autor pentru calculul parametrilor repartiției Weibull

3.6.1. Parametrii repartiției Weibull

Parametrul de formă β este o mărime adimensională care definește alura curbelor de densitate ale repartiției Weibull. Prelucrarea datelor experimentale de fluaj din mai multă mărci de otel termorezistent a pus în evidență existența unei corolații între parametrul de formă β și condițiile de încercare la fluaj. Astfel, în fig. 3.15 [68], se prezintă rezultatele obținute de autor privind variația lui β cu temperatură, și respectiv, tensiunea de încercare la fluaj, pentru un otel carbon cu 0,20% C cu duratele de încercare efective cuprinse între $1 \cdot 10^2$ și $9 \cdot 10^4$ h. Constatările făcute au permis autorului să definească o corolație multiplă între valorile parametrului β calculat din repartitia duratelor pînă la rupere prin fluaj și condițiile de încercare (tensiune, temperatură),

de forma :

$$\beta = \alpha_0 + \alpha_1 \bar{v}_i + \alpha_2 T_i \quad (3.17)$$



a

b

Fig. 3.15. Variatia parametrului β cu factorii de solicitare la fluaj pentru oțelul carbon cu 0,20% C [63]

a - variația cu temperatură
b - variația cu tensiunea

Astfel, do exemplu, pentru produsole din oțel carbon cu 0,20% C se obținează astfel :

$$\beta = 2,938750 + 0,054845\bar{v}_i + 0,016855 T_i \quad (3.18)$$

parametrul de scură reacții η are același unitate de măsură ca și variabila alătătoare (durată de rupere la fluaj). Veroarea acestui parametru este funcție de condițiile de încercare la fluaj (tensiunea și temperatura de încercare), astfel cîi admite o corelație generală de formă :

$$\log \tau = \Phi(\eta; T) \quad (3.19)$$

Proiectarea făcută de autor pentru mai multe mărci de oțel arată că în coordonate $\log \tau - T^0 K$, valorile lui η sunt

dispusă după izobare care formează un fascicol contrată în punctul de coordonate (T_a, η_a) . Aceste constatări permit aplicarea relației parametrice Manson-Haferd la corelarea celor trei mărimi caracteristice, în forma :

$$\log \sigma = a_0 + a_1 P + a_2 P^2 \quad (3.20)$$

în care P este parametrul de extrapolare Manson-Haferd dat de relația :

$$P = \frac{\log \eta - \log \eta_a}{T - T_a} \quad (3.21)$$

In fig. 3.16 [68] se prezintă pentru oțelul carbon

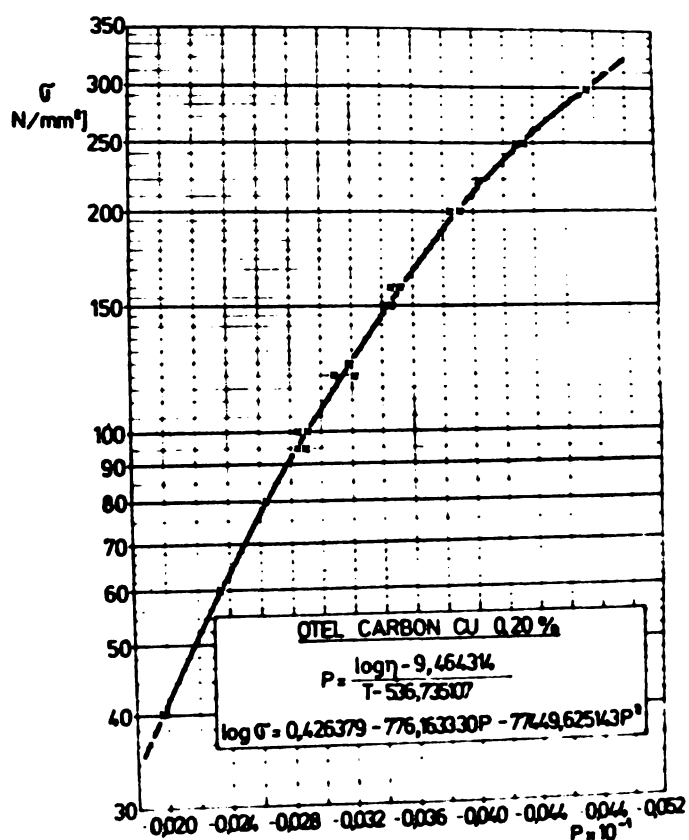


Fig. 3.16. Curață de bază a oțelului carbon cu 0,20% C, definită în baza prelucrării Neibull a datelor experimentale de fluaj

cu 0,20% C curba de corelație dintre tensiunea de încorcere, temperatură și parametrul η .

parametrul de origine γ se exprimă în același unități de măsură ca și variabila ceeaatoare. El arată că între originea sistemului de axe de coordonate și valoarea γ nu

apar defecțiuri ale elementelor sau structurii mecanice analizate, funcțiile de densitate și de repartiție fiind nule.

De regulă pentru simplificare se admite ipoteza $\gamma = 0$ [1]. Această soluție a fost adoptată și de autor pentru cazul produselor din oteluri pentru temperaturi ridicate.

3.6.2. Schema logică a programului de calcul

Programul de calcul are ca scop :

- determinarea parametrilor repartiției Weibull pentru condiția de tensiune și temperatură la care s-au executat încercările ;

- determinarea valorilor medii ale rezistenței tehnice de durată, valori care urmăzu să fie cuprinse în normă de material ;

- calculul valorilor minime ale acestor caracteristici definite de limita inferioară a intervalului de încredere de 95% ;

- evaluarea probabilității de apariție a ruperii prin flacăj.

Schema logică a programului principal de calcul (fig. 3.17), întocmit în baza algoritmului de calcul prezentat în sec. 3.5.2, cuprinde următoarele etape :

- testarea legii de repartiție a duratălor

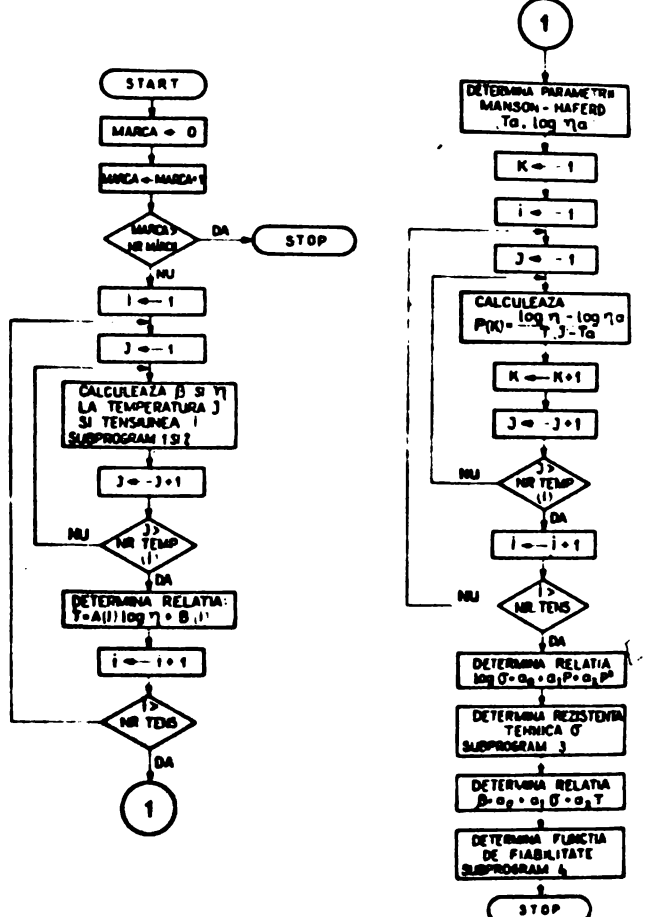


Fig. 3.17. Schema logică a programului principal de calcul

pînă la rupere prin fluaj în baza testului Kolmogorov-Smirnov ;

- calculul parametrilor repartiției duratelor pînă la rupere prin fluaj pentru fiecare condiție de încercare ;

- stabilirea corelației multiple între parametrul repartiției Weibull și condițiile de încercare ;

- calculul valorilor pentru rezistență tehnică de durată ;

- calculul valorilor pentru probabilitatea de apariție a ruporii prin fluaj asociate rezistenței tehnice de durată determinată anterior ;

- tracarea curbelor de variație ale probabilității de apariție a ruporii prin fluaj cu tensiunea de încercare la diferite nivale de temperatură și durațe de 10.000 h și respectiv 100.000 h.

Numărul mare de operații cuprinse în schema logică

a programului din fig. 3.17 a determinat pe autor să prezinte în mod separat un număr de patru subprograme de calculator. Acestea au drept scop detalierea elementelor de nouătate introduse cu privire la metoda de interpretare propusă și cuprind următoarele :

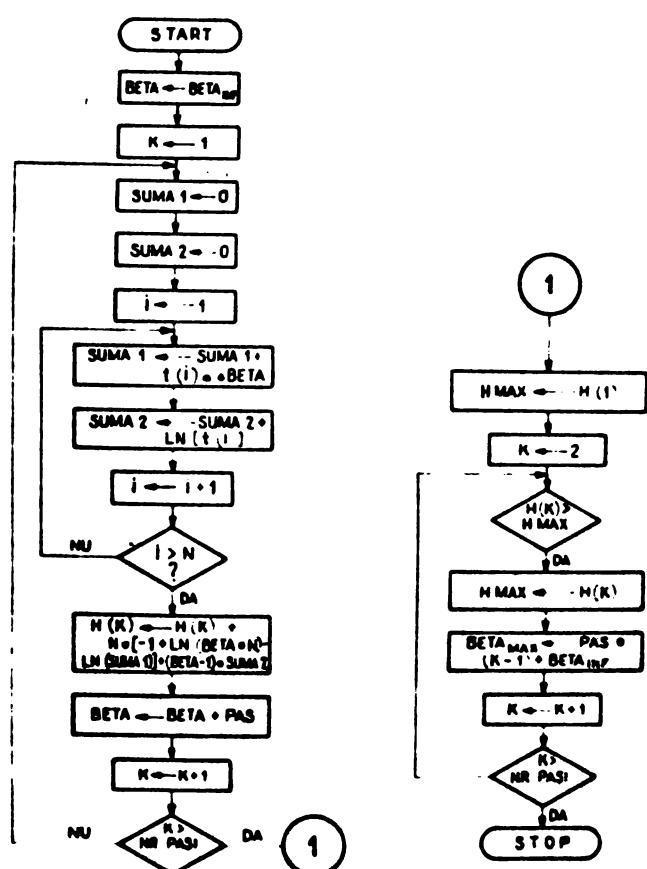


Fig. 3.18. Schema logică a subprogramului 1

- schema logică din subprogramul 1 (fig. 3.18) prin care se determină valoarea parametrului de formă β a volumului de colectie pentru fiecare din condițiile de încercări ;

- schema logică din subprogramul 2

(fig. 3.19) prin care se determină valoarea corespunzătoare a parametrului de scură roală η pentru fiecare din valorile calculate ale lui β :

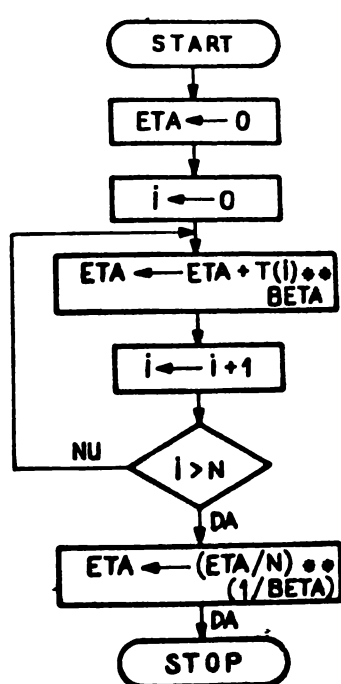


Fig. 3.19. Schema logică a subprogramului 2

- schema logică din subprogramul 3 (fig. 3.20) calculează valorile pentru tensiunea care produce ruperea prin fluaj a lotului de probe analizate după 10.000 h și respectiv 100.000 h din 10 °C în intervalul de temperatură al mărcii de oțel ;

- schema logică din subprogramul 4 (fig. 3.21) calculează valorile pentru probabilitatea de apariție a rupcii prin fluaj corespunzătoare tensiunilor de rupere stabilite de sub programul 3.

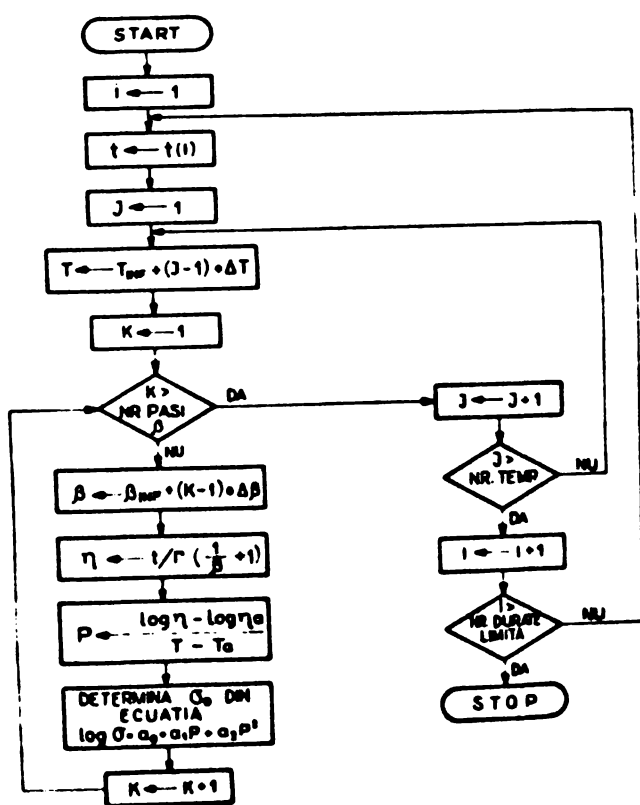


Fig. 3.20. Schema logică a subprogramului 3

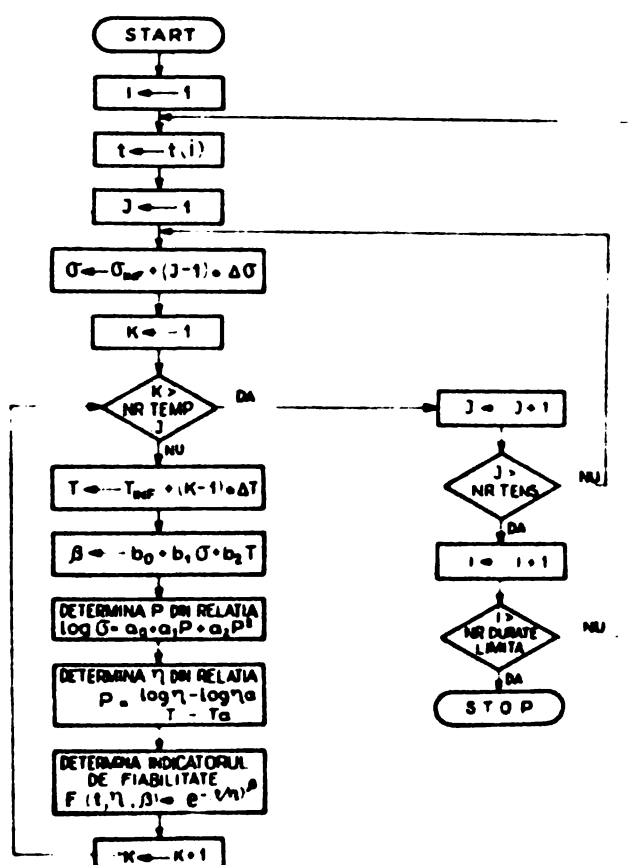


Fig. 3.21. Schema logică a subprogramului 4

CAPITOLUL IV

EVALUAREA FIABILITATII PRODUSELOR DIN DOUA OTELURI TERMOREZISTENTE ROMANESE

4.1. Materialul de cercetare

Experimentările s-au efectuat pe ţevi cu grosimea de perete cuprinsă între 4,0 și 31,0 mm, laminate la cald conform condițiilor din STAS 3473-79, din mărcile de oțel OLT45K și 14CrMo4 conform STAS 8184-77. Din fiecare marcă s-au încercat la fluaj cîte 10 loturi de probe proluate din șarje de oțel diferite. Rezultatele analizelor și încercărilor efectuate sunt prezentate în anexa II, în care sunt date :

Tabelul 1 - dimensiunea probelor, tratamentul termic aplicat și rezultatole analizelor de compoziție chimică

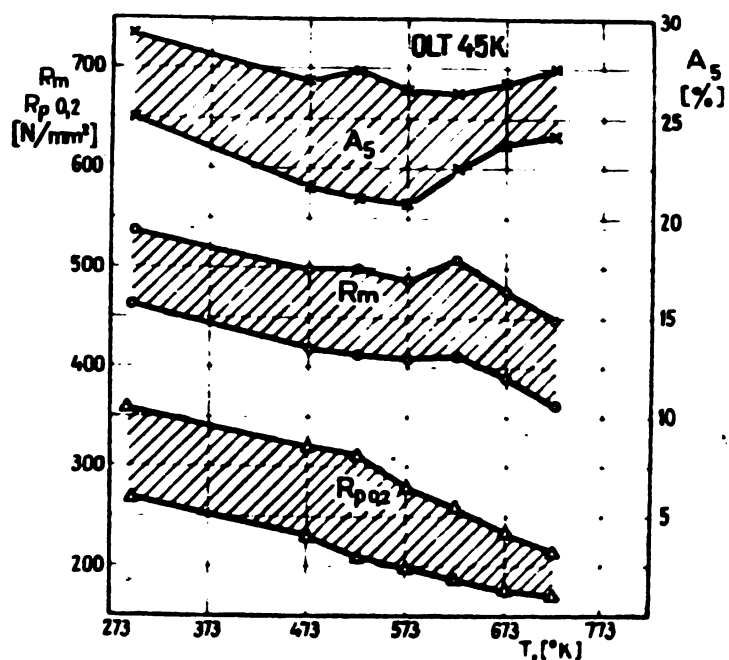
Tabelul 2 - analiza metalografică și rezultatole încercărilor mecanice de recopție

Tabelul 3 - limita de curgere la cald în domeniul de temperaturi 473°K ... 773°K (200°C ... 500°C)

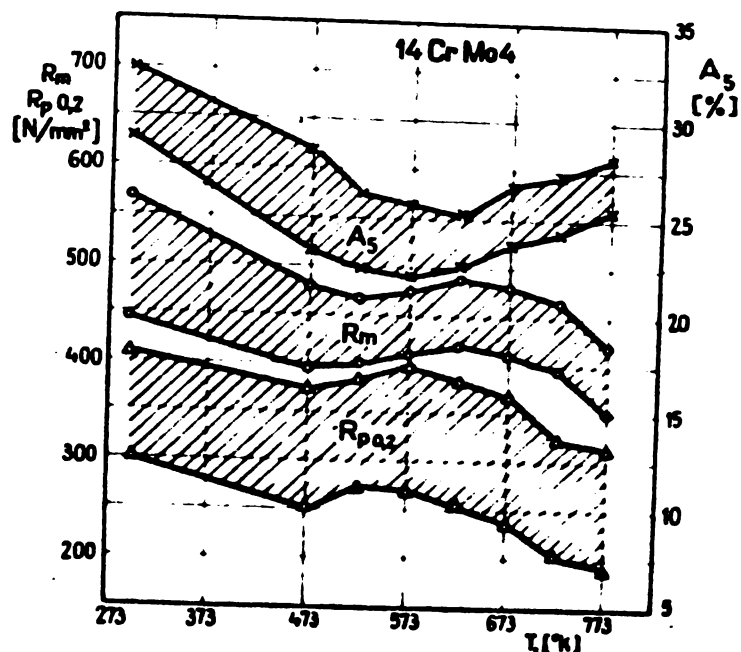
Tabelul 4 - rezultatole încercărilor de rupere prin fluaj

In fig. 4.1 (a și b) sunt prezentate diagramele de variație cu temperatura a caracteristicilor mecanice de tracțiune, iar în fig. 4.2 (a și b) microstructurile caracteristice ale produselor din cele două mărci de oțel.

Rezultatele obținute atestă faptul că produsele din oțelurile studiate corespund prevederilor STAS 8184-77 și respectiv STAS 3473-79.



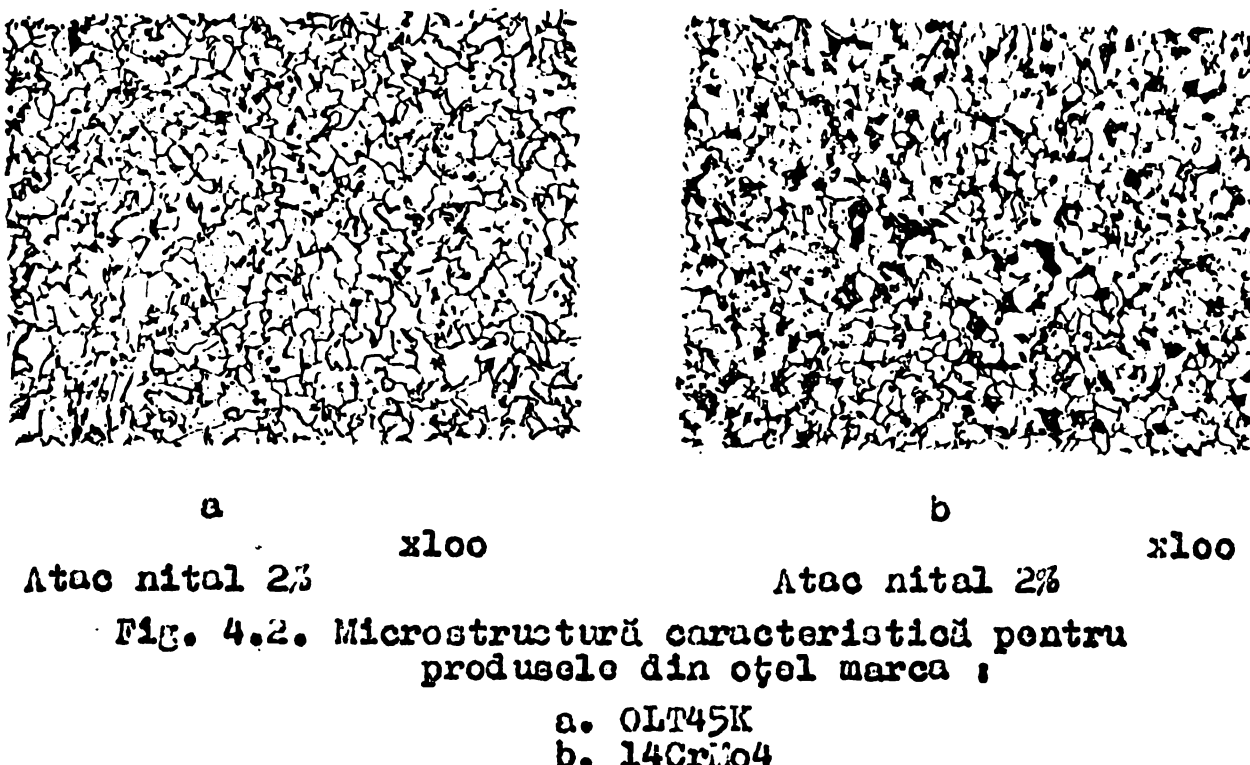
a



b

Fig. 4.1. Variatia caracteristicilor mecanice de recepție cu temperatură pentru produse din oțel marca :

- a. OLT45K
- b. 14CrMo4



4.2. Metodica de cercetare

Programul de încercări la fluaj prevăzut în normele existente [42, 43] pentru calculul proprietăților de fluaj ale oțelurilor pentru temperaturi ridicate satisface din punct de vedere al numărului de probe, volumul de date necesar aplicării metodologicii de prolucreare și interpretare propusă de autor. Conform acestui program, în vederea determinării caracteristicilor de fluaj ale produselor din oțel utilizate la temperaturi ridicate, se provoacă efectuarea de încercări pe probe preluate din minimum 8 șenje difcrite din același marcă de oțel. Încercările se efectuoază la 4-5 nivole de temperatură astfel căse, încât să se acopore domeniul de temperaturi de utilizare recomandat pentru marca respectivă de oțel. La fiecare nivel de temperatură se încearcă un număr minim de 5-6 opruvete, solicitate la tensiuni astfel alesă, încât să conducă la ruperi prin fluaj cuprinse între cîteva ore și cîteva mii de ore (minimum 10.000 h).

Condițiile tehnice de executare a încercărilor la fluaj sunt conforme cu prevederile din STAS 8894-71.

Autorul consideră că încercările cu durate mai reduse de 100 h nu sunt semnificative, deoarece nu evidențiază transformările microstructurale care au loc în cursul desfășurării fenomenului de fluaj astfel că acestea au fost eliminate din volumul de date experimentale.

Încercările la fluaj s-au efectuat pe epruvete normale având dimensiunile conform STAS 8894-71. Condițiile de încercare la fluaj (tensiune, temperatură) au fost stabilite astfel, încât să cuprindă întreg domeniul de temperaturi de utilizare al fiecărui mărci de oțel și să conducă la durată efективă de rupere prin fluaj și de ordinul a $2 \cdot 10^4$ h. Acest program de încercări a permis extrapolarea rezultatelor experimentale la durată de 200.000 h [43].

Probile din oțel OLT45K au fost încercate la tensiuni cuprinse între 39,2 - 225,4 N/mm² (la tensiuni de încercare) și temperaturi cuprinse între 653°K...893°K (380°C ... 620°C), încercările efectuându-se cu precădere în domeniul de temperaturi 653°K-773°K (380°C-500°C). Probele din oțel 14CrMo4 au fost încercate la tensiuni cuprinse între 49,0-343,0 N/mm² (8 tensiuni de încercare și temperaturi cuprinse în intervalul 733°K-913°K (460°C-640°C). Încercările s-au efectuat cu precădere în domeniul de temperatură 753°K - 853°K (480°C-580°C).

In tabelul 4.1 se prezintă datele de sinteză privind volumul încercărilor efectuate pentru cele două mărci de oțel analizate.

Tabelul 4.1

Mărcă de oțel	Numărul de probe rupte în intervalul (h)						Total	
	<10 ²	10 ² .. 10 ³	10 ³ .. 10 ⁵	5·10 ⁵ .. 10 ⁴	10 ⁴ .. 2·10 ⁴	>2·10 ⁴	număr probă	ore încercare
OLT45K	32	124	73	34	24	2	289	935219
14CrMo4	6	93	90	40	51	2	262	1002609



Prelucrarea datelor experimentale s-a făcut prin metoda clasică și prin metoda propusă de autor. La prelucrarea prin metoda clasică, s-a aplicat relația parametrică de extrapolare Manson-Haftord, a cărei schemă logică de calcul, întocmită de autor, a fost prezentată în fig. 3.1. Pentru stabilirea valorilor coordonatelor punctului de concurență al familiei de izobaro, s-au luate în calcul numai tensiunile la care s-au făcut încercări la fluaj la minimum trei temperaturi.

In cazul metodei de prelucrare și interpretare a datelor experimentale de rupere prin fluaj propusă de autor, s-a determinat repartitia Weibull pe întreg domeniul de temperaturi și tensiuni de încercare acoperit prin programul de experimentări.

Deoarece s-a dispus de încercări cu dure de rușcare efective de cca $2 \cdot 10^4$ h, conform cu [42, 43] s-au calculat și rezistența la fluaj a oțelurilor pentru durata de $2 \cdot 10^5$ h.

4.3. Rezultatele obținute

4.3.1. Prelucrarea datelor experimentale prin metoda clasică

Datole experimentale au fost prelucrate în baza programului de calcul prezentat în cap. 3. Valorile cele mai probabile ale constantelor Manson-Haftord sunt date în tabelul 4.2.

Tabelul 4.2

Marca de oțel	Constante Manson - Haftord	
	ta, °K	log ta
OLT45K	541,061523	9,534951
14CrMo4	490,320416	12,387167

Rezultă, conform relației (3.3) că parametrul Manson-Haferd are forma :

- pentru oțelul OLT45K :

$$P = \frac{\log t - 9,334951}{T - 541,061523} \quad (4.1)$$

- pentru oțelul 14CrMo4 :

$$P = \frac{\log t - 12,887167}{T - 498,326416} \quad (4.2)$$

Ecuațiile curbilor de bază ale oțelurilor studiate care, conform relației (3.4) exprimă legătura între tensiunea de rușine prin flăaj și parametrul Manson-Haferd sunt următoarele :

- pentru oțelul OLT45K :

$$\log \sigma = -2,051282 - 14,360718P - 42,539322P^2 \quad (4.3)$$

coeficient de corelație : 0,958319.

- pentru oțelul 14CrMo4 :

$$\log \sigma = -2,871963 - 267,225342P - 3314,666748P^2 \quad (4.4)$$

cooficient de corelație : 0,905941.

In fig. 4.3 (a și b) se prezintă curbele de bază obținute pentru cele două mărți de oțel analizate.

Valorile calculate pentru rezistență tehnică de durată în intervalul de temperaturi de utilizare pentru durată de 10.000 h, 100.000 h și 200.000 h sunt prezentate în anexa III- tabelul 1. În același tabel s-au menționat și abatările, în procent, față de valorile caracteristicilor de mărți prevăzute în STAS 8184-77.

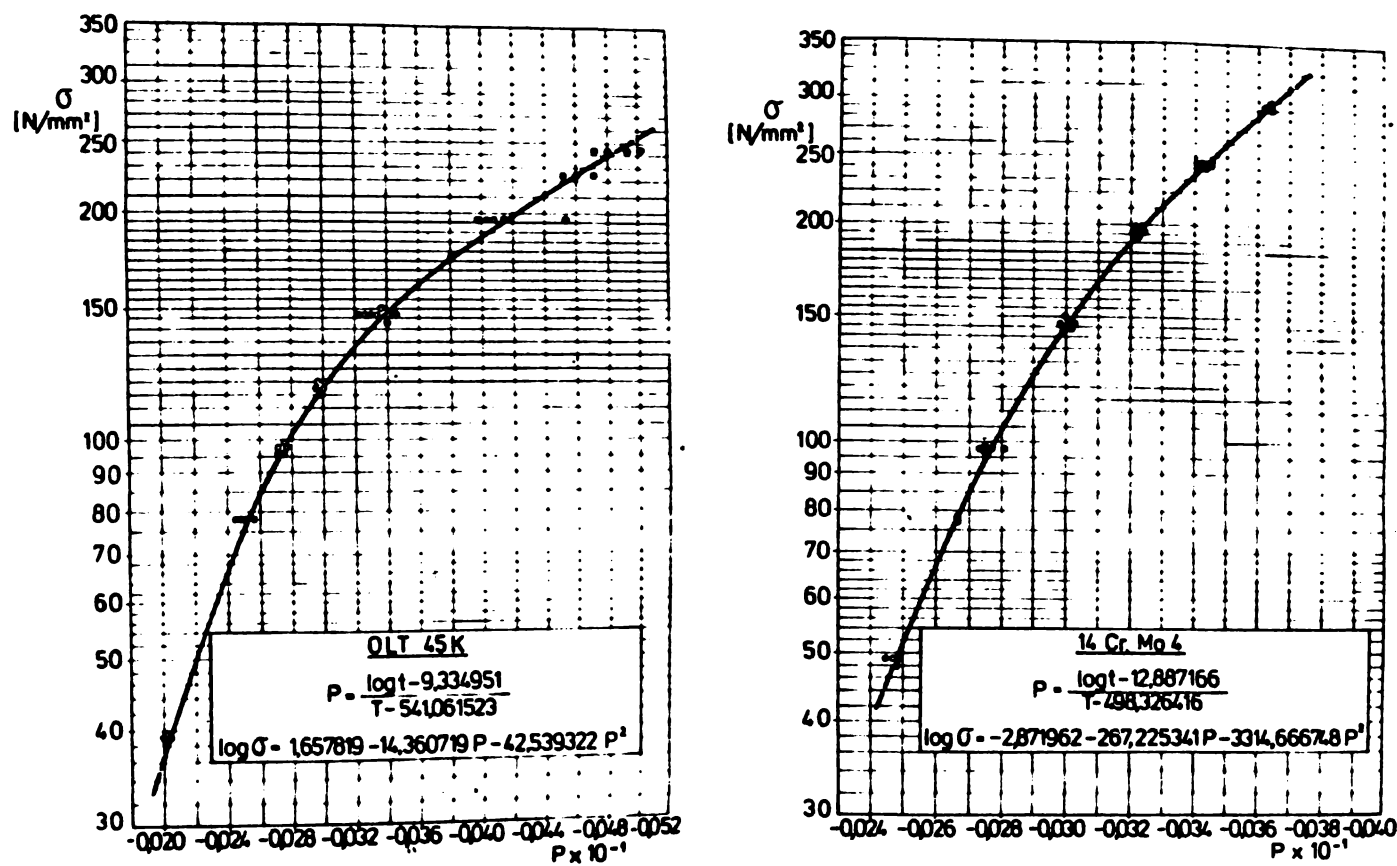


Fig. 4.3. Curba de bază conform metodologiei clasice pentru oțelul marca :
 a. OLT45K
 b. 14CrMo4

4.3.2. Prelucrarea datelor experimentale prin metoda propusă

In tabelul 2 anexa III se prezintă valorile parametrilor repartizați duratelor de rupere prin fluaj. Conform relației (3.17) ecuația de corelație multiplă dintre parametrul de formă β , tensiune și temperatură de încercare este :

- pentru oțelul OLT45K :

$$\beta = 3.886695 + 0.014576 + 0.006462 T \quad (4.5)$$

- pentru oțelul 14CrMo4

$$\beta = -4576331 + 00074125 + 0008743T \quad (4.6)$$

Coefficienții familiei de drepte izobare conform ecuației (3.2) în care $\log t$ s-a înlocuit cu $\log \eta$ sunt prezentați în tabelul 4.3.

Tabelul 4.3

Marca de oțel	Tensiunea de încorăcare N/mm^2	Coefficienții dreptelor de regresie		Abaterea standard	Coefficent de corela- ție
		a_0	a_1		
OLT45K	59,2	20,574460	-0,020464	0,009572	0,999767
	73,4	23,142761	-0,025267	0,081809	0,999063
	93,0	24,704950	-0,027971	0,049342	0,997647
	117,6	24,631714	-0,028575	0,012567	0,999792
	147,0	24,729973	-0,029652	0,028361	0,999478
	196,0	27,804627	-0,034943	0,020476	0,999679
	225,0	29,030463	-0,037624	0,040374	0,997853
	245,0	34,549065	-0,047016	0,040975	0,998587
14CrMo4	59,0	26,095306	-0,025570	0,020906	0,999332
	93,0	26,518205	-0,027243	0,025172	0,999557
	147,0	27,630263	-0,029594	0,035083	0,998208
	196,0	29,632827	-0,032964	0,034159	0,998651
	245,0	30,891128	-0,035295	0,027391	0,998934
	294,0	30,842269	-0,035900	0,004242	0,999974

In fig. 4.4 (a și b) se prezintă familia de izobare rezultată pentru fiecare marcu de oțel și săt marcate punctele de concurență ale acostora. Valorile cele mai probabile ale constantelor Hanson-Haford sunt date în tabelul 4.4.

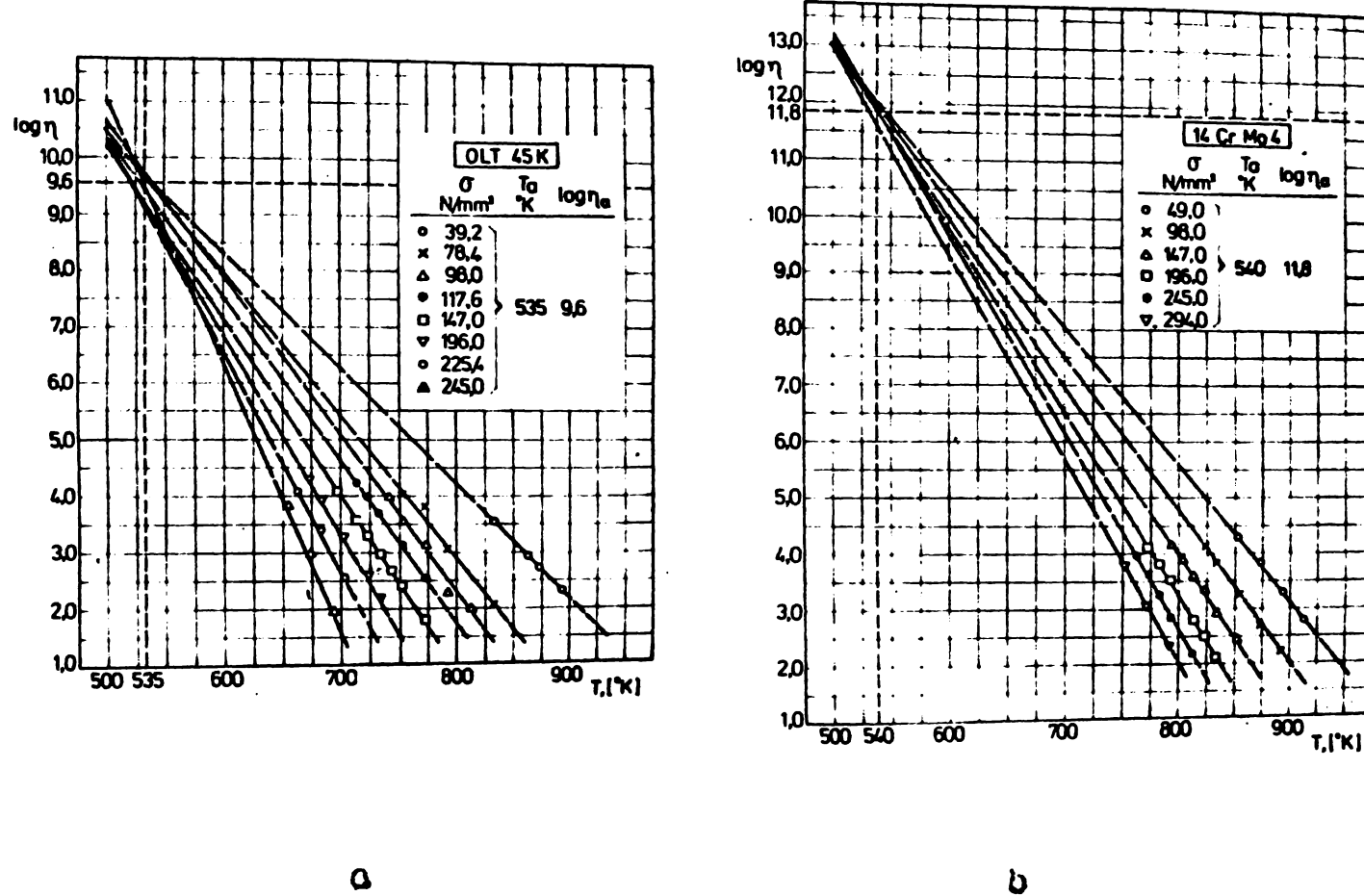


Fig. 4.4. Familia de drepte izobare Kanson - Haford pentru oțelul marca :

a. OLT45K
b. 14CrMo4

Taboulul 4.4

Marca de oțel	Constanta Kanson - Haford $T_a, {}^{\circ}K$	$\log \eta_a$
OLT45K	534,633838	9,632826
14CrMo4	539,660644	11,843361

Rezultă conform relației (3.21) că parametrul Kanson - Haford are forma :

•/•

- pentru oțelul OLT45K :

$$P = \frac{\log \sigma - 9632826}{T - 534683838} \quad (4.7)$$

- pentru oțelul 14CrMo4 :

$$P = \frac{\log \sigma - 11843361}{T - 53966064} \quad (4.8)$$

Ecuatiile curbelor de bază ale oțelurilor studiate care, conform relației (3.20), exprimă legătura între tensiunea de rupere la fluaj și parametrul Manson-Haferd sunt următoarele:

- pentru oțelul OLT45K :

$$\log \sigma = -0,023685 - 99,863098P - 106394995P^2 \quad (4.9)$$

coeficient de corelație : 0,964993

- pentru oțelul 14CrMo4 :

$$\log \sigma = -2113910 - 222,85775P - 2693,957295P^2 \quad (4.10)$$

coeficient de corelație : 0,974859

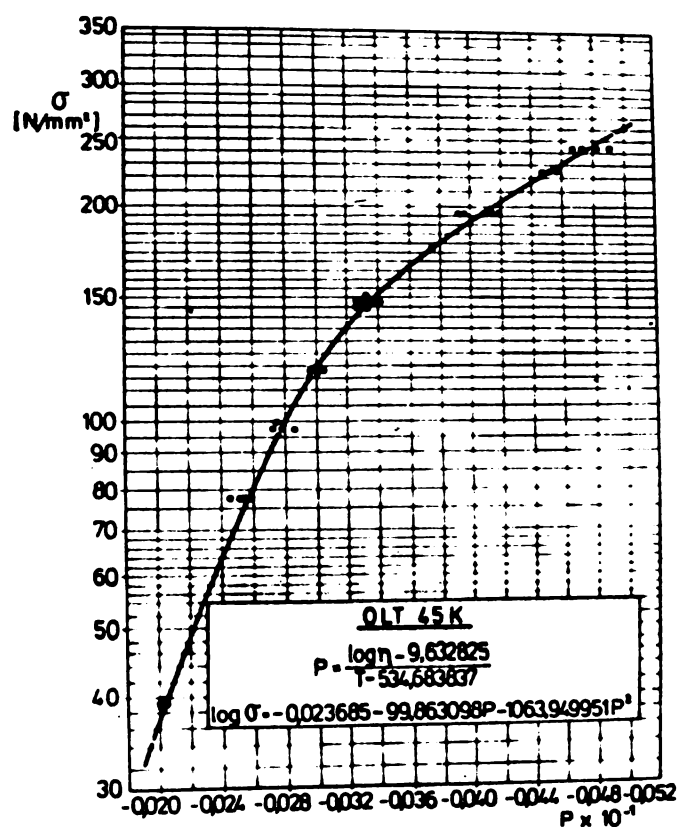
In fig. 4.5 (a și b) se prezintă curbele de bază rezultate pentru cele două mărci de oțel analizate.

Valorile pentru tensiunea modală de rupere prin fluaj din 10.000 h, 100.000 h și 200.000 h, sunt prezentate în anexa III, tabelul 3. S-au calculat deasemenea abatorile, în procent, ale acestora față de valorile prevăzute de STAS 8134-77 pentru rezistență tehnică de durată a celor două mărci de oțel. În anexa III, tabelul 4 se prezintă valorile estimate pentru tensiunea minimă care produce ruperea prin fluaj, valori definite de limita inferioară a intervalului de încredere de 95%.

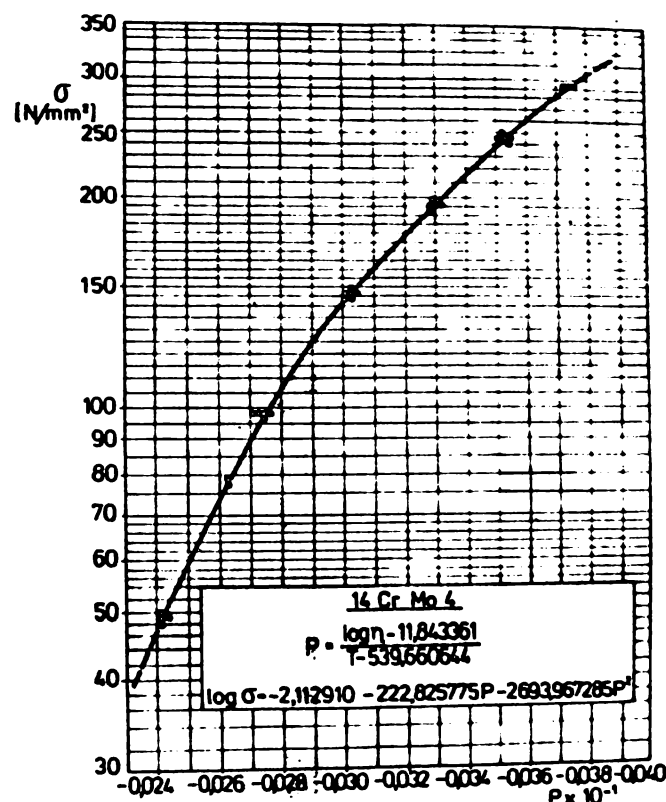
4.4. Analiza rezultatelor

Rezultatul obținut la cele două mărci de oțel analizate permit să se facă următoarele constatări :

a - datele experimentale de care s-a dispus săt
reprezentative atât din punct de vedere al valorilor obținute,



a



b

Fig. 4.5. Curba de bază conform metodologiei
propusă de autor pentru oțelul marca :

- a. OLT45K
- b. 14CrMo4

căt și al volumului de încercări pentru făccare din cele două mîrci de oțel. Aceasta este evidențiată de abatorile față de valoile caracteristicilor de marcă, prevăzute pentru cele două oțeluri în STAS 8184-77, de pînă la loc :

b - duratele de ruporo la fluaj pentru făccare ni-
vel de tensiune și temperatură formăză populații statistice
care admit repartiții de tip Weibull. Acestea pot fi definite
prin doi parametrii notați β și η ;

c - parametrul de formă β definește forma reper-
tiției duratăi de viață a unui oțel solicitat în condiții de

fluaj. Cu privire la valoarea acestui parametru se impun două observații și anume :

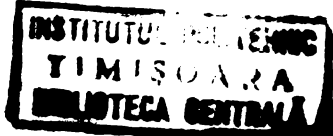
- pentru un obiect dat, parametrul β variază cu condițiile de solicitare, tensiunea de încercare având o influență mai puternică decât temperatura asupra dinamicii acestuia ;
- parametrul β variază cu factorii de material specifici mărcii de obiect studiate.

d - parametrul de scară reală η definește gradul de împrăștieră a duratelor de rupe prin fluaj. Asemănător parametrului β , parametrul η este dependent de condițiile de solicitare. Din prelucrarea rezultatelor obținute la cele două mărci de obiect studiate s-a constatat că :

- pentru valori date ale tensiunii de încercare, parametrul variază cu temperatura după o legătură de tip Arrhenius. Această lucru este evidențiat de faptul că, pentru întreaga gamă de tensiuni de încercare, s-au obținut valori peste 0,99 pentru coeficientul de corelație a izobarelor definite de ecuația (3.2) (v. tabelul 4.3) ;
- în coordonatele $\log \eta - T^{\circ}K$ izobarele caracteristice anci mărci de obiect tind să formeze un fascicol de dropte concurențe. Această particularitate corespunde ipotezelor de lucru ale metodoi de extrapolare Manson-Rieford și evidențiază necesitatea calculului coordonatelor ($\log \eta_a$; T_a), drept valoriile cele mai probabile ale punctelor de concurență a familiilor de izobare.

e - comparațiv cu metoda clasicii de prelucrare a rezultatelor de fluaj, noua metodologic propusă de autor prezintă următoarele avantaje :

- adoptă pentru prelucrarea statistică a rezultatelor experimentale de fluaj legătura cibull care este o legătură de repartiție generală și permite ascensiunea mai fidelă a unei funcții teoretice la specificul repartiției populării date, decât legătura de repartitie normală folosită curent ;



- permite determinarea constantelor de extrapolare pe baza unor calcule de optimizare care cu în vedere tendința de evoluție a întregii populații de date do care se dispune pentru o marșă de oțel. În cadrul acestei prelucrări, o importanță deosebită o prezintă cunoașterea legilor de variație a parametrilor caracteristicii β și η cu condițiile de solicitare.

f - avantajele aplicării noii metode la determinarea valorilor medii ale caracteristicilor de fluaj, cuprinse în prezent în standardele de material, se materializează în :

- posibilitatea creșterii preciziei calculelor, în special în cazul duratelor de extrapolare mari. Astfel se observă că abaterile față de valorile standardizate ale valorilor determine pentru caracteristicile de fluaj sunt mai mici la noua metodă comparativ cu cea clasică. De exemplu, abaterea maximă a valorilor pentru caracteristicile de fluaj calculate prin metoda propusă de autor este de +7,41% pentru oțelul OLT45K și de -7,30% pentru oțelul 14CrMo4 față de abateri de +9,26% și respectiv de -10,00%, obținute în cazul aplicării metodei clasice ;
- posibilitatea de a reduce volumul încercărilor de laborator necocare stabilirii nivelului calitativ al producției dintr-o anumită perioadă de timp (de exemplu producție realizată într-un an) și încadrarea acestora în valorile de rezistență la fluaj prevăzute în normă de material. Pentru realizarea acestei verificări, ar putea să fie suficiente prelucrarea rezultatelor la fluaj de la un singur nivel de încercare (tensiune, temperatură), și verificarea încadrării valorilor obținute pentru parametrii β și η în condițiile stabilite pentru oțelul respectiv. Această simplificare metodică este condiționată de culgoron unui volum mai mare de date privind comportarea oțelurilor pentru temperaturi elicitate în domeniul de tensiuni și temperaturi studiate în lumea c.

•/•

S - nouă metodă de prelucrare a datelor experimentale de fluaj permite stabilirea parametrilor legii de repartiție a întregului ansamblu de date de care se dispune pentru o marcu de oțel. În aceste condiții, este posibilă adoptarea conceptelor fiabiliste la determinarea caracteristicilor de material și corelarca superioară a acestora cu condițiile efective de solicitare din exploatare. Aceste aspecte fac obiectul analizei din paragraful următor.

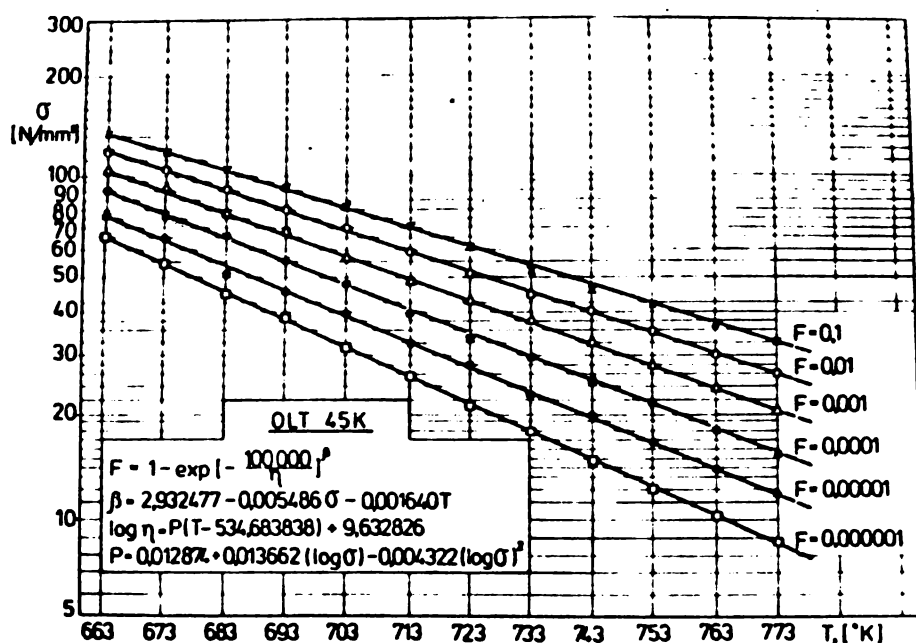
4.5. Fiabilitatea produselor siderurgice
Diagramme caracteisticice de fiabilitate
ale mărcilor de oțel OLT45K și 14CrMo4

Întrucătă calculul valorilor indicatorului de fiabilitate - probabilitatea de apariție a ruperii prin fluaj - a produselor din oțeluri pentru temperaturi ridicate, așa cum s-a arătat la punctul 3.3., este necesar să se cunoască :

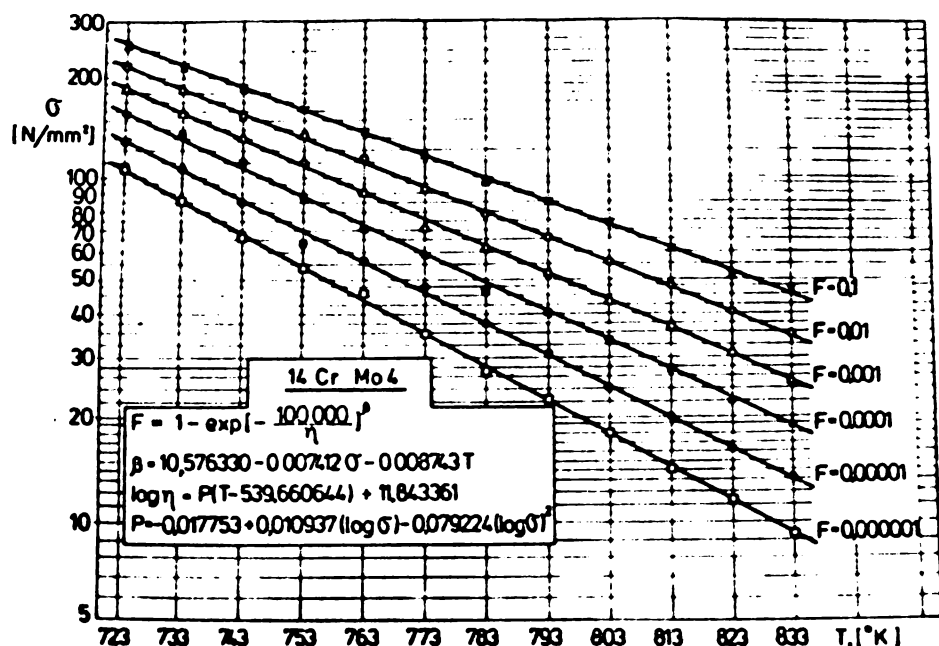
- valorile medii ale rezistenței la fluaj pentru durată de calcul și temperatură precizată conform relației (3.22)
- valorile parametrilor β și η din ecuațiile (3.15) și (3.16) care definesc repartitia duratelor pînă la rupeare prin fluaj :
- valoarea factorilor $\log \frac{\eta_a}{\eta_i} \cdot i \cdot T_a$ specifici mărcii de oțel studiate.

Metodologia de determinare a acestor mărimi și valorile caracteristice pentru oțelurile studiate, rezultă din cap. 4.4. Așa cum s-a arătat, pentru o funcționare în condiții de siguranță la parametrii nominali timp de 100.000 h, o construcție mecanică solicitată la fluaj trebuie să prezinte o probabilitate de apariție a ruperii prin fluaj (defiabilitate nominală) cuprinsă între $1 \cdot 10^{-3}$ - $1 \cdot 10^{-2}$ ($0,1\%$ - $0,001\%$). Rezultă că, pentru utilitatea practică, este necesar și se calculează indicatorul de fiabilitate corespondent acestui domeniu de valori, simbolul obinut de la diagrama caracteristică de fiabilitate a produselor din oțelul analizat.

In baza considerațiilor prezentate mai sus, s-au calculat tensiunile care în domeniul de temperaturi uzuale ale celor două mărci de oțel analizate asigură după o durată de 100.000 h, valori precizate pentru indicatorul de fiabilitate. În baza lor, s-au trase diagramile caracteristice de fiabilitate ale oțelurilor OLT45K și 14CrMo4 la durată de 100.000 h din fig. 4.6 (a și b).



a



b

Diagramele caracteristice de fiabilitate au utilitate în fază de proiectare a elementelor sau structurilor mecanice care lucrează în condiții de fluaj. Ele evidențiază domeniul recomandat de tensiuni și temperaturi de utilizare a produselor dintr-o marcă de oțel care asigură realizarea unei structuri mecanice cu o siguranță dată în funcționare. Astfel, dacă se consideră pentru mările de oțel analizate domeniul de temperaturi de utilizare recomandat prin norma de material, din diagrama caracteristică de fiabilitate, se pot stabili tensiunile maxime care asigură realizarea unor valori cuprinse între $1 \cdot 10^{-3}$ - $1 \cdot 10^{-5}$ pentru indicatorul de fiabilitate. În tabelul 4.5 se prezintă tensiunile rezultate la fiecare marcă de oțel analizată, pentru durată de utilizare de 100.000 h.

Tabelul 4.5

Marca do oțel	Temperatura de utilizare	Tensiunea maximă [N/mm ²] pentru 100.000 h de utilizare, corespunzând unei valori a in- dicatorului de fiabilitate de :	
		$1 \cdot 10^{-3}$	$1 \cdot 10^{-5}$
0LT45K	653 (390)	103	72
	773 (500)	21	12
14CrMo4	723 (450)	187	129
	833 (560)	25	15

Este evident faptul că, odată cu creșterea temperaturii de utilizare a elementului de construcție tensiunea admisă este mai mică. Cunoașterea acestor corlații permite proiectantului să decida în funcție de elementele de calcul de care dispune (durata de viață a construcției, tensiunea și temperatura de calcul, importanța construcției și valoarea indicatorului de fiabilitate a acestuia) asupra dimensionării de

produs și a mărcii de oțel adecvată pentru construcția mecanică po căre o realizează.

Diagramele caracteristice de fiabilitate oferă proiectantului un criteriu valoric pentru alegerea tensiunii admisibile de calcul, care asigură realizarea valorii dorite pentru indicatorul de fiabilitate. Pentru exemplificare, se analizează proiectarea unei structuri mecanice realizate din oțel 14CrMo4, pentru care temperatura de calcul este de 775°K (500°C). Se cere să se asigure o valoare a indicatorului de fiabilitate de $1 \cdot 10^{-4}$ după o utilizare de 100.000 h. Din diagrama caracteristică a oțelului dată în fig. 4.6 b, rezultă că tensiunea din elementele structurii mecanice analizate trebuie să fie de maximum 59 N/mm^2 . În cazul unei temperaturi de utilizare de 755°K (480°C) tensiunea nu trebuie să depășească 83 N/mm^2 .

Datelor prezentate confirmă faptul că indicatorul de fiabilitate definit, probabilitatea de apariție a ruperii prin fluaj, reprezintă o caracteristică de material care evidențiază mai sintetic decât tensiunea admisibilă comportarea unui produs din oțel în timpul utilizării la temperaturi ridicate. Acest fapt este confirmat de rezultatele obținute pe cele două mărci de oțel analizate, prin care se evidențiază valorile indicatorului de fiabilitate în funcție de principaliii factori care determină apariția și dezvoltarea fenomenului de fluaj (factori de solicitare și respectiv factori de material). Curba caracteristică de fiabilitate a unei mărci de oțel permite deci evaluarea riscului de apariție a ruperii prin fluaj. Prin folosirea indicatorului de fiabilitate se pot stabili limitele maxime acceptate ale factorilor de solicitare (tensiuni, temperatură) pentru produsul dintr-o mărcă de oțel, respectiv se poate face o alegere adecvată a mărcii de oțel.

Rezultă că probabilitatea de apariție a ruperii prin fluaj este o mărire fundamentală de proiectare, care conduce la o alegere judicioasă a oțelului ce urmărează să fie folosit și permite realizarea unei corelații optime între performanțele calitative ale produsului și condițiile de solicitare la care acesta trebuie să facă față în construcțiile mecanice.

și instalațiile care lucrează la temperaturi ridicate.

Modul concret de aplicare a indicatorului de fiabilitate la proiectarea sau verificarea construcțiilor mecanice sau a instalațiilor solicitate la fluaj este prezentat în capitolul următor.

CAPITOLUL V

UTILIZAREA INDICATORILOR DE FIABILITATE AI PRODUSELOR SIDERURGICE LA ALEGEREA MARCII DE OTEL SI VERIFICAREA COMPORTARII DE DURATA A INSTALATIILOR SOLICITATE LA FLUAJ

Caracteristicile convenționale de rezistență la fluaj corelate cu încercările curente de recepție sunt în măsură să asigure controlul operativ și eficient al calității produselor siderurgice destinate utilizării la temperaturi ridicate pe durate mari. Ele nu permit însă decât rezolvarea cu aproximativă a problemelor privind alegerea oțelurilor pentru temperaturi ridicate fără a evalua siguranța pe care acestea o prezintă în timpul exploatarii față de ruperea prin fluaj. Cu noastră legătura de variație a caracteristicii de rezistență la rupere prin fluaj a oțelului la o gamă largă de condiții de solicitare face posibilă aprecierea mai exactă a pericolului de amorsare și de propagare a ruperii prin fluaj.

In cadrul acestui capitol, se va arăta modul în care trebuie folosiți indicatorii de fiabilitate ai produselor siderurgice la definirea domeniului de utilizare a oțelurilor pentru temperaturi ridicate, precum și la evaluarea siguranței în funcționare a instalațiilor sub presiune care lucrează la temperaturi ridicate. Se vor analiza două cazuri și anume :

- proiectarea instalațiilor noi ;
- verificarea instalațiilor care au fost utilizate pînă la limita duratei de viață proiectată (100.000 h) sau peste aceasta.

5.1. Proiectarea instalațiilor care lucroază la temperaturi ridicate

Explotarea în condiții de siguranță a oricărui

construcții inginerătii impune realizarea unui domeniu de siguranță între parametrul de încărcare efectivă a materialului și performanțele de care acesta este capabil. În cele ce urmează se vor analiza particularitățile de comportare a oțelurilor pentru temperaturi ridicate în acest domeniu, care poate să ofere rezerve de valorificare superioară a metalului.

Datele de la care se pornește sunt următoarele :

- factorii de material care definesc legea de raportărie a rezistenței tehnice de durată ($\sigma_r/100.000$) ;
- factorii de încărcare și regim de funcționare (σ , T , t) ;
- indicatorul de fiabilitate al construcției (F) care s-a considerat egal cu $1 \cdot 10^{-3} - 1 \cdot 10^{-5}$ (0,1% - 0,001%) după 10^5 h de utilizare.

Se consideră cazul a două elemente tubulare ale cauzanului de abur de 1035 t abur/oră realizate din oțel 14CrNi4 la care se cunosc următoarele :

a) Caracteristici de proiectare

	Elementul 1	Elementul 2
- diametrul exterior (mm)	31,8	-
- diametrul interior (mm)	-	250
- presiunea internă nominală (ata)	203,5	201
- presiune de calcul (ata)	223,5	221
- temperatura fluidului ($^{\circ}$ K)	742	741
- adaosul de temperatură	60	25
- temperatura de calcul ($^{\circ}$ K)	802	766
- durata de calcul (h)		100.000

b) Caracteristici de material la temperatura de 802° K și 766° K

	Elementul 1	Elementul 2
- rezistență tehnică de durată (N/mm^2)	77	150
- parametrul de formă β	2,0	2,4
- parametrul de scară reală η , (h) 112701		110059

In baza acestor date, conform metodologiei actuale de proiectare, pentru un coeficient de siguranță egal cu 1,5 s-a determinat :

	Elementul 1	Elementul 2
- rezistență admisibilă (N/mm^2)	51,3	100
- grosimea de perete calculată (mm)	5,5	29,1
- grosimea de perete adoptată (mm)	6,0	34,0

Rezultă că tensiunea efectivă din cele două elemente este :- pentru elementul 1 : $\sigma_{ef} = 44,7 N/mm^2$

- pentru elementul 2 : $\sigma_{ef} = 62,6 N/mm^2$

Din diagrama caracteristică de fiabilitate a oțelului 14CrMo4 (fig. 4.6 b) rezultă că probabilitatea de rușine la fluaj după 100.000 h de funcționare este :

- pentru elementul 1 : $F < 1 \cdot 10^{-3}$ (0,1%)

- pentru elementul 2 : $F < 1 \cdot 10^{-6}$ (0,0001%)

Valorile calculate ale probabilităților de rușine la fluaj se determină cu relația (2) din anexa I. Acestea sunt:

- pentru elementul 1 : $F = 3,46 \cdot 10^{-4}$

- pentru elementul 2 : $F = 2,45 \cdot 10^{-7}$

Rezultă că, din punct de vedere fiabilist, elementul 1 a fost corect dimensionat, iar elementul 2 a fost supra-dimensionat, ceea ce are ca dezavantaje :

- creșterea greutății pe unitatea de putere instalată și implicit un preț de cost mai ridicat ;

- tensiuni suplimentare mai mari datorită creșterii diferențelor de temperatură pe grosimea peretelui conductelor.

Rezolvarea problemei privind proiectarea judicioasă a elementului 2 se poate face pe două căi, și anume :

1. In cazul în care dimensionarea conductei este determinată de condițiile constructive ale instalației termo-

energetice, se va aloge un oțel dintr-o clasă de calitate inferioară oțelului 14CrMo4, de exemplu oțelul 16Mo3 conform STAS 8134-77. Având un grad de aliere mai redus, noul produs, va avea și un preț de cost mai scăzut.

2. În cazul în care nu sunt condiții dimensiionale restrictive, dimensionarea se face în funcție de valoarea minimă a caracteristicii de fluaj. Pentru oțelul 14CrMo4 din tabelul 4 - anexa III se determină, prin interpolare, pentru durată de 100.000 h și temperatură de 766⁰K o valoare de 128 N/mm².

Comparativ cu valoarea rezistenței admisibile definită conform metodologiei de calcul existente, valoarea rezistenței admisibile calculată în ipoteza mai sus menționată este echivalentă cu o reducere a coeficientului de siguranță clasic cu cca 20%.

Calculindu-se grosimea de perete a conductoi, în același ipotезă, rezultă :

- grosimea de perete calculată (mm) 23,6
- grosimea de perete adoptată (mm) 24,0

Tensiunea efectivă din peretele conductoi este de 112 N/mm². Aceasta conduce la o valoare de $9,5 \cdot 10^{-4}$ pentru probabilitatea de rupere la fluaj după 100.000 h de utilizare, valoare situată în limitele specificate pentru indicatorul de fiabilitate al instalației analizate.

Exemplul de calcul de mai sus evidențiază avantajele utilizării indicatorului de fiabilitate drept mijloc fundamental de calcul în proiectarea structurilor solicitate la fluaj.

Aștefol, în cazul producătorilor siderurgici cu percuri grele (conducte de abur sau apă caldă) a fost evidențiată posibilitatea reducerii grosimii peretelui acestora. Aceasta are implicații economice deosebite, deoarece conduce la reducerea consumului de metal și, respectiv, a grăutății agregatului. În cazul analizat se apreciază că este posibilă o reducere a grosimii de perete a elementului cu 20-30%.

5.2. Verificarea capacității de rezistență a instalațiilor sub presiune care și-au epuizat durata de viață calculată

Conform metodologiei de lucru existente în vederea evaluării întregului potențial de rezistență de care sănătăabile oțelurile utilizate în instalațiile termoenergetice, la atingerea duratei de exploatare de 100.000 h, durată pentru care s-a proiectat elementele respective, se realizează un program de analize și încercări în baza căruia se determină capacitatea restantă de rezistență la fluaj a acestora. Se admite funcționarea în continuare a elementelor respective pentru o durată suplimentară de 20.000 h dacă la temperatura de utilizare a instalației este îndeplinită condiția :

$$\bar{\sigma}_{r/20.000} \geq \bar{\sigma}_{r/100.000} \quad (5.1)$$

unde :

$\bar{\sigma}_{r/20.000}$ - este rezistență la fluaj pe durată de 20.000 h a oțelului utilizat ;

$\bar{\sigma}_{r/100.000}$ - rezistență la fluaj pe durată de 100.000 h a oțelului conform normei de material.

Se precizează faptul că, în baza metodologiei existente privind proiectarea instalațiilor termoenergetice, valoarea caracteristicii de fluaj a oțelului conform normei de material, a stat la baza calculului de dimensiune a produselor respective în faza de proiectare a instalației. Admiterea unei valori inferioare pentru caracteristica de fluaj a oțelului conductelor utilizate conduce la obținerea unor valori inferioare pentru rezistență admisibilă de calcul.

După epuizarea durătoare prelungire acordată (20.000 h), programul de analize și încercări se repetă.

In practica industrială se întâlnesc relativ frecvent cazuri în care, în baza experienței acumulate privind comportarea în exploatare a oțelurilor pentru temperaturi ridicate,

s-a admis prelungirea repetată a utilizării unor elemente ale instalațiilor termoenergetice cu 20% pînă la 80% peste durate de 100.000 h, cu toate că valoarea caracteristicii de fluaj pentru 20.000 h a oțelului produselor utilizate o durată egală sau mai mare de 100.000 h a fost inferioară valorii precizate de normă de material [2, 39, 53, 75, 96].

Aceste constatări pun în evidență carentele metodologiei existente, care nu oferă elemente de calcul în vederea evaluării gradului de siguranță pe care îl mai prezintă aceste produse în timpul exploatarii lor peste durata de calcul. Pentru exemplificare se prezintă analiza efectuată pe materialul a două tronsoane luate din sistemul de conducte al unui agregat termoenergetic de 100 MW după o utilizare de cca 100.000 h (98903 h) [96]. Datele de care se dispune sunt următoarele :

a. Material :

- oțel 0,50% Cr, 1,0% Mo și 0,30% V
- marca 15225 conform CSN 415225

b. Caracteristici constructive :

- diametrul interior al conductelor (mm)	181
- grosimea de perete (mm)	32
- presiunea nominală a aburului(ata)	140
- temperatura aburului ($^{\circ}$ K)	923
- durata de exploatare (h)	100.000

Conform calculului de verificare din proiect, tensiunea efectivă din sistemul de conducte analizat este de 46 N/mm^2 .

**5.2.1. Interpretarea rezultatelor experimentale
prin metodologia clasică**

Conform instrucțiunilor ISCIR C 29-75 s-au efectuat următoarele analize și încercări :

- analiza chimică ;
- analiza microstructurală ;
- încercări de tractiune și rezistență la temperatură ambientă și la temperaturi ridicate ;
- încercări la fluaj.

Prelucrarea și interpretarea datelor experimentale a fost făcută conform metodologiei prevăzute în Instructiunile I.CIR C 29-75. Pentru prelucrarea datelor de fluaj s-a aplicat metoda parametrică Larson-Miller folosind pentru constanta de extrapolare valoarea de 20 [44].

Analizele și încercările mecanice de scurtă durată au pus în evidență următoarele aspecte :

- probele prezintă modificări față de structura oțelului 15225 în stare de livrare. Acestea constau în disocierea avansată a constituenților proeutectoidici (perlită și bainită), astfel că structura este formată din forită și precipitați de carburi în interiorul și la limita grăunților feritici (fig. 5.1). Functiul grăuntolui real este 8 (fig. 5.1 a). Pe unele porțiuni ale limitelor de grăunți carburile apar sub formă de lanțuri (fig. 5.1.b) ;



Atac nital 2³

x100



Atac nital 2³

x1000

Fig. 5.1. Microstructura produselor din oțel 15225 utilizate 100.000 h la 923K și 46 N/mm²
a. x 100 Atac nital 2³
b. x 1000 Atac nital 2³

- valorile pentru caracteristicile mecanice sunt mai

scăzute decât cele prevăzute în normă de produs pentru oțelul în stare de livrare (fig. 5.2).

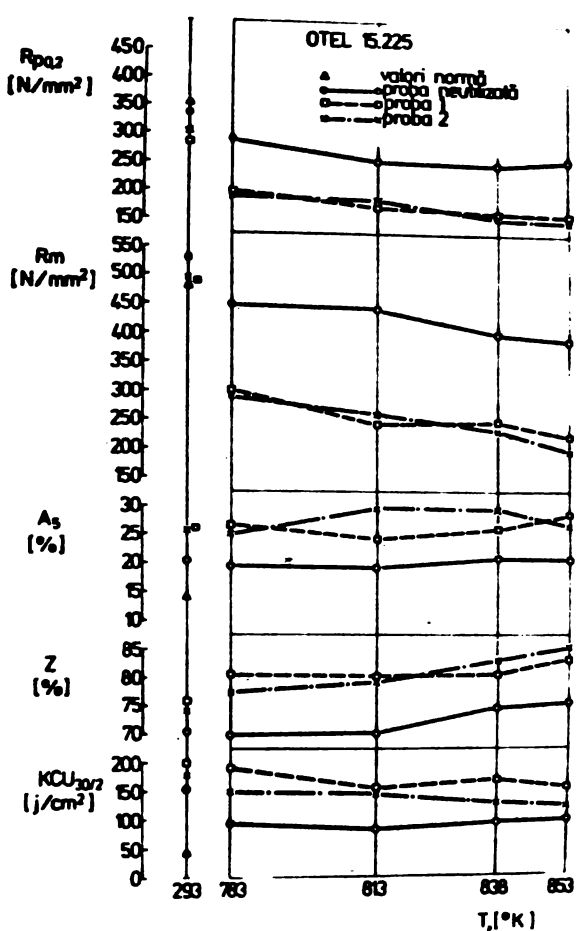


Fig.5.2. Variația caracteristicilor mecanice ale oțelului 15225 cu temperatura de încercare

In tabelul 1 din anexa IV se prezintă duratele pînă la rupere prin flacaj a probelor încercate în domeniul de temperaturi 753 - 953°K (480-680°C) și tensiuni cuprinse între 49 și 196 N/mm² (patru tensiuni de încercare) precum și valorile calculate ale parametrului Larson - Miller. Cu aceste valori s-a trasat curba de bază a oțelului analizat prezentată în fig. 5.3 a cărei ecuație este :

$$\log \bar{V} = -1,032962 + 0,449515 P - 0,014891 P^2 \quad (5.2)$$

Prin extrapolare s-a determinat că rezistența tehnicii de durată a oțelului după o utilizare de 20.000 h (120.000 h) la temperatura de 823°K (550°C) este de 96,0 N/mm². Această valoare este inferioară valorii prevăzută în normă de produs pentru rezistență tehnică de durată a oțelului 15225 la temperatura de 823°K (550°C) și durata de 100.000 h ($\bar{V}_{r/100.000} = 102 \text{ N/mm}^2$). Rezultă că nu este satisfăcută condiția impusă de relația (5.1) și conform instrucțiunilor ICSIR C 29-75 conductele analizate nu mai pot fi utilizate în continuare peste durata de calcul (100.000 h).

5.2.2. Interpretarea rezultatelor prin metoda indicatorului de fiabilitate

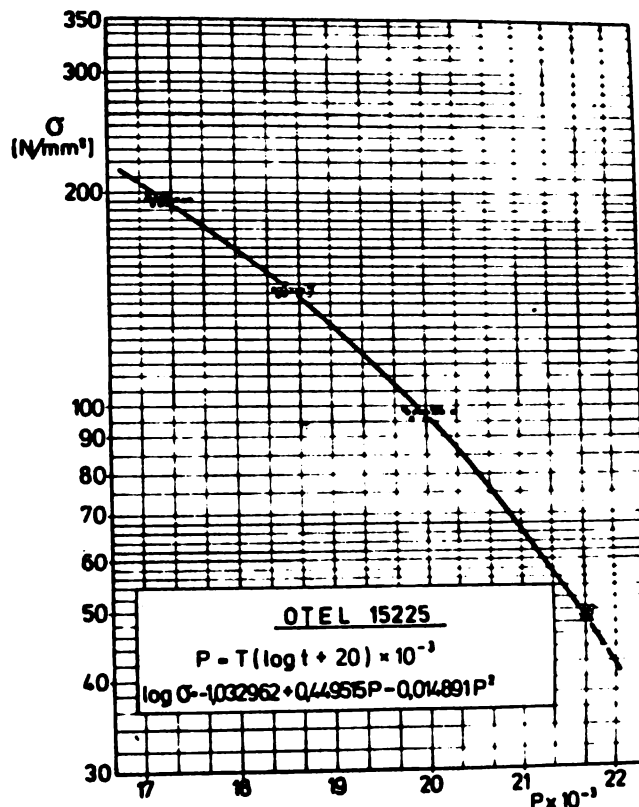


Fig. 5.3. Curba de bază a oțelului 15225 utilizat cca 100.000 h, determinată conform metodologici clasice

Aplicarea programului de calculator prezentat în cap. 3 datelor experimentale obținute prin încercări de fluaj a probelor din cele două tronsoane de conductă analizate conduce la următoarele rezultate :

- ecuația de corelație multiplă dintre parametrul de formă β a repartiției duratelor de rupere prin fluaj și factorii de solicitare este :

$$\beta = -1,863867 + 0,013605 T + 0,002472 T^2 \quad (5.3)$$

In tabelul 2 anexa IV se prezintă valorile parametrilor repartiției duratelor de rupere prin fluaj și valorile calculata ale parametrului de extrapolare Manson-Haferd.

- ecuația de corelație dintre logaritmul de rupere prin fluaj și parametrul de extrapolare Manson-Haferd (curba de bază a oțelului) este :

$$\log T = -2,026603 - 316,523926 P - 5794,863281 P^2 \quad (5.4)$$

unde :

$$P = \frac{\log \eta - 12,220293}{T - 411,747228} \quad (5.5)$$

In fig. 5.4 se prezintă curba de bază a oțelului 15225 utilizat cca 100.000 h în condiții de flacă :

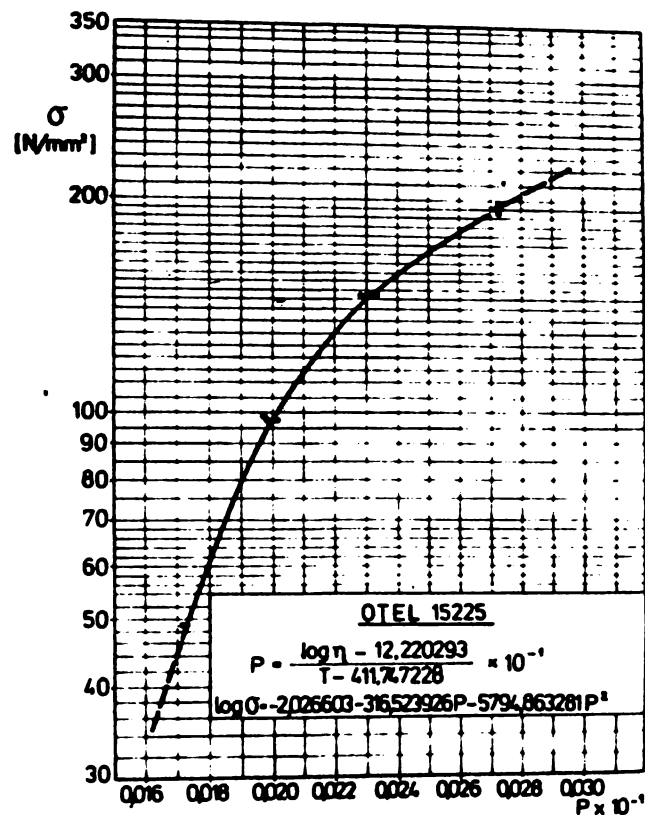


Fig. 5.4. Curba de bază a oțelului 15225 utilizat cca 100.000 h determinată conform metodei propusă de autor

- valorile medii estimate pentru tensiunea de rupere a materialului și respectiv valorile minime definite de limita inferioară a intervalului de încredere de 95% sănt prezentate în tabelul 5.1 ;

- valorile estimate ale indicătorului de fiabilitate după diferite durate de utilizare la temperatura de 823°K (550°C) și o tensiune efectivă în conductă de 46 N/mm^2 sănt prezentate în tabelul 5.2.

Tabelul 5.1

Durata de utilizare h	vălouarea medie	$\bar{T}_{r/t}$, (N/mm^2)	vălouarea minimă
10.000	97		76
20.000	82		63
30.000	73		57
40.000	69		53

Tabelul 5.2

Durata de utilizare h	F (t)
10.000	$2,86 \cdot 10^{-5}$
20.000	$1,73 \cdot 10^{-4}$
30.000	$4,96 \cdot 10^{-4}$
40.000	$1,05 \cdot 10^{-3}$

Rozultatele obținute evidențiază faptul că oțelul din care sînt realizate conductele analizate va prezenta după o utilizare suplimentară de pînă la 40.000 h la temperatura de 823°K și tensiunea de 46 N/mm^2 următoarele caracteristici :

- valoarea medie a rezistenței tehnice de durată de 69 N/mm^2 , valoare cu 15% mai mare decît tensiunea efectivă din conducte în timpul exploatării ;

- valoarea minimă a rezistenței tehnice de durată de 53 N/mm^2 cu 115% mai mare decît tensiunea efectivă din conducte ;

- valoarea probabilității de apariție a ruperii prin fluj de $1,05 \cdot 10^{-3}$.

Aceste constatări permit să se aprecieze că sistemul de conducte aferent agregatului termoenergetic de 100 MW analizat mai poate fi utilizat o durată de cca 40.000 h (durată totală cca 140.000 h). Se menționează faptul că, în baza acestui mod de lucru conductele analizate au fost utilizate în continuare și au atins în prezent cca 115.000 h de funcționare la parametrii nominali ai agregatului termoenergetic. Acest lucru a condus la obținerea în sistemul energetic a unei economii de peste 10 mil. lei.

Rozultă că aplicarea metodologică de interpretare a datelor de fluj propusă de autor, oferă un instrument de calcul pentru evaluarea riscului de apariție a ruperii prin

fluaj la elementele din instalațiile care și-au epuizat durata de utilizare.

Acum mod de lucru s-a aplicat în cazul a două blocuri termoenorgetice din sistemul energetic național. Primul bloc de 100 MW a avut în momentul preluării tronsonanelor de probă pentru analiză cca 100.000 h funcționare, iar cel de al doilea bloc de 50 MW cca 160.000 h. În ambele cazuri s-a constatat că este posibilă prelungirea utilizării materialului la parametrii nominali de funcționare cu cca 40.000 h. Se menționează faptul că pînă în prezent conductele analizate au fost folosite suplimentar cca 15.000 h fără să prezinte dificultăți în exploatare.

Referitor la eficiența economică a acestor rezultate, se constată că prelungirea utilizării sistemului de conducte de la un bloc termoenergetic cu o putere instalată de 100 MW, conduce la economii în valoare de 10 mil. lei (costul materialului și a manoperei de înlocuire), precum și realizarea suplimentară a cca 140 mil. Kwh, prin eliminarea duratei de oprire a instalației pentru înlocuirea conductelor, care este de cca 60 zile.

CONCLUZII

1. Ansamblul datelor cuprinse în lucrare confirmă posibilitatea asocierii unui indicator de fiabilitate mărimea care exprimă caracteristica de rezistență la fluaj a oțelurilor pentru temperaturi ridicate.

1.1. Probabilitatea de rupere la fluaj este o mărime care evidențiază influența factorilor de solicitare și de material asupra comportării în exploatare a produselor siderurgice din oțeluri pentru temperaturi ridicate.

Pentru valori date ale duratei de solicitare, curba de variație a probabilității de rupere la fluaj cu temperatura și tensiunea s-a numit curbă caracteristică de fiabilitate la fluaj. Această curbă poate fi exprimată analitic printr-o ecuație de tipul :

$$F(t) = e^{-(\frac{t}{\eta})^\beta}$$

în care t (h) reprezintă durata de utilizare a produsului; β – parametrul de formă, iar η – parametrul de scară reală a ropariției Weibull care definește populația statistică a duratelor de rupere la fluaj pentru un nivel de tensiune și o temperatură de încercare.

Valoarea probabilității de rupere la fluaj s-a definit ca indicator de fiabilitate la fluaj a produselor din oțel pentru temperaturi ridicate.

1.2. Mărimele β și η sunt factori de material dependenți de condițiile de solicitare la fluaj. Valoarea lor rezultă din relații de tipul :

$$\beta = a_0 + a_1 \sqrt{T} + a_2 T$$

$$\log \eta = P(T-T_a) + \log \eta_a$$

In cadrul lucrării au fost studiate două mărci de oțel românești la care s-au determinat următoarele pentru β și η :

- pentru oțelul OLT45K

$$\beta = -3,886695 + 0,011457 T \quad + 0,006462 T^2$$
$$\log \Gamma = P (T - 534,683838) \quad + 9,632826$$

- pentru oțelul 14CrMo4

$$\beta = -4,576330 + 0,007412 T \quad + 0,008743 T^2$$
$$\log \Gamma = P (T - 539,660644) + 11,843361$$

1.3. Referitor la dependența mărimilor β și η din ecuația curbei caracteristice de fiabilitate, de tensiune și temperatură se precizează următoarele :

a. Stabilirea relației analitice pentru mărimea trebuie să se bazeze pe determinări în întreaga gamă de tensiuni și temperaturi caracteristice unei mărci de oțel. Se observă că dintre cele doi factori de solicitare, tensiunea are o influență mai mare asupra valorii mărimii β decât temperatura.

b. Variația mărimii η cu temperatura și tensiunea de încercare la fluaj poate fi exprimată prin legi de tip Arrhenius; această concluzie, bazată pe date din literatură, a fost confirmată în cadrul experimentelor efectuate în domeniul de temperaturi $663^{\circ}\text{K} \leq T \leq 843^{\circ}\text{K}$ și duri de efective de încercare de $1 \cdot 10^2 \text{ h} \leq t \leq 2 \cdot 10^4 \text{ h}$. Coordonatele punctului de concurență a familiei de izobare $\log \Gamma - T^{\circ}\text{K}$, notate $\log \eta_a$ și respectiv T_a , sunt sensibile la variația temperaturii de încercare astfel că, a fost necesară întocmirea unui program de calcul în vederea optimizării valorilor acestora.

Intre mărimea η și durata medie de rupere la fluaj există relația :

$$\bar{t} = \eta \cdot \Gamma \left(1 + \frac{1}{\beta} \right)$$

2. Pe baza rezultatelor obținute la cele două oțeluri studiate a fost propusă o metodă de prelucrare a rezultatelor experimentale de fluaj care permite determinarea valorilor medii ale rezistenței la fluaj a oțelurilor pentru temperaturi ridicate precum și a valorilor minime de rezistență, definite de limita inferioară a intervalului de încrezere de 95%, pentru o valoare dată a indicatorului de fiabilitate.

Această metodă permite evaluarea caracteristicii de fluaj a oțelurilor pentru temperaturi ridicate și pentru o durată de utilizare de 200.000 h.

2.1. Valoarea medie a rezistenței la fluaj, determinată prin metoda propusă de autor, este dependentă de factorii de solicitare după o relație de tipul :

$$\log \bar{\sigma} = a_0 + a_1 P + a_2 P^2$$

unde P este parametrul de extrapolare Manson-Haferd. Valoarea acestuia este dată de relația :

$$P = \frac{\log \eta - \log \eta_a}{T - T_a}$$

Pentru mărcile de oțel studiate, ecuațiile stabilite (curbele de bază ale celor două oțeluri) sunt următoarele:

- pentru oțelul OLT45K

$$\log \bar{\sigma} = -0,023685 - 99,863098 P - 1063,949951 P^2$$

coeficient de corelație : 0,964993

unde :

$$P = \frac{\log \eta - 9,632826}{T - 534,683838}$$

- pentru oțelul 14CrMo4

$$\log \eta = -2,112911 - 222,825772P - 2683,967285 P^2$$

coeficient de corelație : 0,974859

unde :

$$P = \frac{\log \eta - 11,843361}{T - 539,660644}$$

Extinderea aplicării noii metode la toată gama de oțeluri pentru temperaturi ridicate produse în R.S.R., lucrări care sunt în curs de efectuare, permite realizarea unei caracterizări superioare a acestora. Valorile de material obținute urmăză să fi introduse în STAS 8184-77 a cărui actualizare se face în anul 1979.

2.2. Confirmarea pe un număr mai mare de mărci de oțeluri deschide perspective de îmbunătățire în continuare a metodologiei propuse și anume :

a. reducerea volumului încercărilor de laborator necesare pentru evaluarea rezistenței la rupere prin fluaj a unui oțel. Acest lucru este posibil în cazul în care s-ar confirma existența unei corespondențe, sugerată de rezultatele experimentale obținute la cele două mărci de oțel, între valoarea factorilor de sensibilitate ale oțelului cu temperatura și durata de încercare ($\log \eta_a$, T_a) și unii factori de material ai oțelurilor pentru temperaturi ridicate cum sunt gradul de aliere, natura constituenților structurali, punctajul granulației reale ;

b. simplificarea ecuației curbei caracteristice de fiabilitate la fluaj în intervalul de temperaturi și tensiuni de solicitare uzuale. Aceasta este posibil în cazul în care se evidențiază existența unei variații relativ reduse a mărimii β cu tensiunea, respectiv temperatura de încercare, ceea ce ar permite definirea acesteia drept o mărime constantă, caracteristică pentru o anumită marcă.

3. Definirea indicatorului de fiabilitate - probabilitate de rupere la fluaj - în formă analitică, arătată la pct. 1, deschide perspective de îmbunătățire a modului de utilizare a oțelurilor pentru temperaturi ridicate în comparație cu posibilitățile oferite de metodele de lucru aplicate în prezent și anume :

a. oferă posibilitatea de interpretare a rezultatelor unor încercări de fluaj efectuate la produsele din oțeluri pentru temperaturi ridicate în sensul estimării nivelului de calitate al acestora și a comportării lor în exploatare ;

b. oferă posibilitatea rezolvării la un nivel superior a problemei de alegere a oțelurilor pentru temperaturi ridicate prin realizarea unor nivole de siguranță optime în funcție de performanțele oțelului și condițiile de solicitare la care acestea trebuie să facă față în construcțiile mecanice sub presiune care lucrează la temperaturi ridicate ;

c. permite formularea unor direcții de lucru pe linia valorificării caracteristicilor de rezistență la flanj de care dispun oțelurile pentru temperaturi ridicate în scopul realizării unor construcții mecanice cu un nivel corespunzător de fiabilitate, gabarit și volum de investiții mai redus.

4. Noua metodologie oferă criterii valorifice de estimare a riscului de apariție a ruperii la fluaj pentru elementele din oțel (conducte de legătură primare și secundare) din instalațiile termoenergetice, în vederea folosirii lor pentru durată de utilizare specificată prin proiect (100.000 h). Această metodologie a fost aplicată la evaluarea posibilității de utilizare a sistemului de conducte aferente la două blocuri termoenergetice din sistemul energetic național care au fost utilizate cca 100.000 h și respectiv cca 160.000 h.

Rezultatele obținute au confirmat faptul că sistemele de conducte analizate pot fi folosite suplimentar cca 40.000 h, ceea ce permite realizarea unor importante economii. Astfel, s-a calculat că prelungirea duratei de utilizare a sistemului de conducte ale unui bloc termoenergetic de 100 MW conduce la economii în valoare de 10 mil. lei (costul materia-

lului și al manoporei de înlocuire a conductelor), precum și la realizarea suplimentară a cca 140 mil. Kwh, prin eliminarea duratei de oprire a instalației pentru înlocuirea conductelor, care este de cca 60 zile.

5. Confirmarea rezultatelor obținute privind evaluarea siguranței în funcționare a instalațiilor termoenergetice care au fost utilizate o durată egală sau mai mare decât durata de utilizare precizată prin proiect permite introducerea indicatorului de fiabilitate drept criteriu de evaluare a siguranței acestor instalații conform instrucțiunilor tehnice ISCIR C 29-75.

PRINCIPALELE CONTRIBUTII ALE LUCRARII

1. Sintetizarea din volumul unor date referitoare la fenomenul de fluaj a elementelor esențiale care caracterizează rezistența la rupere prin fluaj a oțelurilor pentru temperaturi ridicate și organizarea pe această bază a studiilor care au condus la elaborarea lucrării de față.

2. Propunerea cu caracter de noutate pentru țara noastră a unei metodologii de interpretare a datelor experimentale de fluaj, finalizată prin programe de calculatoare care permit determinarea caracteristicii de rezistență la fluaj a produselor din oțeluri pentru temperaturi

3. Aplicarea noii metodologii de prelucrare și interpretare a datelor de fluaj la mărcile de oțel românești a permis determinarea pentru prima dată a caracteristicilor de fluaj ale acestor oțeluri pentru o durată de 200.000 h de utilizare.

4. Definirea într-o formă analitică originală a unui indicator de fiabilitate-probabilitate de rupere la fluaj - care permite explicitarea influenței factorilor de solicitare asupra comportării la fluaj a oțelurilor în timpul utilizării lor la instalațiile și agregatelor care lucrează la temperaturi ridicate.

5. Verificarea experimentală a ipotezelor formulate în lucrare în cadrul unui program vast de încercări de laborator pe durațe efective totale de peste $3 \cdot 10^6$ h.

6. Formularea unor direcții noi de lucru în problema de mare importanță tehnică și economică, vizând îmbunătățirea modului de utilizare a oțelurilor pentru temperaturi ridicate și creșterea siguranței în exploatare a instalațiilor și agregatelor solicitate la fluaj.

7. Aplicarea noii metodologiei de prelucrarea la interpretarea datelor experimentale de fluaj ale conductelor cu poroși groși din două instalații termoenergetice exploataate o durată egală și respectiv mai mare decât durata de utilizare precizată prin proiect (100.000 h) oferă, față de metodologia existentă, un criteriu valoric de estimare a riscului de apariție a ruperii prin fluaj în timpul utilizării acestora în continuare. Acest lucru permite utilizarea conductelor pînă la epuizarea capacitatei lor de rezistență și conduce la realizarea unor importante economii în sistemul energetic național.

8. Noua metodologie este cuprinsă în proiectul de standard "Încercarea de rupere prin fluaj a oțelurilor la temperaturi ridicate", STAS 8894 - revizuit 1979 și va sta la baza determinării caracteristicilor de fluaj pentru întreaga gamă de oțeluri pentru temperaturi ridicate produse în R.S.R. (STAS 8184 - actualizare 1979). De asemenea evaluarea indicatorului de fiabilitate a instalațiilor care lucrează la temperaturi ridicate urmează să fie introdusă în mod experimental în instrucțiunile tehnice ISCIR C 29-75, cu ocazia actualizării lor.

B I B L I O G R A F I E

1. Baron T. : Calitatoa și fiabilitatea produselor, Editura Didactică și Pedagogică, București, 1976.
2. Basilo D., Musso G., Volta G. : La Metallurgia Italiana, 1970, nr. 3, p. 99-109.
3. Berezina T.G., Leb F.S., Kengis V.P. : Metallovidenie i tormiceskaia obrabotka metallov, 1972, nr. 4, p. 33-36.
4. Boesebeck K., Heuser F.W., Oude-Hengel H.H., Vorwerk K. : Technischer Überwachung, 17, 1976, no. 10, p. 352-355.
5. Boleantu L. : Rezistența materialelor, Institutul Politehnic, "Traian Vuia", Facultatea de Mecanică, Timișoara, 1973.
6. Borges J.F., Castanheta M. : Siguranța structurilor, Editura Tehnică, București, 1974.
7. Bull G.B. : Electrical Review, 1972, nr. 3, p. 803-807.
8. Burducea C., Motoiu C., Goldenberg C., Bran L. : I^a Conferință a Energeticienilor din România, Secția a VI^a, București, 17-19 octombrie 1974.
9. Buzdugan G. : Rezistența materialelor, Editura Tehnică, București, 1976.
10. Brown G.G., Rutemiller H.C. : IEEE Transactions on Reliability, R-22, 1973, nr. 2, p. 78-82.

./. .

11. Calvet J.N., Bret P.L., Petrequin P., Weisz M. :
Les Mémoires Scientifiques de la Revue de Métallurgie, 72, 1975.
12. Caubo M., Mathonet J. : Metallurgical Reports, CRM, 1971,
nr. 27, p. 33-48.
13. Chiriteescu M. : Sesiunea de Comunicări Stiințifice IRNE,
Sectiunea a III-a lucrarea 53, Pitești - România,
23-24 octombrie 1978.
14. Cioclov D. : Rezistență și fiabilitate la solicitări variabile, Editura Facla, Timișoara, 1975.
15. Constantinescu A. : Teză doctorat, Institutul Politehnic "Traian Vuia", Facultatea de Mecanică, Timișoara, 1970.
16. Constantinescu A., Lașcu - Simion N., Rotenstein B. : Fluajul metalelor, Editura Tehnică, București, 1970.
17. Constants B., Strudel J.L, Valibus L. : Les Mémoires Scientifiques de la Revue de Métallurgie, 72, 1975,
nr. 10, p. 717-735.
18. Cristuineca C. : Teză doctorat, Institutul Politehnic "Traian Vuia", Facultatea de Mecanică, Timișoara, 1977.
19. Dichl H., Granacher J., Wiegand H. : Archiv für das Eisenhüttenwesen, 46, 1975, nr. 6, p. 407-410.
20. Dichl H., Granacher J., Wiegand H. : Archiv für das Eisenhüttenwesen, 46, 1975, nr. 7, p. 461-463.
21. Dobres H., Molzer B. : Neue Hütte, 18, 1973, nr. 5,
p. 304-307.

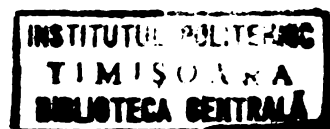
22. Drouzy M., Jacob S., Richard M. :
Revue de Métallurgie, 75, 1978, nr. 1, p. 51-59.
23. Elter C. : Technischer Überwachung, 18, 1977, nr. 1,
p. 3-8 și nr. 3, p. 95-100.
24. Engol R.J. : Nuclear Safety, 15, 1974, nr. 4, p. 387-392.
25. x * x : Ergebnisse deutscher zeitstandversuche langer
Dauer, Verlog Stahleisen MEI, Düsseldorf, 1969.
26. Essam El. : Archiv für das Eisenhüttenwesen, 46, 1975,
nr. 8, p. 541-546.
27. Etienne C.F., Husslage W. :
Archiv für das Eisenhüttenwesen, 48, 1977, nr. 9,
p. 495-499.
28. x * x : Fieabilitatea în tehnica, Terminologie,
STAS 8174-73.
29. x * x : Fieabilitate. Condiții generale, STAS 8564-70.
30. Fabritius H., Schnabel E. : Archiv für das Eisenhüttenwesen,
47, 1976, nr. 5, p. 301-306.
31. Finkelnburg D., Ilschner B. : Archiv für das Eisenhüttenwesen,
47, 1976, nr. 4, p. 235-240.
32. Foldyna V., Jakobova A. : Hutnické Listy, 1973, nr. 6,
p. 426-430.
33. Foldyna V., Brazdil V., Frnka T. :
Hutnické Listy, 1974, nr. 7, p. 487-496.
34. Garofalo F. : Déformation et rupture par fluage, Editore
Dunod, Paris, 1970.

35. Glusker B.N. : Energomasinostroenie, 19, 1973, nr. 6, p. 7-10.
36. Goldhoff R.H. : Journal of Testing and Evaluation, 2, 1974, nr. 5, p. 387-424.
37. Granacher J. : Stahl und Eisen, 95, 1975, nr. 8, p. 367-369.
38. Gramberg U., Müller M. : Technischer Überwachung, 17, 1976, nr. 10, p. 352-355.
39. Hajdu I., Kovats L., Cristuinea C. :
Sesiunca de Comunicări Tehnico-Stiințifice,
Institutul Politehnic "Traian Vuia", Secția V,
lucrarea 22, Timișoara, 13-15 Mai 1977.
40. Iliescu D.V., Voda V. : Statistică și Toleranțe, Editura Tehnică, București, 1977.
41. Ionescu I., Lupescu L., Radu D. : I^a Conferință a Energeticienilor din România, Secția a VI-a București, 17-19 octombrie 1974.
42. x * x : Încercarea la fluaj a oțelurilor la temperaturi ridicate fără întreruperea sarcinii, STAS 6593-1979 (proiect).
43. x * x : Încercarea la rupere prin fluaj a oțelurilor la temperaturi ridicate, STAS 8894-1979 (proiect).
44. x * x : Instrucțiuni Tehnice ISCIR C 29-75.
45. Jakobova A., Foldyna V., Prunka T. : Archiv für das Eisenhüttenwesen, 43, 1972, nr. 1, p. 55-60.
46. Jayaram I.C. : Microelectronics and Reliability 13, 1974, nr. 1, p. 29-32.

47. Juran J.M., Gryna F.M. jr : Calitatea produselor, Editura Tehnică, Bucureşti, 1973.
48. Kloos K.H., Granacher J., Dichl Al., Polziu T. : Archiv für das Eisenhüttenwesen, 48, 1977, nr. 12, p. 645-648.
49. Kloos K.H., Granacher J., Alcet E. : Archiv für das Eisenhüttenwesen, 49, 1978, nr. 5, p. 259-263.
50. Kovacs L. : Teză doctorat, Institutul Politehnic "Traian Vuia", Facultatea de Mecanică, Timișoara, 1976.
51. Krisch A. : Archiv für das Eisenhüttenwesen, 46, 1975, nr. 8, p. 527-532.
52. Krisch A. : Archiv für das Eisenhüttenwesen, 49, 1978, nr. 7, p. 363-364.
53. Laçcu - Simion N., Rosenstein B., Mazilu E. : Energetica, 21, 1973, nr. 10, p. 463-467.
54. Laçcu - Simion N., Mazilu E. : Metalurgia, 29, 1977, nr. 12, p. 637-640.
55. Laçcu - Simion N., Mazilu E., Scortea C. : Sesiunea de Comunicări Stiințifice ICLM, Secția II, lucrarea 1/3, București 7-9, septembrie 1977.
56. Laçcu - Simion N., Mazilu E. : Neue Hütte, 24, 1979, în curs de apariție.
57. Leckie F.A., Hayhurst D.R. : Acta Metallurgica, 25, 1977, nr. 9, p. 1059-1070.
58. Mann N.R., Schafer R.E., Singpurwalla N.D. : Methods for Statistical Analysis of Reliability and Life Data, New York, John Wiley, 1974.

59. Mazilu E., Scortea C. : Metalurgia, 25, 1973, nr. 8,
p. 462-466.
60. Mazilu E., Scortea C., Rotenstein B. : Sesiunea de Comuni-
cări Stiințifice ICEM, Secția II, lucrarea 6/3,
București, 12-14 septembrie 1973.
61. Mazilu E. : Sesiunea de Comunicări Stiințifice ICEM,
Secția II, lucrarea 3/3, București, 11-13 septem-
brie 1974.
62. Mazilu E. : Mecanismele fluajului și comportarea metale-
lor solicitate în condiții de fluaj, Institutul
Politehnic "Traian Vuia", Facultatea de Mecanică,
Timișoara, noiembrie 1974.
63. Mazilu E. : Sesiunea de Comunicări Stiințifice ICEM,
Secția II, lucrarea 4/2, București, 10-12 septem-
brie 1975.
64. Mazilu E. : Aplicarea în calculul de proiectare a elemen-
telor care lucrează în condiții de temperatură și
presiune ridicată a conceptelor fiabiliste,
Timișoara, octombrie 1975.
65. Mazilu E. : Aplicarea conceptului de fiabilitate în calcu-
lul rezistenței tehnice de durată a oțelurilor
termorezistente pentru țevi, Institutul Politeh-
nic "Traian Vuia", Facultatea de Mecanică, Timi-
șoara, mai 1976.
66. Mazilu E. : Sesiunea de Comunicări Stiințifice ICEM,
Secția II, lucrarea 2/2, București, 8-10 septem-
brie 1976.
67. Mazilu E. : Sesiunea de Comunicări Stiințifice ICEM, Sec-
ția II, lucrarea 5/2, București, 8-10 septembrie
1976.

•/•



68. Mazilu E. : Metalurgia, 28, 1976, nr. 10, p. 545-550.
69. Mazilu E. : Energetica, 25, 1977, nr. 1, p. 8-18.
70. Mazilu E. : Organizarea și utilizarea metodelor moderne în controlul tehnic de calitate, Centrul de Perfectionare M.I.H., martie 1977.
71. Mazilu E. : Sesiunea de Comunicări Stiințifice ICEM, Secțiunea a II-a, lucrarea 4/3, București, 7-9 septembrie 1977.
72. Mazilu E., Lașcu-Simion N., Scortea C. : Sesiunea de Comunicări Stiințifice ICEM, Secțiunea a II-a, lucrarea 3/3, București, 7-9 septembrie 1977.
73. Mazilu E. : Săptămîna Stiinței și Tehnicii Românești, Secția Metalurgie, București, 3-7 aprilie 1978.
74. Mazilu E., Popescu T. : Sesiunea de Comunicări Stiințifice ICEM, Secțiunea II, lucrarea 1/2, București, 7-9 septembrie 1978.
75. Mazilu E., Scortea C. : Sesiunea de Comunicări Stiințifice ICEM, Secțiunea II, lucrarea 7/3, București, 7-9 septembrie 1978.
76. Mazilu E. : Sesiunea de Comunicări Stiințifice IRNE, Secțiunea a III-a, lucrarea 51, Pitești, 23-24 octombrie 1978.
77. Mazilu E., Scortea C. : Metalurgia, 31, 1979, nr. 4, p. 172-175.
78. Maynard H.B. : Manual de inginerie industrială, vol. II, Editura Tehnică, București, 1976.

79. ~~x~~ ~~x~~ : Metode de evaluare și de verificare a limitei de curgere la temperaturi ridicate pentru oțeluri carbon și slab aliante utilizate la cazane și recipiente sub presiune, CTAS 10807-76.
80. Mieze G. : RISØ, Denmark, 1969, 24-26 September, p. 301-322.
81. Mihoc G., Muja A., Diațcu C. : Bazele matematice ale teoriei fiabilității, Ed. Dacia, Cluj-Napoca, 1976.
82. Miscenko L.D., Diacenko S.S., Tarabanova V.P. : Ceornala Metallurghia, 1978, nr. 2, p. 110-112.
83. Montagnani M., Putzeys J. : RISØ, Denmark 1969, 24-26 September, p. 336-343.
84. Murry G. : Revue de Métallurgie, 75, 1978, nr. 3, p. 165-176.
85. Murthy J.S. : Acta Technica Academiae Scientiarum Hungarical, 74, 1973, nr. 1-2, p. 163-172.
86. ~~x~~ ~~x~~ : Nahtlose Rohre aus Wärmfesten Stählen; DIN 17175 - 1978 (proiect).
87. Nechtelberger E., Kreitner L.T., Krainer E. : Archiv für das Eisenhüttenwesen, 44, 1973, nr. 2, p. 135-140.
88. Nelson W. : Qualité et Fiabilité, 7, 1971, nr. 2, p. 13-35.
89. Nițu V. : Fiabilitatea instalațiilor energetice, Ed. Academici R.S.R., București, 1973.
90. Olteanu D., Mazilu E. : Sesiunea de Comunicări Științifice ICEM, Secțiunea III, lucrarea 5/3, București, 12-14 septembrie 1973.

91. x * x : Optimișri pentru temperaturi ridicate. STAS 8184-77.
92. Oude-Hengel H.L., Vorwerk Z., Heuser F.W., Boesebeck K. : Technischer Überwachung, 17, 1976, nr. 9, p.301-307.
93. Oprean A., Dorin Al., Drimer G., Paris A., Ionescu I.A. : Fiabilitatea mașinilor ușor, Ed. Tehnică, București, 1979.
94. Patzak G. : Qualität und Zuverlässigkeit, 16, 1971, nr. 6, p. 127-130.
95. Pollard A., Rivoire C. : Fiabilité et Statistiques prévisionnelles, Ed. Eyrolles, Paris, 1971.
96. Popa T., Baciu A., László T. : Avarii în instalațiile energetice, Ed. Tehnică, București, 1978.
97. x * x : Precripții tehnice, I.C.M.R C 1 - 73.
98. x * x : Precripții tehnice I.C.M.R C 4-73.
99. Prnka T., Foldyna V., Sobotka J. : Archiv für das Eisenhüttenwesen, 44, 1973, nr. 4, p. 321-328.
100. Prnka T., Sobotka J. : Hutnické Listy, 1975, nr. 1, p. 31-38.
101. Rovenis J.V. : Proc. Int. Conf. on Quality Control, Tokyo, 1969, p. 523-526.
102. Radhakrishnan V.K. : Archiv für das Eisenhüttenwesen 46, 1975, nr. 5, p. 338-339.
103. Renort M. : Fiabilitatea utilajului chimic, Institutul Politehnic, Facultatea de Mecanică, București, 1974.

104. x * x : Résumé des caractéristiques moyennes de contrainte de rupture pour les aciers coroyés pour chaudières et appareils à pression pour des durées de 10.000 à 250.000 heures et courbes types, ISO-DATA nr. 1, 1975.

105. Rinaldi F., Valente G. : La metallurgia italiana, 1975, nr. 1, p. 9-18.

106. Rotenştein B., Boeru V., Mazilu E. : Vtoroi Mejdunarodnii Simpozium po Metallovedenie i Termiceskoi Obrabotke, Varna - Bulgaria, 12-15 mai 1969.

107. Rotenştein B., Boeru V., Mazilu E. : Al 39-lea Congres Internațional de Chimie Industrială București - România, 7-11 septembrie 1970.

108. Rotenştein B., Mazilu E. : Producerea, transportul și distribuția energiei electrice și termice, 6, 1973, nr. 1, p. 33-40 și nr. 2, p. 94-103.

109. Roure M.A. : Revue Fiabilité du CNET, 1973, nr. 13, p. 17-29.

110. Sadananda K. : Metallurgical Transactions, 9A, 1978, nr. 5, p. 635-641.

111. Schmitt W., Steinem A. : Archiv für das Eisenhüttenwesen, 44, 1973, nr. 4, p. 291-296.

112. Schwaab P. : Archiv für das Eisenhüttenwesen, 46, 1975, nr. 12, p. 805-810.

113. Scortea C., Mazilu E. : Sesiunea de Comunicări Stiințifice ICEM, Secțiunea II, lucrarea 3/2, București, 10-12 septembrie 1975.

114. Scortea C., Mazilu E. : Sesiunea de Comunicări Stiințifice, ICEM, Secțiunea II, lucrarea 1/3, București 8-10 septembrie 1976.
115. Szombatfalvy A. : Kohäszer, 1971, nr. 9, p. 398-403.
116. x x : Tevi din oțel fără sudură pentru temperaturi ridicate, STAS 3473-79.
117. Titte E. : Qualität und Zuverlässigkeit, 18, 1973, nr. 5, p. 108-113 și nr. 7, p. 163-165.
118. Trautmann K. : Brennstoff - Wärme - Kraft, 26, 1974, nr. 6, p. 261-265.
119. Vanecek V., Krumpos I., Koutsky J. : Archiv für das Eisenhüttenwesen, 46, 1975, nr. 11, p. 723-728.
120. Vetter H. : Energietechnik, 23, 1973, nr. 3, p. 107-114.
121. Voda R. : Revista de statistică, 25, 1976, nr. 4, p. 42-43.
122. Wiegand H., Granacher J., Sander H. : Archiv für das Eisenhüttenwesen, 46, 1975, nr. 8, p. 533-538.
123. Wickens A., Draper J.H.M., Williamson J. : Archiv für das Eisenhüttenwesen, 48, 1977, nr. 11, p. 591-593.
124. Williams O.S., Kondratieva A.N., Kovoleva A.D. : Stal, 1972, nr. 2, p. 165-167.

Anexa I

Tabelul 1 - Relații de calcul pentru indicatori de fiabilitate și parametri statistici ai repartițiilor utilizate în teoria fiabilității

Nr. art.	Indicatori de fiabilitate și parametri statistici	Relațiile de calcul pentru repartiția
0	Normală	Exponențială
1	1	2
2	3	3
3	4	4
4		
1	Funcția de fiabilitate, $R(t)$	$\frac{1}{S\sqrt{2\pi}} \int_t^{+\infty} e^{-\frac{1}{2}(\frac{t-\bar{t}}{S})^2} dt$
2	Funcția de durată, $F(t)$	$\frac{1}{S\sqrt{2\pi}} \int_{-\infty}^t e^{-\frac{1}{2}(\frac{t-\bar{t}}{S})^2} dt = 1 - R(t) = 1 - e^{-\lambda t}$
3	Principul mediu de bună funcționare (T')	$\int_0^\infty R(t) \cdot dt$ sau $\int_0^\infty t \cdot f(t) \cdot dt$

•/•

Întrebare I (continuare)

$$0 \quad 1 \quad 2 \quad 3 \quad 4$$

4 Intensitatea de defectare, $Z(t)$

$$\frac{f(t)}{R(t)}$$

λ

5 Densitatea de reacțiie, $\rho(t)$

$$\frac{1}{s\sqrt{2\pi}} e^{-\frac{1}{2}(\frac{t-\bar{t}}{s})^2}$$

6 Locația rezonanței, t

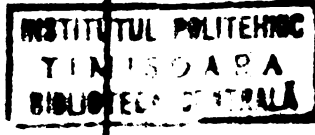
$$\bar{t}$$

$$\frac{\beta}{\eta} \cdot t^{\beta-1}$$

$$\lambda \cdot e^{-\lambda t}$$

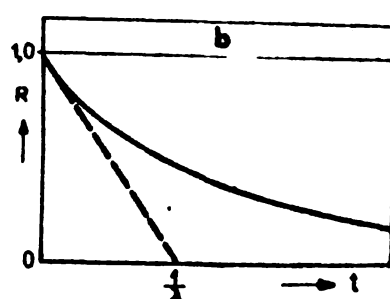
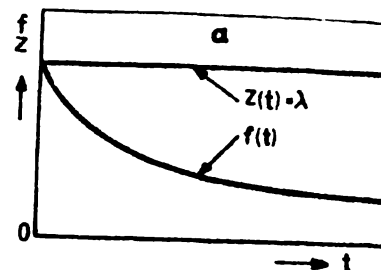
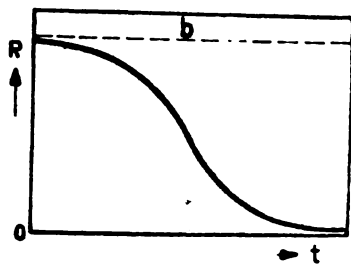
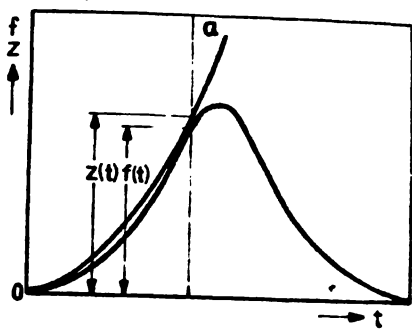
7 Dispersionă, s^2

$$\eta^2 \left[\Gamma(1 + \frac{2}{\beta}) - \Gamma^2(1 + \frac{1}{\beta}) \right]$$



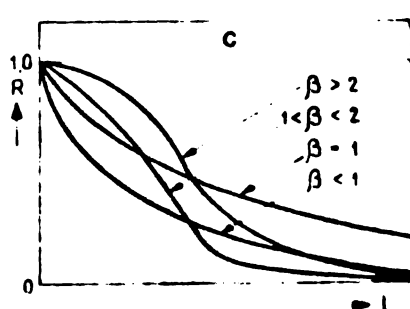
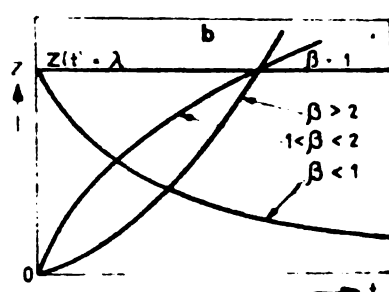
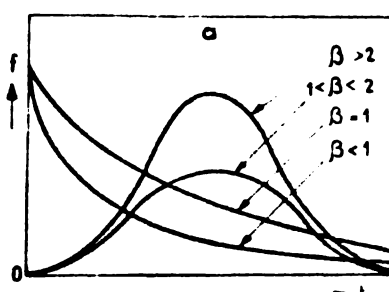
Observație: Γ este funcția Laplace - Gauss

Anexa I (continuare)



a

b



c

Fig. 1. Variația cu timpul a principaliilor indicatori de fiabilitate și parametri statistici pentru repartițiile :

- a. normală
- b. experimentală
- c. Weibull

Anexa II

Tabelul 1 Dimensiunea probelor, tratamentul termic aplicat și rezultatele analizelor de compozitie

probă	Dimensiunile țevilor	Tratamentul termic			Compoziție chimică, %						
		mm	Normalizare OC	Revenire OC	Mn	Si	Cr	Ni	P	S	A1
1	2	3	4	5	6	7	8	9	10	11	
Otel Marca OIM45K											
1	57,0 x 5,0	880/30'	-	0,14	0,52	0,20	-	-	0,017	0,038	0,016
2	60,0 x 4,5	880/30'	-	0,20	0,58	0,22	-	-	0,021	0,040	0,016
3	76,0 x 6,0	880/30'	-	0,17	0,52	0,21	-	-	0,009	0,010	0,07
4	143,0 x 20,0	900/30'	-	0,18	0,58	0,31	-	-	0,012	0,022	-
5	143,0 x 29,0	900/30'	-	0,22	0,70	0,29	-	-	0,020	0,019	-
6	148,0 x 32,0	880/30'	-	0,15	0,52	0,26	-	-	0,009	0,032	0,008
7	150,0 x 29,0	880/20'	-	0,21	0,53	0,26	-	-	0,020	0,029	-
8	150,0 x 30,0	890/20'	-	0,22	0,57	0,22	-	-	0,013	0,031	-
9	150,0 x 31,0	910/20'	-	0,21	0,66	0,30	-	-	0,010	0,025	-
10	151,0 x 21,0	910/20'	-	0,22	0,68	0,33	-	-	0,012	0,025	-

•/•

Anexa II (continuare)

	0	1	2	3	4	5	6	7	8	9	10	11
0,4 el marca 14CrMo4												
0,4 el marca 14CrMo4												
1	32,0	x 4,0	930/25°	750/2 h	0,15	0,59	0,19	0,86	0,47	0,008	0,024	wme
2	76,0	x 12,0	925/40°	655/2 h	0,13	0,56	0,20	0,89	0,44	0,010	0,016	wme
3	146,0	x 30,0	940/30°	680/2 h	0,15	0,63	0,23	0,87	0,43	0,009	0,011	-
4	147,0	x 29,0	920/30°	630/2 h	0,14	0,51	0,26	0,88	0,45	0,014	0,019	-
5	148,0	x 28,0	920/30°	630/2 h	0,13	0,59	0,29	0,85	0,47	0,011	0,011	-
6	148,0	x 30,0	920/30°	680/2 h	0,14	0,55	0,21	0,75	0,52	0,013	0,020	-
7	148,0	x 30,0	920/30°	680/2 h	0,16	0,68	0,26	0,85	0,43	0,008	0,015	-
8	148,0	x 31,0	920/30°	680/2 h	0,13	0,50	0,23	0,86	0,50	0,014	0,015	-
9	150,0	x 28,0	920/30°	680/2 h	0,16	0,55	0,25	0,87	0,49	0,015	0,021	-
10	150,0	x 29,0	940/30°	620/1 h	0,13	0,47	0,29	0,74	0,49	0,010	0,021	-

Anexa II (continuare)

Tabelul 2 Rezultatele anelizelor microstructurale și ale caracteristicilor mecanice de recopție

Maroaj probă	Analiza microstructurală			Caracteristici mecanice x)			
	Constituenți petrografici	Structura în șiruri reciū		R_{c}	R_p 02	A_5	HB
		punctaj	N/mm^2				
0		2	3	4	5	6	7
	Otel marca OLU45K						
1	Perită (80,0) + perlita (20,0)	A_3	8	490	276	33	145
2	Perită (80,0) + perlita (20,0)	$A_0 - A_1$	8	450	274	32	140
3	Perită (75,0) + perlita (25,0)	$A_0 - A_1$	6-7	530	330	31	150
4	Perită (75,0) + perlita (25,0)	$A_0 - A_1$	8-9	450	281	26	136
5	Perită (75,0) + perlita (25,0)	$A_0 - A_1$	8-9	500	312	32	143
6	Perită (70,0) + perlita (30,0)	$A_0 - A_1$	7	460	272	30	155
7	Perită (75,0) + perlita (25,0)	$A_0 - A_1$	8-9	489	350	33	141
8	Perită (75,0) + perlita (25,0)	$A_0 - A_1$	8-9	491	323	29	145
9	Perită (75,0) + perlita (25,0)	$A_0 - A_1$	7	472	306	31	140
10	Perită (70,0) + perlita (30,0)	$A_0 - A_1$	8	485	310	32	140

Annex II (continuare).

	0	1	2	3	4	5	6	7
Otel marca 14CrMo4								
1	ferită (75,5) + perlita (25,5)		$A_0 - A_1$	7	470	310	26	140
2	ferită (65,5) + perlita (35,5)		$A_0 - A_1$	7-8	510	412	32	147
3	ferită (65,5) + bainită (35,5)		$A_0 - A_1$?	460	329	31	141
4	ferită (20,5) + perlita (80,5)		$A_0 - A_1$	8-9	450	274	29	143
5	ferită (20,5) + perlita (80,5)		$A_0 - A_1$	8-9	460	262	30	142
6	ferită (65,5) + perlita (35,5)		$A_0 - A_1$	8-9	450	258	29	141
7	ferită (65,5) + bainită (35,5)		$A_0 - A_1$	7	490	312	32	149
8	ferită (65,5) + perlita (30,5) + bainită (5,5)		$A_0 - A_1$	8-9	450	202	31	148
9	ferită (65,5) + perlita (35,5)		$A_0 - A_1$	7-8	510	300	28	145
10	ferită (65,5) + perlita (30,5) + bainită (5,5)		$A_0 - A_1$	7-8	460	325	32	137

x) locația a 12 detecțiuni

Anexa II (continuare)

Tabelul 3 - Valorile minime pentru limita de curgere la cald

Marcaj	Limita de curgere ^{x)} , (N/mm ²) la temperatura, °K (°C)						
	473 (200)	523 (250)	573 (300)	623 (350)	673 (400)	723 (450)	773 (500)

Oțel marca OLT45K

1	213	213	193	202	190	174	-
2	215	215	200	194	160	174	-
3	284	247	245	199	165	168	-
4	232	196	183	167	171	166	-
5	255	245	202	203	180	183	-
6	267	227	199	175	170	158	-
7	259	281	250	201	188	178	-
8	261	257	254	194	188	175	-
9	245	226	183	174	170	159	-
10	251	221	183	173	172	156	-

Oțel marca 14CrNi4

1	249	247	247	224	191	190	186
2	280	253	269	242	203	187	188
3	295	276	257	254	235	171	172
4	257	237	208	208	169	174	171
5	232	228	237	221	196	203	201
6	253	253	237	203	183	169	178
7	295	304	240	250	224	211	198
8	267	266	245	221	178	196	192
9	245	275	281	239	220	201	208
10	304	275	282	254	187	190	186

x) Valori minime din 12 determinări

Annexa II (continuare)

Tabelul 4 Rezultatele încercărilor de rupere prin fluaj

σ N/mm ²	T °K (°C)	t h	σ N/mm ²	T °K (°C)	t h	σ N/mm ²	T °K (°C)	t h
0	1	2	3	4	5	6	7	8
ULT45X								
39,2	833 (500)	1935	78,4	793 (520)	540	117,6	713 (440)	11500
		2681		485				13706
		2973		498				15924
		3005		507				19320
		3848		3718				29356
		4094		833 (560)	70		723 (450)	6732
	863 (590)	260		86				7396
		321		110				9120
		373		124				10687 ^x)
		480		152				11500
		590				733 (460)	2372	
		1440		743 (470)	9252			3705
		1680		9257 ^x)				4720
	873 (600)	233		752 (480)	1288			5191
		280		1317				6014
		408		2790			723 (480)	247
		480		2795				417
		611		2806				530
		636		3081				675
	853 (620)	90		3240				714
		140		4826				1541
		184		5127				1584
		238		7362				1752
		248						3074
49,0	793 (520)	4504	773 (500)	520		773 (500)	104	
		7191		533				155
		7220		635				240
		8931		648				490
		10622		912				528
		11175		1731			673 (400)	1370 ^x)
		12450		1975				19240 ^x)
	813 (540)	1016		2700			693 (425)	2020
		2184	793 (520)	129				6470 ^x)
		3113		152				8573 ^x)
		6240		200				8622
		7096		235				9605 ^x)
78,4	755 (480)	5370		246				11510 ^x)
		7752		504				12854 ^x)
		8980		520				10515 ^x)
		10272	813 (540)	42			713 (440)	1032
		11135		77				1243
		14473		85				1330
	773 (500)	1912		97				1450
		2959		103				1775
		4350 ^x)		111				1739
		5732 ^x)				7532		1079
		9535	117,6	713 (440)	9312			2014

Anexa II (continuare)

0	1	2	3	4	5	6	7	8	
147	713 (440)	2760 3125 4280 5139 9092 <u>13450</u> <u>723</u> (450)	176,4 (420)	693 2720 2780 3070 3420 4156 4693 9218 <u>196,0</u> (400)	1300 2700 3120 3194 4392 <u>733</u> (460)	225,4 1420 15123x) <u>22519</u> 4025 4693 6790 7159 9762 10422 11210 <u>703</u> (450)	683 (420)	5973 5221 160 175 200 208 220 250 271 439 505 <u>570</u> 245,0 <u>653</u> (380)	674 3120 4772 5470 6900 6937 7012 8016 <u>9110</u> 673 (400)
	511 625 860 957 1305 1400 <u>743</u> (470)	210 511 625 860 957 1305 1400 110 209 253 282 286 314 315 432 441 455 475 <u>1130</u> <u>753</u> (480)	4693 6790 7159 9762 10422 11210 441 648 790 1526 2040 2370 2700 2860 723 (450)	703 441 648 790 1526 2040 2370 2700 2860 723 111 116 165 209 455 528 <u>753</u> (460)	441 648 790 1526 2040 2370 2700 2860 723 111 116 165 209 455 528 92 85 124 141 173 180 200 10904 11415x) 12992 683 (410)	693 (420)	62 108 120 159 167 328 <u>693</u> (420)	152 465 550 562 1172 1345 1405 <u>693</u> (420)	
	28 45 53 59 62 65 92 <u>793</u> (520)	20 45 53 59 62 65 92 9 10 11 12 13 14 20 23 28	1300 2700 3120 3194 4392 <u>703</u> (450)	225,4 1420 15123x) <u>22519</u> 4025 4693 6790 7159 9762 10422 11210 441 648 790 1526 2040 2370 2700 2860 723 111 116 165 209 455 528 92 85 124 141 173 180 200 10904 11415x) 12992 683 (410)	225,4 1420 15123x) <u>22519</u> 4025 4693 6790 7159 9762 10422 11210 441 648 790 1526 2040 2370 2700 2860 723 111 116 165 209 455 528 92 85 124 141 173 180 200 10904 11415x) 12992 683 (410)	698 (425)	33 35 78 <u>165</u>	33 35 78 165	

Anexa II (continuare)

0	1	2	3	4	5	6	7	8	
Oțel marca 14CrNi4									
49,0	853 (580)	15087 16207 ^{x)} 21683 ^{x)} <u>873</u> (600)	98,0 <u>2713</u> 3172 4848 5762 6549 10567 11660 <u>893</u> (620)	823 (550) <u>16283</u> <u>853</u> (560) <u>2149</u> 2590 3721 3780 4287 5022 5449 6993 8591 8654 <u>14450</u> 594 824 901 1062 1162 1392 1464 1650 3214 <u>873</u> (640)	8721 ^{x)} 10630 13076 ^{x)} 14937 ^{x)} 16283 1849 2149 2590 3721 3780 4287 5022 5449 6993 8591 8654 14450 594 824 901 1062 1162 1392 1464 1650 3214 <u>873</u> (600)	147,0 <u>823</u> (550) <u>108</u> 111 152 226 <u>893</u> <u>147,0</u> <u>793</u> <u>147,0</u> <u>10291</u> 10471 11159 ^{x)} 14928 ^{x)} 16579 ^{x)} 19041 ^{x)} <u>803</u> (530) <u>3730</u> 4260 4544 4614 7340 ^{x)} 8712 11434 ^{x)} <u>12622</u> ./.	813 (540)	1356 1370 1648 1716 2516 2556 2699 4319 4782 5500 7450 8442 823 642 739 823 832 971 1230 1320 2590 <u>3222</u> 5000 400 401 890 1256 1302 1492 <u>853</u> (580)	1356 1370 1648 1716 2516 2556 2699 4319 4782 5500 7450 8442 823 642 739 823 832 971 1230 1320 2590 <u>3222</u> 5000 400 401 890 1256 1302 1492 <u>853</u> (580)
78,4	853 (580)	1250 1302 2031 2749 3234 5496 <u>873</u> (600)	284 340 348 376 531 <u>893</u> 108 111 152 226 <u>793</u> <u>147,0</u> <u>10291</u> 10471 11159 ^{x)} 14928 ^{x)} 16579 ^{x)} 19041 ^{x)} <u>803</u> (530) <u>3730</u> 4260 4544 4614 7340 ^{x)} 8712 11434 ^{x)} <u>12622</u> ./.	8721 ^{x)} 10630 13076 ^{x)} 14937 ^{x)} 16283 1849 2149 2590 3721 3780 4287 5022 5449 6993 8591 8654 14450 594 824 901 1062 1162 1392 1464 1650 3214 <u>873</u> (620)	196,0 <u>773</u> <u>147,0</u> <u>10291</u> 10471 11159 ^{x)} 14928 ^{x)} 16579 ^{x)} 19041 ^{x)} <u>803</u> (530) <u>3730</u> 4260 4544 4614 7340 ^{x)} 8712 11434 ^{x)} <u>12622</u> ./.	55 137 142 159 238 273 385 423 648 <u>5002</u> 8554 ^{x)} 10031 10218 13085 18532 <u>783</u> (510) 2430 3721 3813 5170 5430 8401 8932 ^{x)} 9611 ^{x)} <u>14766</u> ^{x)}			
93,0	823 (550)	7501 8204 10500 11213 ^{x)} 12530 ^{x)} 13657 15940 ^{x)} 19887 ^{x)} 7431 ^{x)} 8553 ^{x)}	823 (530) <u>3730</u> 4260 4544 4614 7340 ^{x)} 8712 11434 ^{x)} <u>12622</u> ./.	8721 ^{x)} 10630 13076 ^{x)} 14937 ^{x)} 16283 1849 2149 2590 3721 3780 4287 5022 5449 6993 8591 8654 14450 594 824 901 1062 1162 1392 1464 1650 3214 <u>873</u> (550) <u>3730</u> 4260 4544 4614 7340 ^{x)} 8712 11434 ^{x)} <u>12622</u> ./.	196,0 <u>773</u> <u>147,0</u> <u>10291</u> 10471 11159 ^{x)} 14928 ^{x)} 16579 ^{x)} 19041 ^{x)} <u>803</u> (530) <u>3730</u> 4260 4544 4614 7340 ^{x)} 8712 11434 ^{x)} <u>12622</u> ./.	55 137 142 159 238 273 385 423 648 <u>5002</u> 8554 ^{x)} 10031 10218 13085 18532 <u>783</u> (510) 2430 3721 3813 5170 5430 8401 8932 ^{x)} 9611 ^{x)} <u>14766</u> ^{x)}			

Anexa II (continuare)

0	1	2	3	4	5	6	7	8
196,0	793 (520)	918	245,0	763 (490)	2850	245,0	813 (540)	39
	1485				5700		106	
	1668				5455		111	
	1970				6309		201	
	2134				7453		226	
	2382				8572		258	
	2450				10500		284	
	2720				13131		314	
	3215							1534
	5613			773 (500)	1221	294,0	755 (480)	1943
	7450				1324			2751
					2303			4335
					2000 ^{x)}			5900
					3452			8942
					5773			9866
					6897 ^{x)}			11110 ^{x)}
					8555 ^{x)}			13781 ^{x)}
								501
								600
								1058
								1034
								1369
								2040
								2772
								4531
								793
								95
								(520)
								101
								132
								137
								325
								371
								421
								460
								498
								17318
								755 (460)
								2572 ^{x)}
								(500) 5713

^{x)}Ore încercare la 30 decembrie 1978

ncsa III

Tabelul 1 Valorile pentru rezistență tehnică de durată calculate prin metoda clasică

Tempera- tură cl o. (°C)	Rezistență tehnică de durată, N/mm ²	10.000 h			100.000 h			200.000 h		
		TMS Valori calcu- ren- 1977 late ţă in		M & Valori calcu- ren- 1977 late ţă in		DIN Valori calcu- ren- 1977 late ţă in		Valori calcu- ren- late ţă in		
		10.000 h	100.000 h	200.000 h	10.000 h	100.000 h	200.000 h	10.000 h	100.000 h	200.000 h
65	663(390) 210	213	+1,43	147	159	+6,16	129	140	+6,53	
	673(400) 191	194	+1,57	132	139	+5,30	115	122	+6,03	
	683(410) 173	180	+4,05	117	121	+3,42	101	105	+3,96	
	693(420) 153	154	-0,65	102	106	+3,92	89	88	-1,12	
	703(430) 139	142	+2,16	91	90	-0,10	78	74	+5,13	
	713(440) 126	130	+3,17	79	76	-5,00	67	62	-5,96	
	723(450) 112	114	+1,79	63	65	-4,41	57	52	-6,92	
	733(460) 99	100	+1,01	58	56	-5,45	48	44	-5,25	
	743(470) 86	87	+1,16	49	45	-6,16	40	39	-6,50	
	753(480) 74	75	+1,35	42	39	-7,14	33	34	+5,03	
	763(490) 63	67	+0,35	35	34	-2,06	-	30	-	
	773(500) 54	59	+9,26	29	32	+6,90	-	27	-	
64	723(450) 362	370	+2,21	272	266	-2,21	260	255	-1,92	
	733(460) 333	328	-1,50	242	252	-1,12	226	202	-6,94	
	743(470) 309	289	-6,47	206	199	-3,40	195	176	-9,02	
	753(480) 275	262	-4,73	177	169	-4,52	167	150	-7,00	
	763(490) 243	231	-4,94	150	141	-6,00	139	125	-10,00	
	773(500) 206	202	-1,94	129	117	-9,70	115	104	-9,62	
	783(510) 181	174	-3,87	109	97	-10,01	96	87	-9,36	
	793(520) 155	145	-6,45	94	85	-9,50	76	69	-9,20	
	803(530) 131	137	+4,58	77	70	-9,25	62	56	-9,05	
	813(540) 114	108	-5,26	60	55	-8,33	50	45	-9,07	
	823(550) 93	91	-7,14	49	45	-8,35	39	37	+6,78	
	833(560) 85	77	-9,41	40	39	-8,50	32	30	-6,25	
	843(570) 72	65	-9,75	33	32	-3,03	26	25	-3,65	

Anexa III

**Tabelul 2 Valorile parametrilor repartitiei
duratelor de rupere prin fluaj**

Marca de oțel	Tensiunea de încercare N/mm ²	Temperatura de încercare °K (°C)	Parametrii repartitiei reibull		
			β	η, h	̄t h
0	1	2	3	4	5
OLT45K	39,2	833(560)	1,8	3365	2982
		833(590)	1,6	843	753
		873(600)	2,4	495	439
		893(620)	2,6	201	178
	49,0	793(520)	1,8	9990	8853
		813(540)	2,0	4434	3929
	78,4	753(480)	1,8	10740	9518
		773(500)	2,0	5572	493
		793(520)	2,3	1189	1055
		833(560)	2,4	119	106
	98,0	743(470)	1,8	9451	8375
		753(480)	1,8	5622	3210
		773(500)	2,2	1346	1193
		793(520)	2,0	323	286
		813(540)	2,8	93	83
	117,6	713(440)	2,2	17338	1536
		723(450)	2,0	9705	8611
		733(460)	2,6	4909	4356
		753(480)	2,6	1330	1180
		773(500)	2,8	341	302
		673(400)	1,8	18621	16502
147,0	693(420)	693(425)	2,0	11455	10151
		713(440)	2,4	7178	6369
		723(450)	2,4	2056	1824
		733(460)	2,4	957	849
		743(470)	1,8	447	396
		753(480)	2,6	255	226
		773(500)	3,4	64	57
		793(520)	2,6	17	15
		693(420)	2,0	4493	3986
	196,0	673(400)	2,6	18636	16713
		683(410)	2,4	8630	7657
		703(430)	2,8	101	1687
		723(450)	2,4	353	312
		733(460)	3,2	149	134
245,0	653(580)	653(580)	2,4	6688	5934
		673(400)	3,8	923	828
		693(420)	3,0	177	159
		693(425)	3,6	88	79

./.

Anexa III (continuare)

0	1	2	3	4	5
14CrMo4	49,0	853(580) 873(600) 893(620) 913(640)	2,2 2,2 2,4 2,8	18578 6026 1959 533	16464 5340 1738 473
	78,4	853(580) 873(600)	2,4 1,8	4093 1239	3632 1098
	98,0	823(550) 833(560) 853(580) 873(600) 893(620)	2,4 2,4 3,6 2,0 2,6	13274 6486 1928 499 167	11778 5755 1730 442 148
	147,0	793(520) 803(530) 813(540) 923(550) 833(560) 853(580)	2,8 2,0 2,6 2,4 2,6 3,4	14521 7482 3741 2094 830 256	12884 6631 3519 1858 736 230
	196,0	773(500) 783(510) 793(520) 813(540) 823(550) 833(560)	3,0 2,8 2,8 3,0 3,2 4,2	12474 7278 3334 685 329 139	11195 6458 2958 615 295 128
	245,0	763(490) 773(500) 783(510) 793(520) 813(540)	3,0 2,8 3,6 4,0 3,6	8292 4467 1738 734 164	7580 3964 1560 674 147
	294,0	753(480) 773(500) 793(520)	3,4 3,4 3,6	6501 1219 238	5835 1094 214

Anexa III

Tabelul 3 Valorile pentru rezistență tehnică de durată calculate prin metoda propusă de autor

arca de țol	Tempera- tură $^{\circ}\text{K} (^{\circ}\text{C})$	Rezistență tehnică de durată, N/mm^2									
		10.000 h			100.000 h			200.000 h			
		STAS 8184-calcu- ren- 1977	Valori late în %	Dife- ren- ță în %	STAS 8184-calcu- ren- 1977	Valori late în %	Dife- ren- ță în %	DIN 17175	Valori calcu- late	Dife- ren- ță în %	
P45K	663(300)	210	210	$\pm 0,00$	147	155	+5,44	129	132	+2,20	
	673(400)	191	188	-1,57	132	137	+3,79	115	119	+3,50	
	683(410)	173	171	-1,16	117	121	+3,22	101	105	+3,94	
	693(420)	153	155	+1,31	102	105	+2,25	89	90	-1,12	
	703(430)	139	140	+0,72	91	93	+2,20	78	76	-2,56	
	713(440)	126	125	-0,79	79	76	-3,80	67	65	-2,99	
	723(450)	112	114	+1,79	68	70	+2,94	57	54	-5,26	
	733(460)	99	100	+1,01	58	57	-1,72	48	46	-4,17	
	743(470)	86	87	+1,16	49	49	$\pm 0,00$	40	41	+2,50	
	753(480)	74	76	+2,72	42	43	+2,38	33	34	+3,03	
	763(490)	63	67	+6,35	35	36	+2,86	-	31	-	
	773(500)	54	58	+7,41	29	31	+6,90	-	28	-	
CrMo4	723(450)	362	368	+1,66	272	278	+2,21	260	251	-3,46	
	733(460)	333	339	+1,80	242	243	+0,41	226	214	-5,31	
	743(470)	309	295	-4,53	206	211	+2,43	195	181	-6,90	
	753(480)	275	270	-1,82	177	178	-0,56	167	156	-6,54	
	763(490)	243	241	-0,82	150	141	-6,00	139	131	-5,92	
	773(500)	206	205	-0,49	129	121	-6,20	115	107	-6,98	
	783(510)	181	175	-3,31	109	102	-6,42	96	89	-7,29	
	793(520)	155	155	$\pm 0,00$	94	87	-7,30	76	71	-6,62	
	803(530)	131	136	+3,82	77	72	-6,40	62	59	-4,83	
	813(540)	114	112	-1,75	60	57	-5,00	50	48	-5,92	
	823(550)	98	91	-7,14	49	48	-2,00	39	38	-2,56	
	833(560)	85	80	-5,88	40	40	$\pm 0,00$	32	31	-3,12	
	843(570)	72	68	-5,56	33	33	$\pm 0,00$	26	26	$\pm 0,00$	

Anexa III

Tabelul 4

Tensiunea minimă de rupere la fluaj
după diferite durate de utilizare

Marca de oțel	Temperatura °K (°C)	Tensiunea minimă de rupere la fluaj N/mm ²		
		10.000 h	100.000 h	200.000 h
0LT45K	663 (390)	172	121	102
	673 (400)	154	107	93
	683 (410)	140	96	85
	693 (420)	127	83	70
	703 (430)	114	71	59
	713 (440)	102	60	50
	723 (450)	92	53	41
	733 (460)	80	43	35
	743 (470)	68	37	32
	753 (480)	59	32	27
14CrMo4	763 (490)	51	27	24
	773 (500)	44	24	21
	723 (450)	292	228	192
	733 (460)	264	195	170
	743 (470)	226	166	138
	753 (480)	214	138	113
	763 (490)	190	110	95
	773 (500)	162	94	77
	783 (510)	137	79	63
	793 (520)	122	65	52

Anexa IV

Tabelul 1 Duratele de rupere prin fluaj a probelor din sistemul de conducte a agregatului termoenergetic de 100 MW și valorile parametrului de extrapolare Larson-Miller

N/mm ²	T, °K (°C)	t h	P x 10 ⁻³
			1
49,0	953 (680)	645 833	21,737512 21,843384
	933 (660)	1328 1532 1677 1770 1935 1991	21,573951 21,631597 21,668493 21,690355 21,725424 21,728037
98,0	913 (640)	68 101 253 295	19,933012 20,089924 20,454053 20,516295
	893 (620)	215 253 309 373 425 468 744 770	19,942877 20,005991 20,083543 20,156542 20,207155 20,244537 20,424312 20,437642
	873 (600)	457 827 1105 1367 1460 1797 2195	19,782112 20,006993 20,116857 20,197512 20,222481 20,301274 20,377076
	853 (580)	1557 1632 1973 3656	19,778234 19,800454 19,870757 20,100256
147,0	853 (580)	44 54 59 70 78 82 90	18,461863 18,537736 18,570544 18,633876 18,672251 18,622487 18,726971

Anexa IV (continuare)

0	1	2	3
147,0	833 (560)	147 153 160 165 173 180 231 243 400 457	18,465382 18,479857 18,496033 18,507166 18,524301 18,538645 18,628897 18,647219 18,827512 18,875717
	813 (540)	477 500 830 1076 1177 1256 1368 1455	18,457645 18,454266 18,653863 18,724863 18,756412 18,777791 18,809645 18,831404
	795 (520)	1394 1452 2989 3741	18,353402 18,357447 18,616094 18,693385
196,0	813 (540)	12 26 27	17,157573 17,410375 17,423694
	795 (520)	30 40 43 45 46 88 131 145	17,034151 17,130433 17,155347 17,170995 17,178572 17,398426 17,538994 17,573963
	775 (500)	201 221 223 226 257 265 295 319	17,240577 17,272212 17,275243 17,279735 17,322834 17,333173 17,370312 17,395434
	753 (480)	526 591 648 668 715 928 1006 1016	17,116147 17,147001 17,177123 17,187062 17,209295 17,294574 17,320963 17,323874

Anexa IV (continuare)

Tabelul 2 Valorile parametrilor repartitiei Weibull si ale parametrului Manson-Haferd pentru duratele de rupere prin flujul ale probelor preluate din sistemul de conducte a agregatului termoenergetic de 100 MW

N/mm ²	T °K (°C)	β	η, h	P × 10 ⁻¹
49,0	953 (680)	3,8	820	-0,017202
	933 (660)	3,2	1700	-0,017374
98,0	913 (640)	2,5	190	-0,019843
	893 (620)	2,5	380	-0,020042
	873 (600)	2,7	1500	-0,019753
	853 (580)	2,2	3100	-0,020113
147,0	853 (580)	2,8	92	-0,023175
	833 (560)	2,8	225	-0,023333
	813 (540)	2,4	1200	-0,022795
	793 (520)	2,0	1650	-0,023110
196,0	813 (540)	3,9	19	-0,027374
	793 (520)	3,6	78	-0,027107
	773 (500)	2,8	230	-0,027308
	753 (480)	1,6	850	-0,027245